

บทที่ 4 ผลการทดลองและวิจารณ์ผลการทดลอง

4.1 ผลการสังเคราะห์กราฟท์โพลิเมอร์

การทดลองนี้ได้ศึกษาปัจจัยต่างๆ ที่เกี่ยวข้องกับการสังเคราะห์กราฟท์โพลิเมอร์ระหว่างแป้งมันสำปะหลัง และน้ำยางธรรมชาติได้แก่ ชนิดของแป้งมันสำปะหลัง คือ แป้งดิน (native starch) แป้งออกซิไซด์ (Gelsize-75) และ แป้งแอมโมเฟอเริก (Geltron-245) ปริมาณของแป้งมันสำปะหลังต่อน้ำหนักแห้งยางธรรมชาติตั้งแต่ 70/30, 80/20 และ 90/10 ปริมาณสารรีเวิร์ปปฏิกิริยา (PPS) ตั้งแต่ 0 ไปจนถึง 20 pph (คิดเทียบกับน้ำหนักรวมของโพลิเมอร์ทั้งสองชนิด) อุณหภูมิในการสังเคราะห์ตั้งแต่ 40-60°C และเวลา 1-5 h เพื่อหาสภาวะที่เหมาะสมในการสังเคราะห์กราฟท์โพลิเมอร์

4.1.1 ผลการสังเคราะห์กราฟท์โพลิเมอร์ของแป้งดิน

1. อัตราส่วนของแป้งดินต่อยางธรรมชาติเท่ากับ 70 ต่อ 30

ใช้แป้งดินจำนวน 7 g ผสมกับน้ำกลั่น 50 ml น้ำยางธรรมชาติ 5 g ผสมกับน้ำกลั่น 50 ml และ PPS 10 pph ทำการทดลองที่อุณหภูมิ 40–70°C เป็นเวลา 2–5 h ลักษณะของโพลิเมอร์ที่ได้ผสมอธิบายในตารางที่ 4.1 กรณีที่ใช้เมทานอลปริมาณน้อยในการตอกตะกอน (800 ml) ได้ตะกอนของโพลิเมอร์ผสมเป็นก้อนขนาดใหญ่ มีแป้งมันสำปะหลัง และยางธรรมชาติเกาะรวมกัน ของเหลวใส่มีสีเหลืองเล็กน้อย ตะกอนมีสีเข้มมากขึ้นเมื่อใช้อุณหภูมิและเวลาในการสังเคราะห์เพิ่มขึ้น จากนั้นรีดให้เป็นแผ่นบางและนำไปอบ แต่เมื่อทดลองใช้เมทานอลปริมาณมากในการตอกตะกอน (1500 ml) จะได้ตะกอนเป็นผงเล็กๆ ในระหว่างการตอกตะกอนจะมีการเกาะรวมกันของตะกอน มีเพียงบางส่วนที่ไม่เกาะกัน (ประมาณ 30%) และหลังจากการกรองตะกอนมีลักษณะรวมกัน ซึ่งเป็นผลมาจากการลักษณะที่เหนียวติด (tacky) ของยางธรรมชาติ เพราะการกรองจะใช้เครื่องกรองแบบลดความดันทำให้มีแรงกระทำกับตะกอนสูง และสามารถนำตะกอนที่ได้มาบดให้ละเอียดได้ง่ายกว่าการตอกตะกอนด้วยเมทานอลปริมาณน้อย หลังจากจะเกิดการแยกเฟสระหว่างยางธรรมชาติและแป้งที่สามารถสังเกตได้อย่างชัดเจน เพราะยางธรรมชาติมีลักษณะเป็นสีเหลือง การแยกเฟสของยางธรรมชาติดังกล่าวจะเกิดขึ้นกับทุกสภาวะการทดลอง เมื่อพิจารณาเวลาและอุณหภูมิในการสังเคราะห์ พบว่า การสังเคราะห์ที่ใช้เวลา 3-5 h และอุณหภูมิ 70°C ทำให้สีของตะกอนที่ได้คล้ำมากกว่าการสังเคราะห์ที่เวลาและอุณหภูมิในการสังเคราะห์ต่ำกว่า ดังนั้นในการทดลองต่อไปจะเลือกการใช้เมทานอลเท่ากับ 1500 ml เพราะตะกอนไม่เกาะกันเป็นก้อนและสามารถบดตะกอนให้ละเอียดได้ง่ายกว่าการตอกตะกอนด้วยเมทานอลปริมาณน้อย

ตารางที่ 4.1 ลักษณะของโพลิเมอร์ผสมที่ได้จากการสังเคราะห์ใช้อัตราส่วนระหว่างแป้งดินต่อน้ำยางธรรมชาติเท่ากับ 70/30 สังเคราะห์ที่อุณหภูมิและเวลาแตกต่างกัน และปริมาณ PPS เท่ากับ 10 pph

Reaction temperature (°C)	Reaction time (h)	Appearance
40	2*	หลังหยุดปฏิกิริยาได้ของเหลวสีขาวขุ่น ไม่มีแป้งและยางเกาะติดแห้งแม่เหล็ก ตอกตะกอนได้ของเหลวสีขาวขุ่น และเกิดตะกอนก้อนเล็กๆ สีขาว ตะกอนบางส่วนเกาะรวมกัน และบางส่วน (ประมาณ 30%) กระจายตัว ของเหลวขุ่นเล็กน้อย หลังกรองตะกอนรวมกัน เป็นก้อนและของเหลวใส หลังอบได้ของแข็งสีขาว และการแยกเฟสของยางเกิดขึ้นน้อยมาก

	2*	หลังหยุดปฏิกริยาได้ของเหลวสีขาวขุ่น มีแป้งและยางເກະຕິດແທ່ງແມ່ເຫັນເລີກນ້ອຍ (ประมาณ 2%) ຕາກຕະກອນໄດ້ຂອງເຫຼວສີຂາວຂຸ່ນ ແລະເກີດເປັນຕະກອນເລີກໆ ຕະກອນເກະກັນເປັນກັນ ບາງສ່ວນ (ประมาณ 30%) ຍັງຄອງເປັນຜົງເລີກໆ ກະຈາຍດ້ວຍຮັມກັນ ແລະສ່ວນຂອງເຫຼວໃສ ລັງກອງຕະກອນທັງໝົດຮັມເປັນກັນເດືອຍກັນ ແລະຂອງເຫຼວທີ່ໄດ້ໃສ ລັງອນໄດ້ຕະກອນສີຂາວ ແລະກາຍແກີເພື່ອຍາງເກີດຂຶ້ນນ້ອຍມາກ
50	2 ແລະ 3	หลังหยุดปฏิกริยาໄດ້ຂອງເຫຼວສີຂາວຂຸ່ນ ໄນມີແປ້ງແລະຍາງເກະຕິດແທ່ງແມ່ເຫັນ ເນື່ອ ຕາກຕະກອນເກີດຕະກອນເລີກໆ ຈາກນັ້ນຕະກອນຈັບດ້ວຍກັນເປັນກັນໃໝ່ແລະຂອງເຫຼວໃສ ນໍາກັນດັ່ງກ່າວໄປຮົດເປັນແຜ່ນບາງແລະລັງດ້ວຍນ້ຳ ລັງອນໄດ້ເປັນແຜ່ນສີຂາວມີຄວາມເປົາະ ມີກາຍແກີເພື່ອຍາງປະມານ 4%
	4 ແລະ 5	หลังหยຸດປົກກີຣີຢາໄດ້ຂອງເຫຼວສີຂາວຂຸ່ນ ໄນມີແປ້ງແລະຍາງເກະຕິດແທ່ງແມ່ເຫັນ ຖາກຕະກອນໄດ້ຂອງເຫຼວສີຂາວຂຸ່ນເກີດຕະກອນເລີກໆ ແລ້ວຕະກອນຈັບດ້ວຍເປັນກັນໃໝ່ແລະຂອງເຫຼວທີ່ໄດ້ໃສ ນໍາກັນດັ່ງກ່າວໄປຮົດເປັນແຜ່ນບາງ ລັງອນໄດ້ເປັນແຜ່ນສີຄຽມມີຄວາມເປົາະ ແລະສັງເກົດເຫັນເປັນຍາງບາງສ່ວນ ກາຍແກີເພື່ອຍາງເກີດຂຶ້ນປະມານ 7%
	1 ແລະ 2	หลังหยຸດປົກກີຣີຢາໄດ້ຂອງເຫຼວສີຂາວຂຸ່ນ ໄນມີແປ້ງແລະຍາງເກະຕິດແທ່ງແມ່ເຫັນ ຖາກຕະກອນໄດ້ຂອງເຫຼວສີຂາວຂຸ່ນ ເກີດຕະກອນເລີກໆແລ້ວຈັບດ້ວຍເປັນກັນໃໝ່ແລະຂອງເຫຼວທີ່ໄດ້ໃສ ນໍາກັນດັ່ງກ່າວໄປຮົດເປັນແຜ່ນບາງແລະລັງດ້ວຍນ້ຳ ລັງອນໄດ້ເປັນແຜ່ນສີຂາວມີຄວາມເປົາະ ມີກາຍແກີເພື່ອຍາງໄໝເຖິງ 5%
60	2*	หลังหยຸດປົກກີຣີຢາໄດ້ຂອງເຫຼວສີຂາວຂຸ່ນແລະມີແປ້ງແລະຍາງເກະຕິດບົນແທ່ງແມ່ເຫັນ ເລີກນ້ອຍ (ປະມານ 3%) ຕາກຕະກອນໄດ້ຂອງເຫຼວສີຂາວຂຸ່ນ ຕະກອນສ່ວນໃໝ່ເກະກັນເປັນກັນ ມີບາງສ່ວນ (ປະມານ 30%) ທີ່ຍັງເປັນຜົງເລີກໆ ກະຈາຍແລະຂອງເຫຼວໃສ ລັງກອງຕະກອນຮັມກັນເປັນກັນເດືອຍແລະຂອງເຫຼວໃສ ລັງອນໄດ້ຕະກອນເປັນສີຂາວ ແລະເຫັນກາຍແກີເພື່ອຍາງນ້ອຍມາກ
	3	ຫຼັງການເຕີມ PPS ລົງໄປປະມານ 2.30 h ພົບການຈັບດ້ວຍອັນແປ້ງແລະຍາງເກະຕິດບົນແທ່ງແມ່ເຫັນທີ່ແທ່ງແມ່ເຫັນ ປລ່ອຍໃຫ້ປົກກີຣີຢາດໍາເນີນໄປຄຽນ 3 h ແປ້ງແລະຍາງເກະຕິດທີ່ແທ່ງແມ່ເຫັນແລະກັນດັ່ງກ່າວແຍກກັນອູ້ງກັນນໍາໄສສີເໜືອງອ່ອນ ລັງຕາກຕະກອນໄດ້ຂອງເຫຼວສີຂາວຂຸ່ນແລະຕະກອນສີເໜືອງອ່ອນຕຽບສ່ວນລ່າງຂອງປຶກເກອຮ໌ ລັງອນໄດ້ຂອງແໜ້ງເປົາະສີເໜືອງນໍາສ່ວນທີ່ເປັນກັນເກະຕິດບົນແທ່ງແມ່ເຫັນ ເປົດໄຫ້ເປັນແຜ່ນແລະລັງດ້ວຍນ້ຳ ລັງອນແກີເພື່ອຍາງບາງສ່ວນ ກາຍແກີເພື່ອຍາງເກີດຂຶ້ນປະມານ 7%
	2	ຫຼັງເຕີມ PPS ປະມານ 1 h ຂອງຜສມຈັບດ້ວຍເປັນກັນກາຍໃນխາດປົກກີຣີຢາ ເມື່ອປົກກີຣີຢາ ດໍາເນີນໄປຄຽນ 2 h ແກ່ຮະວ່າງກັນສ່ວນທີ່ຈັບດ້ວຍແລະຂອງເຫຼວໃສສີເໜືອງອ່ອນ ຕາກຕະກອນໄດ້ເປັນສີຂາວຂຸ່ນແລະຕະກອນສີເໜືອງອ່ອນຕຽບສ່ວນລ່າງຂອງປຶກເກອຮ໌ ລັງອນຈະໄດ້ຂອງແໜ້ງສີເໜືອງແລະເປົາະສ່ວນທີ່ເປັນກັນຮັດເປັນແຜ່ນແລະລັງດ້ວຍນ້ຳ ລັງອນໄດ້ຕະກອນສີຄຽມ ແລະເຫັນກາຍແກີເພື່ອຍາງປະມານ 5%

*ຕາກຕະກອນດ້ວຍເມການອລ 1500 ml

2. ອັດຮາສ່ວນຂອງແປ້ງດົບຕ່ອຍງຮຽມຈາດເທິກ່ານ 80/20

ແປ້ງກາຍກົດລອງອອກເປັນສອງສ່ວນ ໃນສ່ວນທີ່ໜີໃຊ້ແປ້ງດົບຈຳນວນ 8 g ຜສມກັບນ້ັກລັ້ນ 50 ml ນ້າຍງຮຽມຈາດບັນຍາມານ 3.33 g ຜສມກັບນ້ັກລັ້ນ 50 ml ແລະປະປົມານ PPS ຕັ້ງແຕ່ 1, 2, 5, 10, 15 ແລະ 20 pph ທຳກາຍກົດລອງທີ່

อุณหภูมิระหว่าง 40–70°C เป็นเวลา 1–5 h ลักษณะของพอลิเมอร์สมที่ได้อธิบายในตารางที่ 4.2 พอลิเมอร์สมมีลักษณะเด่นเดียวกันกับที่สัดส่วนแป้งมันสำปะหลังต่อยางธรรมชาติ 70 ต่อ 30 เมื่อพิจารณาปริมาณของ PPS ที่แตกต่างกัน พบว่าที่ PPS เท่ากับ 1-5 pph หลังตกตะกอนจะได้ข่องเหลวขุ่นกว่าที่ 10-20 pph แต่ตะกอนหลังอบแห้งไม่มีความแตกต่างกัน ยังคงสังเกตเห็นการแยกเฟสของยางธรรมชาติ แต่น้อยกว่าที่อัตราส่วน 70 ต่อ 30 เนื่องมาจากปริมาณของยางธรรมชาติที่น้อยกว่าจึงทำให้เกิดการจับตัวน้อยกว่า

ส่วนที่สองเป็นการทดลองที่เพิ่มความเข้มข้นของพอลิเมอร์มากขึ้น โดยเพิ่มปริมาณของสารตั้งต้นเป็น 8 เท่า ของการทดลองส่วนที่หนึ่ง และใช้ปริมาณ PPS ลดลงเป็น 0.4, 0.5 และ 0.6 pph แป้งมันสำปะหลังที่ใช้เท่ากับ 64 g ผสมกับน้ำกลั่น 400 ml น้ำยางธรรมชาติ 26.4 g ผสมกับน้ำกลั่น 400 ml ทดลองที่อุณหภูมิ 50°C เป็นเวลา 1, 1.30, 1.45 และ 2 h ลักษณะของพอลิเมอร์สมที่ได้อธิบายในตารางที่ 4.3 ลักษณะทั่วไปของพอลิเมอร์สมมีความเหมือนกันทุกสภาวะการทดลอง สังเกตเห็นการแยกเฟสของยางธรรมชาติซึ่งเดียวกัน แต่มีความมากน้อยแตกต่างกันไปตามสภาวะการทดลอง

ตารางที่ 4.2 ลักษณะของพอลิเมอร์สมที่ได้จากการสังเคราะห์ใช้อัตราส่วนระหว่างแป้งดินต่อน้ำยางธรรมชาติ เท่ากับ 80/20 สังเคราะห์ที่อุณหภูมิ เวลา และปริมาณ PPS แตกต่างกัน

Reaction temperature (°C)	Reaction time (h)	PPS content (pph)	Appearance
40	2	10	หลังหยุดปฏิกิริยาได้ข่องเหลวสีขาวขุ่น ไม่มีแป้งและยางเกาะติดแห่งแม่เหล็ก หลังตกตะกอนได้ข่องเหลวสีขาวขุ่น เกิดตะกอนเล็กๆ กระจายตัว และบางส่วนรวมตัวกันเป็นก้อน และกระจายตัวดี (ประมาณ 30%) ส่วนที่เป็นข่องเหลวขุ่นเล็กน้อย หลังกรองจะได้ข่องเหลวใส ส่วนตะกอนเป็นของแข็งสีขาวเกาะกันเป็นก้อน หลังอบ去ได้ข่องแข็งสีขาว และมียางแยกเฟสเล็กน้อย
50	1	10	พอลิเมอร์สมที่ได้มีลักษณะเดียวกันกับที่อุณหภูมิ 40°C
	2	1	หลังหยุดปฏิกิริยาได้ข่องเหลวสีขาวขุ่น ไม่มีแป้งและยางเกาะติดแห่งแม่เหล็ก ตกตะกอนได้ข่องเหลวสีขาวขุ่น เกิดตะกอนเล็กๆ และของเหลวหลังตกตะกอนสีขาวขุ่น หลังกรองของเหลวใสและขาวขุ่นเล็กน้อย และตะกอนบางส่วนเกาะกัน บางส่วนกระจายตัวดี (ประมาณ 30%) หลังอบไปได้ข่องแข็งสีขาว เห็นการแยกเฟสของยางประมาณ 1%
	2.5 และ 5		หลังหยุดปฏิกิริยาได้ข่องเหลวสีขาวขุ่น มีแป้งและยางเกาะติดแห่งแม่เหล็กเล็กน้อย ตกตะกอนได้ข่องเหลวสีขาวขุ่น เกิดเป็นตะกอนเล็กๆ กระจายตัวตะกอนไม่เกาะกลุ่มกัน และของเหลวที่ได้สีขาวขุ่นน้อยกว่าที่ PPS เท่ากับ 1 pph หลังกรองพบว่าตะกอนเกาะกันเป็นก้อนบางส่วนยังคงกระจายตัวดี (ประมาณ 20%) และของเหลวจาก การกรองขุ่นเล็กน้อย หลังอบไปได้ข่องแข็งสีขาว เห็นการแยกเฟสเล็กน้อยประมาณ 1%
	10		หลังหยุดปฏิกิริยาได้ข่องเหลวสีขาวขุ่น มีแป้งและยางเกาะติดแห่งแม่เหล็กเล็กน้อย ตกตะกอนได้ข่องเหลวสีขาวขุ่น และเกิดเป็นตะกอนเล็กๆ ตะกอนรวมกลุ่มกันน้อยมาก และของเหลวที่ได้หลังตกตะกอนมีความใส

			กว่าที่ 5 pph หลังกรองตะกอนເກະຕິດກັນ ແລະຂອງເຫຼວໄສ หลังອບໄດ້ ຕະກອນເປັນຂອງແຟັງສີຂາວ ແລະເຫັນກາຍແຍກເຟັງຂອງຍາງມາກປະມານ 7%
	15 ແລະ 20		หลังຫຼຸດປົງກີກີຣີຢາໄດ້ຂອງເຫຼວສີຂາວຊຸ່ນ ມີແປ່ງແລະຍາງເກະຕິດແທ່ງແມ່ເໜັກ ເລັກນ້ອຍ ຕາກຕະກອນໄດ້ຂອງເຫຼວສີຂາວຊຸ່ນ ເກີດເປັນຕະກອນເລືົກໆ ກະຈາຍຕ້ວ ເປັນຜົງຮ່ວມ ໄນເກະເປັນກັນ ແລະຂອງເຫຼວຊຸ່ນຂາວ ເມື່ອກາຍອງຕະກອນຈະ ເກະກັນເປັນກັນແລະຂອງເຫຼວໄສ หลังອບໄດ້ຂອງແຟັງສີຂາວ ແລະເຫັນກາຍ ແຍກເຟັງຂອງຍາງເລັກນ້ອຍປະມານ 2%
50	3 ແລະ 4	10	หลังຫຼຸດປົງກີກີຣີຢາໄດ້ຂອງເຫຼວສີຂາວຊຸ່ນ ມີແປ່ງແລະຍາງເກະຕິດແທ່ງແມ່ເໜັກ ເລັກນ້ອຍ ຕາກຕະກອນໄດ້ຂອງເຫຼວສີຂາວຊຸ່ນ ເກີດຕະກອນເລືົກໆ ກະຈາຍຕ້ວ ຕະກອນບາງສ່ວນກະຈາຍຕ້ວ໌ ແລະເກະຮ່ວມກັນ ຕະກອນທີ່ຮ່ວມຕັກັນຈະແຍກ ອອກຈາກກັນເມື່ອມີແປ່ງໄປກະທຳ ເມື່ອກາຍອງຕະກອນຈະຮ່ວມຕັກັນແລະ ຂອງເຫຼວຫຼັກຮອງໄສ หลังອບໄດ້ຕະກອນຂອງແຟັງສີຂາວ (ຄຳກ່າວ່າທີ່ 2 h) ແລະເຫັນກາຍແຍກເຟັງຂອງຍາງເລັກນ້ອຍປະມານ 2%
	5	10	หลังຫຼຸດປົງກີກີຣີຢາໄດ້ຂອງເຫຼວສີຂາວຊຸ່ນ ມີແປ່ງແລະຍາງເກະຕິດທີ່ຂອນຂອງຫຼັດປົງກີກີຣີ ເມື່ອຕາກຕະກອນໄດ້ ຂອງເຫຼວສີຂາວຊຸ່ນເກີດເປັນຕະກອນເລືົກໆ ຕະກອນບາງສ່ວນກະຈາຍຕ້ວ໌ ແລະ ເກະຕິດກັນ ແລະຂອງເຫຼວຫຼັກຕາກຕະກອນໄສ หลັງກາຍກຽງໄດ້ຕະກອນ ຮ່ວມກັນເປັນກັນແລະຂອງເຫຼວໄສ หลັງກາຍອບໄດ້ຂອງແຟັງສີຄົມ ແລະເຫັນກາຍ ແຍກເຟັງຂອງຍາງເລັກນ້ອຍປະມານ 3%
	1	5	หลังຫຼຸດປົງກີກີຣີຢາໄດ້ຂອງເຫຼວສີຂາວຊຸ່ນ ມີແປ່ງແລະຍາງເກະຕິດແທ່ງແມ່ເໜັກ ເລັກນ້ອຍ ຕາກຕະກອນໄດ້ຂອງເຫຼວສີຂາວຊຸ່ນ ແລ້ວເກີດເປັນຕະກອນເລືົກໆ ຕະກອນບາງສ່ວນເກະກັນ ແລະບາງສ່ວນກະຈາຍຕ້ວ໌ ແລະຂອງເຫຼວມີສີຂາວຊຸ່ນ ຕະກອນມາເກະຮ່ວມກັນແລະຂອງເຫຼວໄສຫຼັກຮອງກາຍ ລັງອບໄດ້ຂອງແຟັງສີ ຂາວ ແລະເຫັນກາຍແຍກເຟັງຂອງຍາງເລັກນ້ອຍມາກ
60	2	5 ແລະ 10	หลังຫຼຸດປົງກີກີຣີຢາໄດ້ຂອງເຫຼວສີຂາວຊຸ່ນ ມີແປ່ງແລະຍາງເກະຕິດແທ່ງແມ່ເໜັກ ເລັກນ້ອຍ ຕາກຕະກອນໄດ້ຂອງເຫຼວສີຂາວຊຸ່ນ ເກີດເປັນຕະກອນເລືົກໆ ເກະກັນ ເປັນກັນ ແລະກະຈາຍຕ້ວ໌ (ປະມານ 20%) ແລະຂອງເຫຼວໄສ ເມື່ອກາຍ ຕະກອນມາຮ່ວມກັນເປັນກັນແລະຂອງເຫຼວໄສ หลັງອບແທ້ໄດ້ຕະກອນເປັນ ຂອງແຟັງສີຂາວ ແລະເຫັນກາຍແຍກເຟັງຂອງຍາງເລັກນ້ອຍປະມານ 3%
70	2	10	ເມື່ອເດີມ PPS ປະມານ 1.30 h ມີແປ່ງແລະຍາງຈັບຕັກັນເກະຕິດແທ່ງ ແມ່ເໜັກ ແລະປ່ລ່ອຍປົງກີກີຣີຢາດຳເນີນໄປປຽບ 2 h ພົບວ່າແປ່ງແລະຍາງທີ່ເກະ ບັນແທ່ງແມ່ເໜັກແຍກກັນອູ້ກັນຂອງເຫຼວໄສສີເໜັກອຸ່ນ ເມື່ອນໍາຂອງເຫຼວໄສ ສີເໜັກອຸ່ນເກີດຂຶ້ນ ລັງອບໄດ້ຕະກອນສີເໜັກອຸ່ນໄສເປວະ ແລະຂອງແຟັງສີ ຂາວທີ່ມາຈາກແປ່ງແລະຍາງຈັບຕ້ວ໌ ແລະເຫັນກາຍແຍກເຟັງຂອງຍາງປະມານ 3%



ตารางที่ 4.3 ลักษณะของพอลิเมอร์ผสมที่ได้จากการสังเคราะห์อัตราส่วนระหว่างแป้งดินต่อน้ำยาธาร์มชาติเท่ากับ 80/20 ที่อุณหภูมิ 50°C แปรเวลาและปริมาณ PPS

PPS content (pph)	Reaction time (h)	Appearance
0.4	1	หลังหยุดปฏิกิริยาได้ข่องเหลวสีขาวขุ่น มีแป้งและยางเกาติดแห่งแม่เหล็กเล็กน้อย ตกตะกอนได้ข่องเหลวสีขาวขุ่น เกิดเป็นตะกอนเล็กๆ ตะกอนบางส่วนเกากันเป็นก้อนใหญ่ และตะกอนเล็กๆ แขวนลอยอยู่ในข่องเหลวสีขาวขุ่น หลังตกตะกอนของเหลวขุ่นของเหลวขาวเล็กน้อย เมื่อกรอง ตะกอนเกากันเป็นก้อนใหญ่และของเหลวใส หลังอบได้ตะกอนสีขาว และสังเกตเห็นการแยกเฟสของยางประมาณ 3%
	1.30 และ 1.45	หลังหยุดปฏิกิริยาได้ข่องเหลวสีขาวขุ่น มีแป้งและยางเกาติดแห่งแม่เหล็กเล็กน้อย ตกตะกอนได้ข่องเหลวสีขาวขุ่น เกิดเป็นตะกอนเล็กๆ ตะกอนบางส่วนเกากันเป็นก้อน และบางส่วนแขวนลอยอยู่ในข่องเหลวสีขาวขุ่น หลังตกตะกอนของเหลวขุ่น เล็กน้อย เมื่อกรอง ได้ตะกอนเกากันเป็นก้อนใหญ่และของเหลวใส หลังอบได้ตะกอนสีขาว และเห็นการแยกเฟสของยางประมาณ 3%
	2	หลังหยุดปฏิกิริยาได้ข่องเหลวสีขาวขุ่น มีแป้งและยางเกาติดแห่งแม่เหล็กเล็กน้อย ตกตะกอนได้ข่องเหลวสีขาวขุ่น เกิดเป็นตะกอนเล็กๆ รวมตัวเป็นก้อนใหญ่และ บางส่วนแขวนลอยอยู่ในข่องเหลวสีขาวขุ่น หลังกรอง ตะกอนเกากันเป็นก้อนใหญ่ และของเหลวใส หลังอบได้ตะกอนสีขาว และสังเกตเห็นการแยกเฟสของยางประมาณ 5%
0.5	1	ลักษณะของพอลิเมอร์ผสมที่ได้เหมือนกับที่ปริมาณ PPS เท่ากับ 0.4 pph สังเกตเห็น การแยกเฟสของยางประมาณ 5%
	1.30 และ 1.45	ลักษณะของพอลิเมอร์ผสมที่ได้เหมือนกับที่ปริมาณ PPS เท่ากับ 0.4 pph สังเกตเห็น การแยกเฟสของยางประมาณ 5%
	2	ลักษณะของพอลิเมอร์ผสมที่ได้เหมือนกับที่ปริมาณ PPS เท่ากับ 0.4 pph สังเกตเห็น การแยกเฟสของยางประมาณ 7%
0.6	1	ลักษณะของพอลิเมอร์ผสมที่ได้เหมือนกับที่ปริมาณ PPS เท่ากับ 0.4 pph ที่เวลา 1 h
	1.30	ลักษณะของพอลิเมอร์ผสมที่ได้เหมือนกับที่ปริมาณ PPS เท่ากับ 0.5 pph ที่เวลา 1.30 h
	1.45 และ 2	หลังหยุดปฏิกิริยาได้ข่องเหลวสีขาวขุ่น มีแป้งและยางเกาติดแห่งแม่เหล็กเล็กน้อย เกิดตะกอนเล็กๆ ตะกอนบางส่วนรวมตัวกันเป็นก้อนใหญ่ และบางส่วนกระจายตัวตีข่องเหลวหลังตกตะกอนขุ่นขาวแต่ไส้กว่าที่ 1.30 h หลังกรองพบว่าได้ตะกอนก้อนใหญ่ และของเหลวที่ได้จากการกรองใส อบแห้งได้ตะกอนสีขาว และเห็นการแยกเฟสของยางประมาณ 5%

3. อัตราส่วนของแป้งดินต่อยางธาร์มชาติเท่ากับ 90/10

ใช้แป้งมันสำปะหลัง 9 g ผสมกับน้ำกลั่น 50 ml น้ำยาธาร์มชาติ 1.67 g ผสมกับน้ำกลั่น 50 ml และ PPS 10 pph ที่อุณหภูมิ 40, 50, 60 และ 70°C เป็นเวลา 2 h หลังจากหยุดปฏิกิริยาแล้วจึงนำไปตกตะกอนด้วยเมทานอล

กรองผลลัพธ์สมที่ตกลงกันได้ และขอบเขนเดียวกับการทดลองที่ผ่านมา ลักษณะของผลลัพธ์สมอธิบายในตารางที่ 4.4 พบว่าเมื่ออุณหภูมิเพิ่มขึ้นทำให้สีของตะกอนที่ได้คล้ำขึ้น เช่นเดียวกับกับการทดลองที่ผ่านมา

ตารางที่ 4.4 ลักษณะของพอลิเมอร์สมใช้อัตราส่วนระหว่างแป้งดีบบดต่อน้ำยาธารมชาติเท่ากับ 90/10 ที่เวลาเท่ากับ 2 h ปริมาณ PPS เท่ากับ 10 ppm และอุณหภูมิแตกต่างกัน

Reaction temperature (°C)	Appearance
40	หลังหยุดปฏิกิริยาได้ข่องเหลวสีขาวขุ่น ไม่มีแป้งและยางเกาติดแท่งแม่เหล็ก ตกตะกอนได้ข่องเหลวสีขาวขุ่น แล้วจึงเกิดเป็นตะกอนเล็กๆ ตะกอนเป็นผงร่วนไม่เกาติดกัน กระจายตัวอย่างสม่ำเสมอไม่รวมตัวกัน และของเหลวขุ่นเล็กน้อย หลังกรองของเหลวขาวขุ่น ตะกอนเกาติดกันและของเหลวขุ่นเล็กน้อย หลังอบได้ข่องแข็งสีขาว และเห็นการแยกเฟสของยางเล็กน้อยมาก
50	หลังหยุดปฏิกิริยาได้ข่องเหลวสีขาวขุ่น ไม่มีแป้งและยางเกาติดแท่งแม่เหล็ก ตกตะกอนได้ข่องเหลวสีขาวขุ่น แล้วเกิดเป็นตะกอนเล็กๆ ตะกอนบางส่วนเกาติดกันและกระจายตัว (ประมาณ 30%) และของเหลวใสกว่าที่อุณหภูมิ 40°C เมื่อกรองตะกอนเการวมกันและบางส่วนมีการกระจายเป็นผงร่วน หลังอบได้ข่องแข็งสีขาว และเห็นการแยกเฟสของยางเล็กน้อยมาก
60	หลังหยุดปฏิกิริยาได้ข่องเหลวสีขาวขุ่น มีแป้งและยางเกาติดแท่งแม่เหล็กเล็กน้อย ตกตะกอนได้ข่องเหลวสีขาวขุ่น แล้วเกิดเป็นตะกอนเล็กๆ ตะกอนบางส่วนเกาติดกันและกระจายตัวดี (ประมาณ 30%) หลังตกตะกอนได้ข่องเหลวใสกว่าที่อุณหภูมิ 50°C หลังกรองตะกอนมาเการวมกันและของเหลวใส หลังอบได้ข่องแข็งสีครีม และเห็นการแยกเฟสของยางเพียงเล็กน้อย
70	หลังหยุดปฏิกิริยาได้ข่องเหลวสีขาวขุ่น มีแป้งและยางเกาติดแท่งแม่เหล็กเล็กน้อย ตกตะกอนได้ข่องเหลวสีขาวขุ่น แล้วเกิดเป็นตะกอนเล็กๆ ตะกอนบางส่วนเกาติดกันและกระจายตัวดี (ประมาณ 30%) หลังตกตะกอนได้ข่องเหลวใสกว่าที่อุณหภูมิ 60°C หลังกรองตะกอนมาเการวมกันและของเหลวใส หลังอบได้ข่องแข็งสีครีมและคล้ำกว่าที่ 60°C และเห็นการแยกเฟสของยางประมาณ 1%

จากการทดลองการใช้อัตราส่วนของแป้งดิบต่อน้ำยาธรรมชาติที่สัดส่วนต่างๆ กันทั้ง 3 อัตราส่วน พบร่วงหลังหมุดปฏิกิริยาได้ข่องเหลวสีขาวขุ่น มีแป้งและยางธรรมชาติเกะที่แห่งแม่เหล็ก ปริมาณการเกะกันของแป้งดิบและยางธรรมชาติขึ้นอยู่กับปริมาณของยางธรรมชาติ โดยที่ 10, 20 และ 30 wt% ของยางธรรมชาติจะมีแป้งและยางเกะกันประมาณ 1, 3 และ 5-7% ตามลำดับ หลังจากถูกตอกด้วยเมทานอลได้เป็นข่องเหลวสีขาวขุ่นและตอกอนสีขาวเกะกันเป็นกลุ่ม และมีการแยกเฟสของยางธรรมชาติหลังอบแห้ง พบร่วงอัตราส่วนของแป้งดิบต่อยางธรรมชาติเท่ากับ 70/30 และ 80/20 เกิดการแยกเฟสของยางธรรมชาติตามมากกว่าที่อัตราส่วนของแป้งดิบต่อยางธรรมชาติเท่ากับ 90/10 และที่อุณหภูมิเท่ากับ 70°C และเวลาตั้งแต่ 3 h เป็นต้นไปของอัตราส่วนของแป้งดิบต่อยางธรรมชาติเท่ากับ 70/30 และ 80/20 ทำให้เกิดการเกะกันระหว่างแป้งดิบและยางธรรมชาติเพิ่มขึ้นในขณะการวนผลสมมากกว่าที่อุณหภูมิและเวลาอื่นๆ ซึ่งการเกะกันของแป้งและยางธรรมชาติถักกล่าวกองถึงการเกิดการแยกเฟสของยางธรรมชาติที่เพิ่มมากขึ้นหลังจากตอกด้วยร้อนแห้ง ดังนั้นจึงเลือกสัดส่วนแป้งดิบต่อยางธรรมชาติเท่ากับ 80/20 เพื่อศึกษาอิทธิพลของแป้งดิบแปรงชนิดต่างๆ ต่อการสังเคราะห์กราฟฟิคอลิเมอร์

4.1.2 ผลการสังเคราะห์กราฟฟิโโคพอลิเมอร์ของแป้งօอกชิไดซ์ (Gelsize-75)

เป็นการศึกษาการสังเคราะห์กราฟฟิโโคพอลิเมอร์ของแป้งօอกชิไดซ์ โดยใช้อัตราส่วนของแป้งต่อยางธรรมชาติเท่ากับ 80/20 แปรปริมาณ PPS ตั้งแต่ 1-10 pph ที่อุณหภูมิเท่ากับ 40-70°C และเวลา 1-3 h ลักษณะของพอลิเมอร์ผสมที่ได้แสดงในตารางที่ 4.5 แป้งดัดแปรชนิดนี้ทำให้ของผสมเกิดการจับตัวกันและแยกกันระหว่างส่วนที่จับตัวและส่วนที่เป็นของเหลว ตะกอนที่ได้จากการก้อนค่อนข้างเนียนละเอียดและเป็นผลึก และเกิดการแยกเฟสของยางธรรมชาติที่สามารถมองเห็นได้อย่างชัดเจนในปริมาณที่ค่อนข้างสูง จากลักษณะดังกล่าวบอกได้ว่าแป้งօอกชิไดซ์ไม่เหมาะสมต่อการนำไปทำพอลิเมอร์ผสม

ตารางที่ 4.5 ลักษณะของพอลิเมอร์ผสมเมื่อใช้แป้งօอกชิไดซ์ใช้อัตราส่วนระหว่างแป้งดินต่อน้ำยางธรรมชาติเท่ากับ 80/20 สังเคราะห์ที่อุณหภูมิ เวลา และปริมาณ PPS แตกต่างกัน

Reaction temperature (°C)	PPS content (pph)	Reaction time (h)	Appearance
40	5	2	หลังหยุดปฏิกิริยาได้ข่องเหลวสีขาวขุ่น ไม่มีแป้งและยางเกะติดแห่งแม่เหล็ก ตะกอนที่ได้ตะกอนเป็นผงสีขาวขุ่น และของเหลวหลังตะกอนมีสีขาวขุ่น ของเหลวที่ได้จากการกรองใส หลังจากอบแห้งได้ตะกอนที่จับตัวติดกันเป็นแผ่น สีขาวขุ่น และค่อนข้างนิ่ม มีก้อนยางประมาณ 5%
50	3	3	หลังหยุดปฏิกิริยาได้ข่องเหลวสีขาวขุ่น ไม่มีแป้งและยางเกะติดแห่งแม่เหล็ก หลังตะกอนมีส่วนที่จับตัวเป็นแผ่นอยู่ตรงส่วนล่างของบีกเกอร์ และของเหลว หลังตะกอนมีสีขาวขุ่น เมื่อกรองของเหลวที่ได้ใส ตะกอนเป็นผงสีขาว และแผ่นยางซึ่งเกะติดกระดาษกรอง หลังอบแห้งได้ตะกอนที่จับตัวติดกันเป็นก้อนสีขาวขุ่น ลักษณะค่อนข้างนิ่ม ยืดหยุ่นเล็กน้อย และได้แผ่นยางสีเหลืองประมาณ 20%
		2 และ 3	พอลิเมอร์ผสมที่ได้มีลักษณะเดียวกับที่ 40°C
60	1	1 และ 2	หลังหยุดปฏิกิริยาได้ข่องเหลวสีขาวขุ่น ไม่มีแป้งและยางเกะติดแห่งแม่เหล็ก เมื่อตะกอนได้ตะกอนเป็นผง ของเหลวหลังตะกอนสีขาวขุ่น เมื่อกรองได้ ตะกอนเป็นผงสีขาวรวมตัวกันเป็นก้อน หลังอบได้ตะกอนสีขาว มีความแข็งและค่อนข้างเนียนยวain บางส่วน มีการแยกเฟสของยางออกมาเป็นก้อนประมาณ 20%
	2	1 และ 2	ที่เวลา 1 h มีลักษณะเช่นเดียวกับการใช้ PPS 1 pph ที่เวลา 2 h แป้งและยางจับตัวกันเป็นก้อนหลังเติม PPS ลงไปประมาณ 1 h และ 20 min และมีส่วนที่เป็นก้อนยางประมาณ 50%
	3	1	ไม่มีแป้งและยางเกะติดแห่งแม่เหล็ก เมื่อตะกอนๆ เป็นผงละเอียด ของเหลวหลังตะกอนสีขาวขุ่น เมื่อกรองได้ตะกอนที่เป็นผงสีขาวรวมตัวกันเป็นก้อน หลังอบได้ตะกอนสีขาวออกเหลืองเล็กน้อย เกะตันเป็นก้อน ก้อนดังกล่าวสามารถหักได้ร่าย มีการแยกเฟสของยางออกมาเป็นก้อนประมาณ 20%
		2	พอลิเมอร์ผสมที่ได้มีลักษณะเดียวกับที่ PPS เท่ากับ 2 pph ที่เวลา 2 h
	5	1 และ 2	แป้งและยางจับตัวกันเป็นก้อนหลังเติม PPS ลงไปประมาณ 44 min และมีส่วนที่เป็นก้อนยางประมาณ 50%

70	1	1 และ 2	แบ่งและยางจับตัวกันเป็นก้อนหลังเติม PPS ลงไปประมาณ 20 min และหลังอบแห้งมีก้อนยางที่แยกออกอกราบประมาณ 40%
	2	1 และ 2	แบ่งและยางจับตัวกันเป็นก้อนหลังเติม PPS ลงไปประมาณ 24 min และหลังอบแห้งมีก้อนยางแยกออกอกราบประมาณ 50%
	5	1 และ 2	แบ่งและยางจับตัวกันเป็นก้อนหลังเติม PPS ลงไปประมาณ 26 min และหลังอบแห้งมีก้อนยางแยกออกอกราบประมาณ 60%

4.1.3 ผลการสังเคราะห์กราฟท์โพลิเมอร์ของแบ่งแอมโพเทอริก (Geltron-245)

เป็นการศึกษาแบ่งแอมโพเทอริก โดยใช้อัตราส่วนของแบ่งต่อเนื้อยางธรรมชาติเท่ากับ 80/20 จากการสังเกตลักษณะทางกายภาพของพอลิเมอร์ผสมที่ได้พบว่าแบ่งชนิดนี้มีความหนืดสูง สังเกตได้จากปริมาณน้ำที่ใช้ในการศึกษา เพราะว่าเมื่อใช้น้ำปริมาณน้ำที่เท่ากับแบ่งดินไม่สามารถถกวนได้ เพราะมีความหนืดสูงมาก ลักษณะของพอลิเมอร์ผสมที่ได้แสดงในตารางที่ 4.6 จากผลการทดลองสามารถสรุปได้ว่าแบ่งแอมโพเทอริกไม่มีความเหมาะสมต่อการสังเคราะห์กราฟท์โพลิเมอร์ เนื่องจากความหนืดที่สูงมาก ทำให้ของผสมมีเนื้อ (total solid content) น้อย

ตารางที่ 4.6 ลักษณะของพอลิเมอร์ผสมเมื่อใช้แบ่งดินแปรชนิด Geltron-245 ใช้อัตราส่วนระหว่างแบ่งดินต่อน้ำยางธรรมชาติเท่ากับ 80/20 สังเคราะห์ที่อุณหภูมิ เวลา ปริมาณ PPS และปริมาณน้ำแตกต่างกัน

Reaction temperature (°C)	PPS content (pph)	Water content (ml)	Reaction time (h)	Appearance
30	5	50	2	หลังหยุดปฏิกริยาได้ของเหลวสีขาวขุ่น ไม่มีแบ่งและยางเกาะติด แห้งแม่เหล็ก ตกตะกอนได้ตะกอนเล็กๆ กระจายตัวและของเหลวที่ได้ใส หลังกรองได้ตะกอนเกาะกันเป็นก้อนและของเหลวใส หลังอบแห้งได้ตะกอนสีขาว และตะกอนเกาะกันเป็นก้อนแข็ง บดละเอียดไม่ได้
40	5	50	2	ลักษณะของพอลิเมอร์ผสมที่ได้เหมือนกันกับที่ 30°C
50	1	50	2 และ 3	ลักษณะของพอลิเมอร์ผสมที่ได้เหมือนกันกับที่ 30°C
	5	50	2	หลังหยุดปฏิกริยาได้ของเหลวสีขาวขุ่น ไม่มีแบ่งและยางเกาะติด แห้งแม่เหล็กเล็กน้อย เมื่อตกตะกอนได้ตะกอนเล็กๆ สีขาวกระจายตัวและของเหลวที่ได้ใส หลังกรองตะกอนเกาะกลุ่มรวมกัน และได้ของเหลวใส หลังอบแห้งได้ตะกอนสีขาว และตะกอนเกาะกันเป็นก้อนแข็งบดละเอียดไม่ได้ มีการแยกเฟสของยางเล็กน้อย
			3	หลังหยุดปฏิกริยาได้ของเหลวสีขาวขุ่น มียางเกาะติดแห้งแม่เหล็ก ตกตะกอนได้ตะกอนเล็กๆ สีขาวกระจายตัวและของเหลวใส หลังกรองตะกอนสีเหลืองเกาะกันและของเหลวใส หลังอบแห้งได้ตะกอนสีเหลือง และตะกอนสามารถบดละเอียดได้ มีการแยกเฟสของยางเล็กน้อยประมาณ 3%

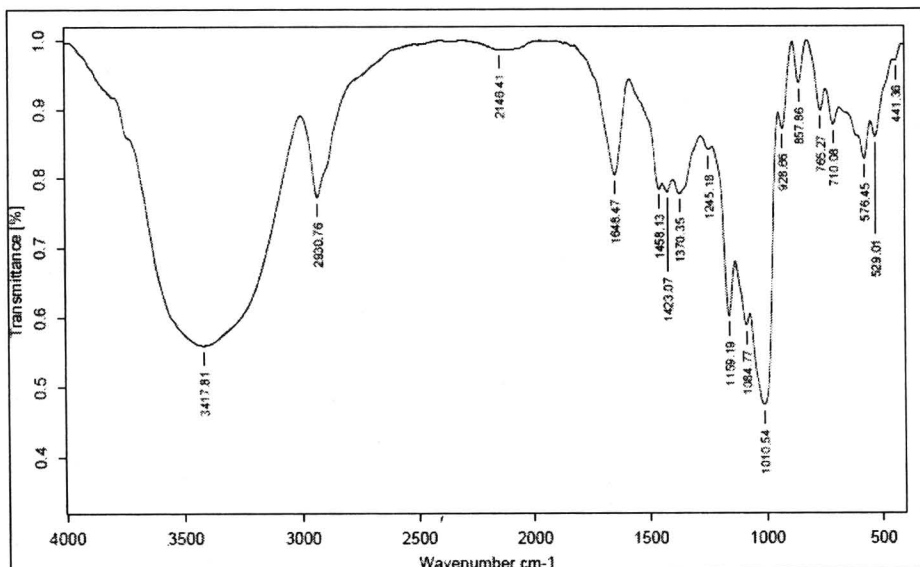
60	1	175	1 และ 2	หลังหยุดปฏิกริยาได้ข้องเหลวสีขาวขุ่น มียางเกาะติดแห้งแม่เหล็ก เมื่อตอกตะกอนได้ตะกอนเล็กๆ สีขาวกระจายตัว และของเหลวใส หลังกรองตะกอนเกะกันและได้ข้องเหลวใส หลังอบแห้งได้ตะกอนสีเหลือง และตะกอนสามารถดับละเอียดได้ มีการแยกเฟสของยางเล็กน้อยประมาณ 5%
60	5	175	1	หลังหยุดปฏิกริยาได้ข้องเหลวสีขาวขุ่น ไม่มีแป้งและยางเกาะติดแห้งแม่เหล็ก เมื่อตอกตะกอนได้ตะกอนสีขาวจับตัวเป็นก้อนเหนียว และของเหลวใส หลังกรองตะกอนเกะกันและได้ข้องเหลวใส หลังอบแห้งได้ตะกอนสีเหลือง และตะกอนสามารถดับละเอียดได้ มีการแยกเฟสของยางเล็กน้อย
			2	หลังหยุดปฏิกริยาได้ข้องเหลวสีขาวขุ่น ไม่เกาะติดแห้งแม่เหล็ก เมื่อตอกตะกอนได้ตะกอนสีขาวเล็กๆ สีขาวจากนั้นจะจับตัวเป็นก้อนเหนียวๆ และของเหลวใส หลังกรองตะกอนเกะกันและได้ข้องเหลวใส หลังอบแห้งได้ตะกอนสีเหลือง และตะกอนสามารถดับละเอียดได้ มีการแยกเฟสของยางประมาณ 5%
		125	2	ลักษณะของพอลิเมอร์ผสมที่ได้เมื่อยักกับบริมาณเท่ากับ 175 ml และเวลา 2 h
70	5	275	1 และ 2	หลังหยุดปฏิกริยาได้ข้องเหลวสีขาวขุ่น ไม่มีแป้งและยางเกาะติดแห้งแม่เหล็ก ทำการตอกตะกอนได้ตะกอนสีขาวมหึมเหลือง และจับตัวเป็นก้อนเหนียวๆ ของเหลวใส หลังกรองได้ตะกอนสีเหลืองอ่อน และของเหลวใส หลังอบแห้งได้ตะกอนสีเหลือง และสามารถดับละเอียดได้ มีการแยกเฟสของยางประมาณ 3%
			1 และ 2	เมื่อทำการกรานแป้งกับน้ำ เป็นเวลา 4 min ของผสมที่ได้มีความหนืดเพิ่มขึ้น เมื่อทำการเพิ่มปริมาณน้ำลงไประหว่างการทดลอง สังเกตเห็นว่าของผสมเกิดการแยกชั้น โดยชั้นล่างหนืดเป็นแป้งเปียก ส่วนชั้นบนเป็นน้ำ ไม่สามารถทำการทดลองต่อได้ มีการแยกเฟสของยางเล็กน้อยประมาณ 3%
		205	1 และ 2	เมื่อทำการกรานแป้งกับน้ำ เป็นเวลา 4 min ของผสมที่ได้มีความหนืดเพิ่มขึ้น เมื่อทำการเพิ่มปริมาณน้ำลงไประหว่างการทดลอง สังเกตเห็นว่าของผสมเกิดการแยกชั้น โดยชั้นล่างหนืดเป็นแป้งเปียก ส่วนชั้นบนเป็นน้ำ ไม่สามารถทำการทดลองต่อได้
80	1	325	1 และ 2	หลังหยุดปฏิกริยาได้ข้องเหลวสีขาวขุ่น ไม่มีแป้งและยางเกาะติดแห้งแม่เหล็ก เมื่อตอกตะกอนได้ตะกอนสีขาวมหึมเหลืองจับตัวเป็นก้อนเหนียวๆ และของเหลวที่เหลือใส เมื่อกรองตะกอนเป็นก้อนและของเหลวใส หลังอบแห้งได้ตะกอนสีเหลือง และสามารถดับละเอียดได้ มีการแยกเฟสของยางเล็กน้อย
			1	หลังหยุดปฏิกริยาได้ข้องเหลวสีขาวขุ่น ไม่มีแป้งและยางเกาะติดแห้งแม่เหล็ก เมื่อตอกตะกอนได้ตะกอนสีขาวมหึมเหลืองจับตัวเป็นก้อนเหนียว และของเหลวใส เมื่อกรองตะกอนเป็นก้อนสีเหลือง และ

				ของเหลวใส หลังอบแห้งได้ตะกอนสีเหลืองเข้ม และสามารถบดละลายได้ มีการแยกเฟสของยางเล็กน้อยประมาณ 6%
80	.5	325	1 และ 2	พอลิเมอร์ผสมที่ได้มีลักษณะเหมือนกับปริมาณ PPS เท่ากับ 1 ppb

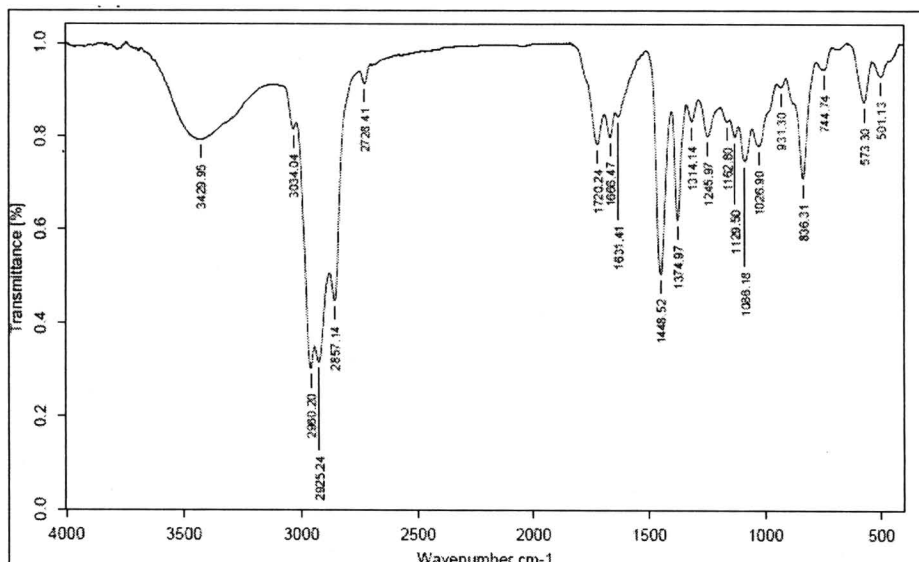
พอลิเมอร์ผสมที่ได้จากการทดลองสังเคราะห์рафท์โคลพอลิเมอร์ทั้งหมดนี้ ไม่เหมาะสมที่จะนำไปเป็นวัสดุในการขึ้นรูปเป็นฟوم เนื่องจากการสังเคราะห์ดังกล่าวใช้น้ำเป็นจำนวนมาก ทำให้มีปริมาณของแข็งน้อย การนำไปปั้นรูปเป็นฟอมจึงเป็นต้องเติมแป้งมันสำปะหลังลงไป ซึ่งได้ทำการทดลองแล้ว ปรากฏว่าแป้งจับตัวเป็นก้อน ไม่สามารถนำไปปั้นรูปเป็นฟอมได้ จึงไม่มีความจำเป็นที่จะทดลองหาปริมาณการกราฟท์ในพอลิเมอร์ระหว่างแป้งและน้ำยา ธรรมชาติ เพราะไม่สามารถนำไปใช้ได้ แต่ยังคงมีความจำเป็นที่จะพิสูจน์การเกิดกราฟท์โคลพอลิเมอร์ระหว่างแป้งและน้ำยา ธรรมชาติ อย่างไรก็ตามจากการทดลองศึกษาอิทธิพลของชนิดของแป้งมันสำปะหลังทั้งสามชนิด พบว่าแป้งดิบมีความเหมาะสมมากที่สุดในการสังเคราะห์рафท์โคลพอลิเมอร์ เพราะแป้งออกซิไดเรชั่นจับตัวกันเป็นก้อนในระหว่างการทำปฏิกิริยาและมีการแยกเพลสกันบันยานธรรมชาติมากกว่าแป้งอีกสองชนิด แป้งแมมโพเทอริกมีความหนืดสูงมากเกินไปทำให้ใช้ปริมาณน้ำในการทดลองที่สูงขึ้น และตะกอนหลงบอบแห้งมีสีเหลืองและแข็งมาก บดละเอียดได้ยากกว่าแป้งดิบ ดังนั้นในการศึกษาเพื่อตรวจสอบการเกิดกราฟท์โคลพอลิเมอร์ จึงเลือกใช้แป้งดิบในสัดส่วนของแป้งดิบต่ออย่างธรรมชาติ เท่ากับ 80/20 มาทำการศึกษาการเกิดกราฟท์โคลพอลิเมอร์ด้วยเทคนิค FTIR และ $^1\text{H-NMR}$ โดยทำการสกัดด้วยธรรมชาติที่ไม่เกิดปฏิกิริยากันแป้งออกไปด้วยวิธีการ Soxhlet extraction ในโกลุ่มที่ 110°C เป็นเวลา 40 h

4.2 ผลการตรวจสอบกราฟท์โคพอลิเมอร์ด้วยเทคนิคอินฟารेडสเปกตรอสโคปี

FTIR สเปกตรัมของแป้งมันสำปะหลังและยางธรรมชาติแสดงในรูปที่ 4.1 และ 4.2 ตามลำดับ แผนกรสั่นของหมุนฟังก์ชันของแป้งมันสำปะหลังและยางธรรมชาติแสดงในตารางที่ 4.7 พบว่าบางตำแหน่งของแป้งมันสำปะหลังและยางธรรมชาติมีการซ้อนทับกัน



รูปที่ 4.1 FTIR สเปกตรัมของแป้งมันสำปะหลัง

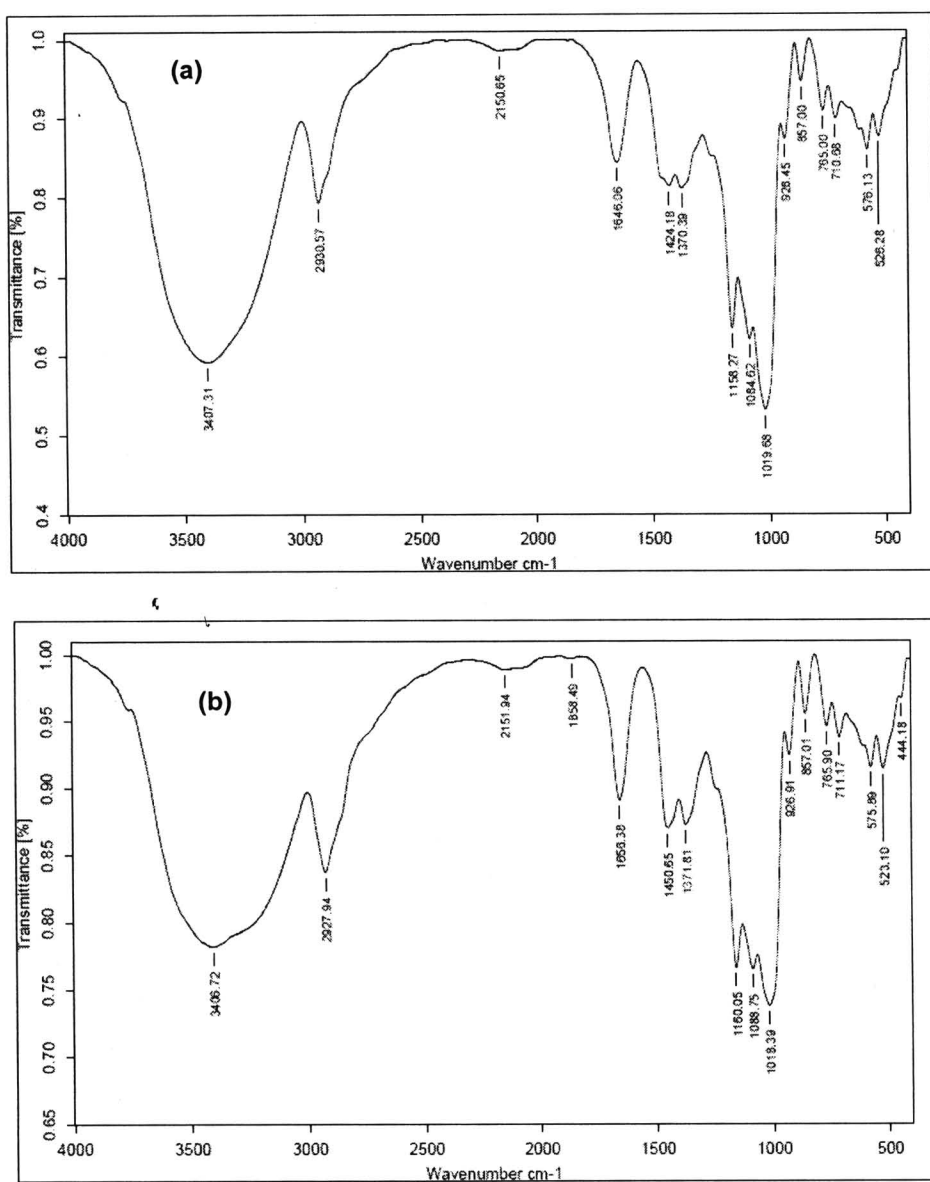


รูปที่ 4.2 FTIR สเปกตรัมของยางธรรมชาติ

ตารางที่ 4.7 หมู่พังก์ชันบนตำแหน่งเลขคณิตต่างๆ ของยางธรรมชาติและแป้งมันสำปะหลังจากการวิเคราะห์ด้วยเทคนิค FTIR

Sample	Wave number (cm^{-1})	Assignment
Cassava starch (Kaewtatip and Tanrattanakul, 2008; Mano <i>et al.</i> , 2003)	3900-3300	O-H stretching
	2930	C-H asymmetric stretching
	1648	$\delta(\text{O-H})$ of water
	1458	CH_2 deformation
	1423-1370	C-H bending and wagging
	1159, 1084, 1010	C-O stretching (C-O-C, C-O-H)
Natural rubber (Santos <i>et al.</i> , 2005)	3429	O-H stretching
	2926, 2925, 2854	C-H stretching
	1720, 1666	C=CH stretching
	1448	CH_3 deformation
	1374	CH_2 deformation
	836	C=CH (bending)

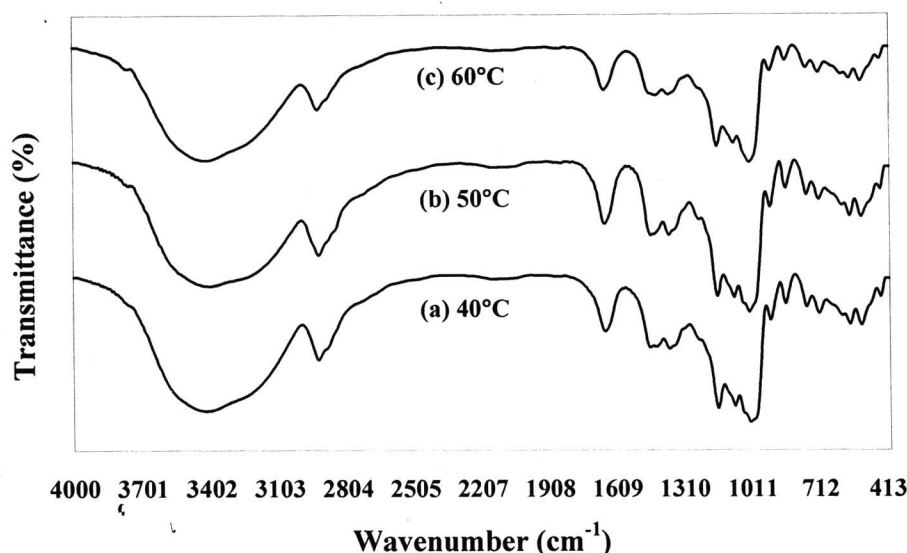
รูปที่ 4.3a และ 4.3b แสดง FTIR สเปกตรัมของพอลิเมอร์สมที่มีปริมาณ PPS เท่ากับ 0.5 pph ก่อนและหลังการทำ Soxhlet extraction ตามลำดับ พบว่าเส้นสเปกตรัมทั้งสองรูปไม่มีความแตกต่างกันและมีลักษณะเหมือนกับสเปกตรัมของแป้งมันสำปะหลังที่แสดงในรูปที่ 4.1 เนื่องจากพื้นที่ของแป้งมันสำปะหลังและยางธรรมชาติมีการซ้อนกันอยู่หลายตำแหน่งดังแสดงในตารางที่ 4.7 จึงทำให้ไม่สามารถเห็นพื้นที่ที่เป็นลักษณะเฉพาะของยางธรรมชาติได้ในรูปที่ 4.3a ที่เป็นตัวอย่างของพอลิเมอร์สมที่ยังไม่มีการสกัดออกจากยางธรรมชาติออกไป



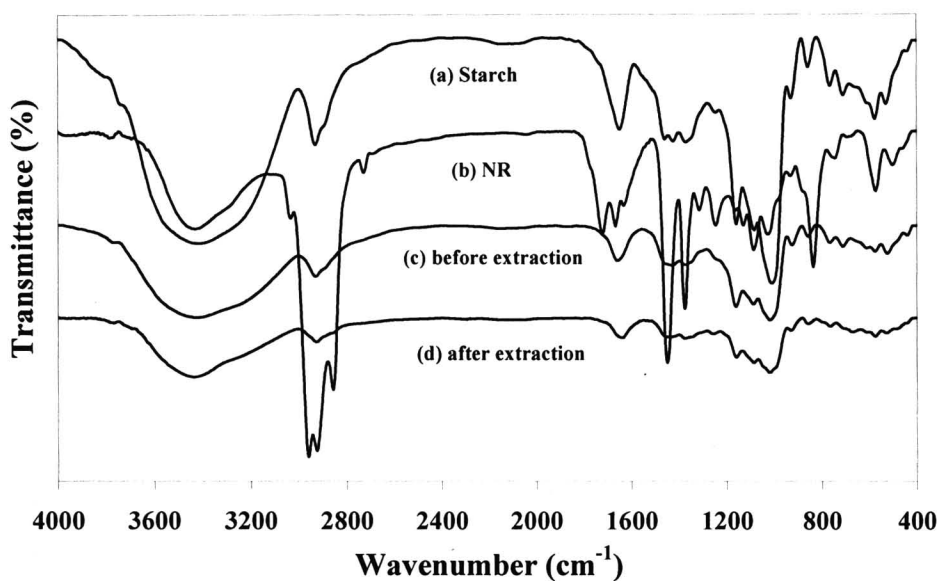
รูปที่ 4.3 FTIR สเปกตรัมของพอลิเมอร์ผสมที่มีอัตราส่วนแบ่งดินต้อยางธรรมชาติเท่ากับ 80/20 ทำปฏิกิริยาที่ อุณหภูมิ 50°C เวลา 2 h และ PPS 0.5 pph โดยที่ (a) ก่อนทำ Soxhlet extraction และ (b) หลังทำ Soxhlet extraction

นำพอลิเมอร์ผสมที่สังเคราะห์ในอุณหภูมิที่แตกต่าง ($40\text{-}60^{\circ}\text{C}$) เป็นเวลา 2 h และมีปริมาณ PPS เท่ากับ 0.5 pph ทำการสกัดเย้ายางธรรมชาติที่ไม่เกิดปฏิกิริยาออกไประหว่างวิธีการ Soxhlet extraction ที่กล่าวมาแล้ว นำไปตรวจสอบด้วยเทคนิค FTIR ผลการวิเคราะห์แสดงในรูปที่ 4.4 สังเกตได้ว่าเส้นสเปกตรัมมีลักษณะเหมือนกัน ผลการทดลองบ่งชี้ว่าอุณหภูมิในการสังเคราะห์ไม่มีผลต่อพอลิเมอร์ผสมที่เตรียมได้ แต่ที่ต้องพิจารณาโดยละเอียดคือ การไม่แสดงพิคของยางธรรมชาติในตัวอย่างที่ไม่ได้ทำการสกัดเย้ายางออกไประหว่างวิธีการ Soxhlet extraction ทำให้เป็นที่สงสัยว่าการตรวจสอบด้วยเทคนิค FTIR โดยพิจารณาจากเส้นสเปกตรัมโดยตรงดังเช่นที่แสดงในรูปที่ 4.3 และ 4.4 อาจจะไม่เหมาะสม เพราะมีการซ้อนทับของตำแหน่งเลขคื่นต่างๆ ของพอลิเมอร์ทั้งสองชนิด รูปที่ 4.5 ยืนยันการซ้อนทับกันของสเปกตรัมของแบงมัน

สำປະහັດແລະຍາງຮຽນຮ່າຍ ຮ່ວມທັງບິນຍັນການໄມ່ເຫັນລັກຂະນະເຈພະຂອງຍາງຮຽນຮ່າຍໃນພອລິເມືອົບສົມທັງກ່ອນທ່າການສັກດີແລະຫັດການສັກດີເຂຍາງຮຽນຮ່າຍຕີບາງສ່ວນອອກໄປ



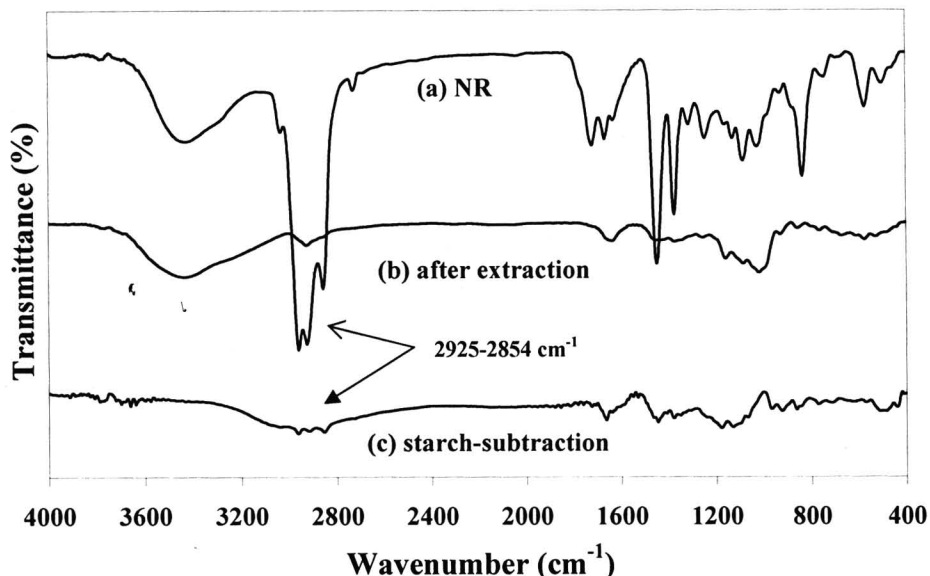
ຮູບທີ 4.4 FTIR ສເປັກຕົວມພອລິເມືອົບສົມຫັດທໍາ Soxhlet extraction ທີ່ອັດຮ່າງສ່ວນແປ້ງດີບຕ່ອຍາງຮຽນຮ່າຍເທົ່າກັນ 80/20 ອຸນຫຼຸມ 50°C ເວລາ 2 h ແລະ PPS 0.5 pph ທີ່ອຸນຫຼຸມ 40°C, 50°C ແລະ 60°C



ຮູບທີ 4.5 FTIR ສເປັກຕົວມອົງແປ້ງມັນສຳປະහັດ ຍາງຮຽນຮ່າຍ ແລະພອລິເມືອົບສົມກ່ອນທໍາ Soxhlet extraction ແລະພອລິເມືອົບສົມຫັດທໍາ Soxhlet extraction ທີ່ອັດຮ່າງສ່ວນແປ້ງດີບຕ່ອຍາງຮຽນຮ່າຍເທົ່າກັນ 80/20 ອຸນຫຼຸມ 50°C ເວລາ 2 h ແລະ PPS 0.5 pph

ການແປ່ຽນ FTIR ອີກວິເຮີ້ນນີ້ແມ່ນ ການນຳເສັ້ນສເປັກຕົວມາຫັກລົບກັນ (subtraction) ລັກຫາກພອລິເມືອົບສົມຍັງຄອງມີຍາງຮຽນຮ່າຍເປັນອົງປະກອບຮ່າຍ ເມື່ອນຳສເປັກຕົວມອົງແປ້ງມັນສຳປະහັດໄປຫັກລົບອອກຈາກສເປັກຕົວມອົງພອລິເມືອົບສົມທີ່ທໍາການສັກດີເຂຍາງຮຽນຮ່າຍທີ່ໄມ່ເກີດກາງການການກົດໄປແປ້ງອອກໄປແລ້ວ ຈະປະກາງພຶກຂອງຍາງຮຽນຮ່າຍທີ່ຊ້ອນທັບກັນ

พีคของแบงมันสำปะหลัง เทคนิคนี้ประสบความสำเร็จในการตรวจสอบยางธรรมชาติในโพลิเมอร์ผสมที่ทำการ Soxhlet extraction ดังแสดงในรูปที่ 4.6 สเปกตรัม c เป็นผลลัพธ์จากการนำสเปกตรัมของแบงมันสำปะหลังหักลบออกจาก สเปกตรัมของเส้น b จะเห็นว่าสเปกตรัม c แสดงพีคที่ตำแหน่ง 2926, 2925 และ 2854 cm^{-1} ซึ่งเป็นพีคที่สำคัญและ เด่นชัดมากของยางธรรมชาติ ด้วยเทคนิคนี้แสดงให้เห็นว่าโพลิเมอร์ผสมมีกราฟท์โคโพลิเมอร์ระหว่างแบงมัน สำปะหลังและยางธรรมชาติเกิดขึ้น ข้อสรุปนี้จะยืนยันอีกครั้งโดยการตรวจสอบด้วยเทคนิค NMR ต่อไป ถึงแม้ว่า เทคนิค FTIR นี้มีข้อดีด้านการเตรียมตัวอย่างที่ไม่ยุ่งยาก แต่ผลการทดลองไม่เด่นชัดเท่าที่ควรสำหรับการวิจัย ดังนั้น การตรวจสอบการเกิดกราฟท์โคโพลิเมอร์ในโพมจะไม่ใช้เทคนิค FTIR



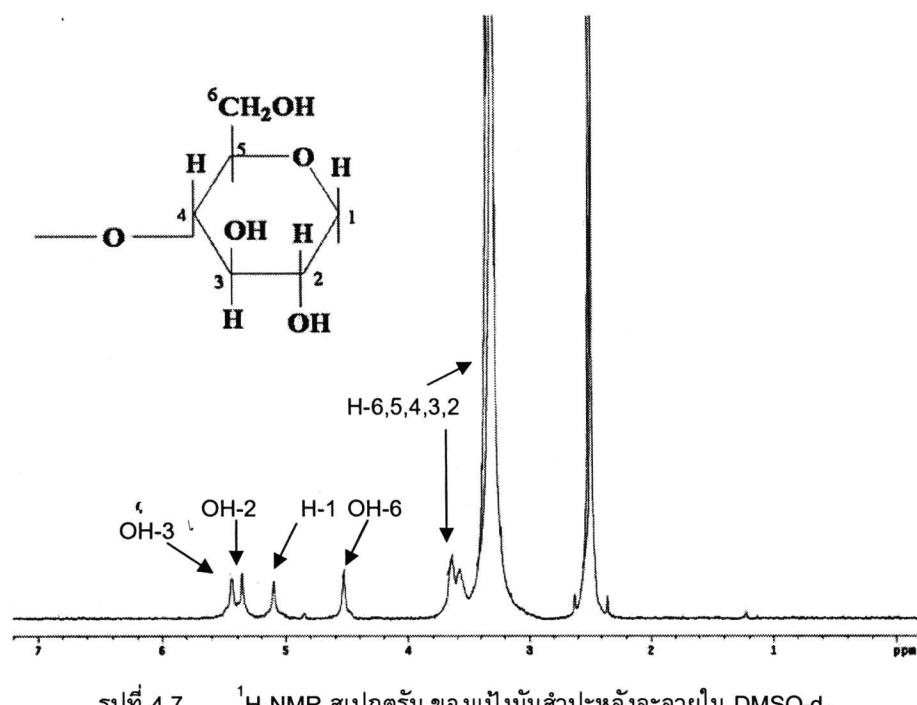
รูปที่ 4.6 FTIR สเปกตรัมของยางธรรมชาติ พอลิเมอร์ผสมก่อนทำ Soxhlet extraction และ พอลิเมอร์ผสมหลังทำ Soxhlet extraction และลบสเปกตรัมของแบงมันสำปะหลัง ที่อัตราส่วนแบ่งดินบดต่อยางธรรมชาติเท่ากับ 80/20 อุณหภูมิ 50 °C เวลา 2 h และ PPS 0.5 pph

4.3 ผลการตรวจสอบกราฟท์โคโพลิเมอร์ด้วยเทคนิคนิวเคลเลียร์แมกเนติกเรโซโนนنسเปกตรอสโกปี

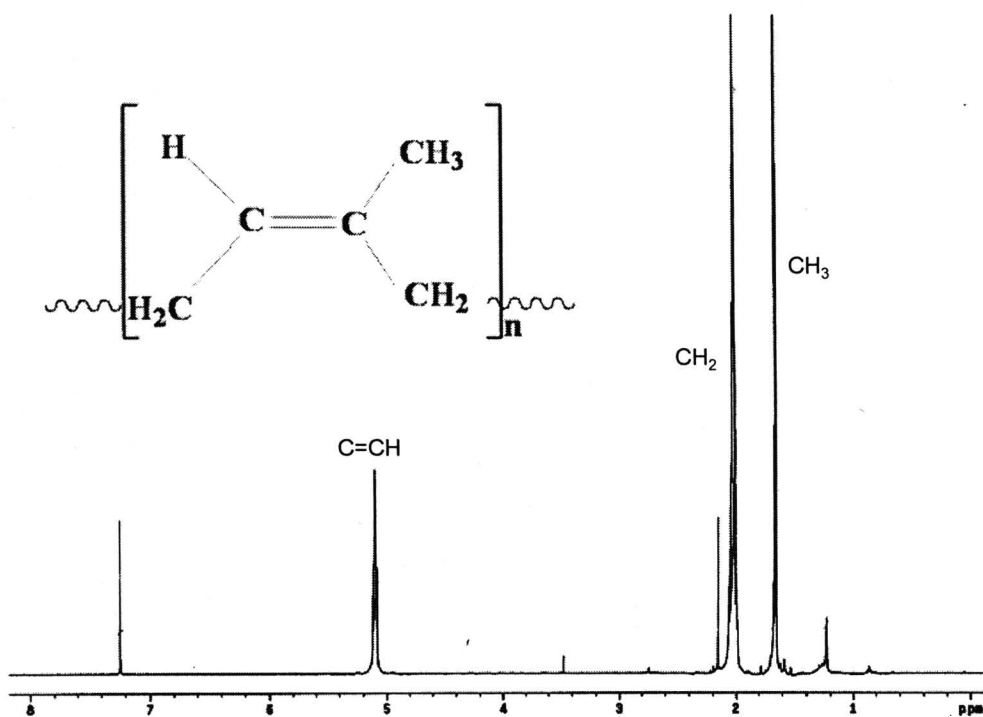
$^1\text{H-NMR}$ สเปกตรัมของแบงมันสำปะหลังที่ละลายใน DMSO-d_6 และยางธรรมชาติที่ละลายใน CDCl_3 แสดงใน รูปที่ 4.7 และ 4.8 ตามลำดับ กลุ่มสัญญาณของแบงมันสำปะหลังและยางธรรมชาติแสดงในตารางที่ 4.8 มีการซ้อนทับ กันที่ตำแหน่ง δ 5.10 ppm ของแบงมันสำปะหลังและยางธรรมชาติ แต่สัญญาณที่ตำแหน่งนี้เป็นลักษณะเด่นของยาง ธรรมชาติ และยังมีสัญญาณที่ตำแหน่งอื่นๆอีกหลายตำแหน่งของแบงมันสำปะหลังที่ไม่ได้ซ้อนทับกับยางธรรมชาติ ดังนั้น การซ้อนทับที่ตำแหน่งนี้จึงไม่เป็นปัญหาในการวิเคราะห์

รูปที่ 4.9 แสดง $^1\text{H-NMR}$ สเปกตรัมของพอลิเมอร์ผสมหลังทำ Soxhlet extraction แล้วและละลายในตัวทำ ละลายของแบง (DMSO- d_6) จะเห็นว่ามีลักษณะเหมือนกับรูปที่ 4.7 นั้นคือแบงมันสำปะหลัง ส่วนรูปที่ 4.10 เป็น สเปกตรัมจากตัวอย่างเดียวกันที่ละลายในตัวทำละลายของยางธรรมชาติ (CDCl_3) ซึ่งสเปกตรัมเส้นนี้ก็จะมีลักษณะ คล้ายกับรูปที่ 4.7 คือมีสัญญาณที่ตำแหน่ง 1.60 ppm และ 2.18 ppm แต่ไม่ใช่ลักษณะของยางธรรมชาติเนื่องจากไม่ ปรากฏพีคที่ตำแหน่ง 5.10 ppm โดยที่ตัวอย่างนี้เป็นพอลิเมอร์ผสมที่ไม่ได้เติม PPS ดังนั้น ถ้าหากมียางธรรมชาติผสม อยู่ด้วย จะต้องปรากฏพีคที่ตำแหน่ง 5.10 ppm เพราะการเกิดกราฟท์โคโพลิเมอร์นั้น ไม่ได้เกิดบนพันธุ์คู่ทุกพันธุ์ใน

โมเลกุลของยาง ผลการทดลองที่แสดงในรูปที่ 4.10 ยังยืนยันว่าการทำ Soxhlet extraction ในโครงการวิจัยนี้สามารถ สกัดยางธรรมชาติที่ไม่เกิดปฏิกิริยาออกไซได้หมดอย่างสมบูรณ์



รูปที่ 4.7 $^1\text{H-NMR}$ สเปกตรัม ของแป้งมันสำปะหลังละลายใน DMSO-d_6



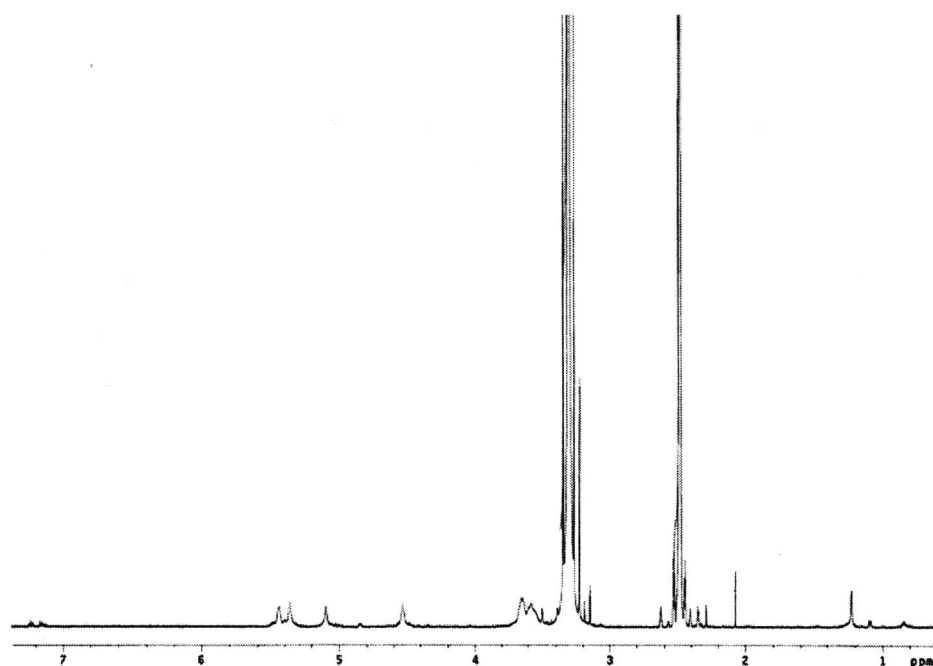
รูปที่ 4.8 $^1\text{H-NMR}$ สเปกตรัม ของยางธรรมชาติละลายใน CDCl_3

ตารางที่ 4.8 $^1\text{H-NMR}$ Assignment ของแป้งมันสำปะหลังและยางธรรมชาติวิเคราะห์ด้วยเทคนิค $^1\text{H-NMR}$

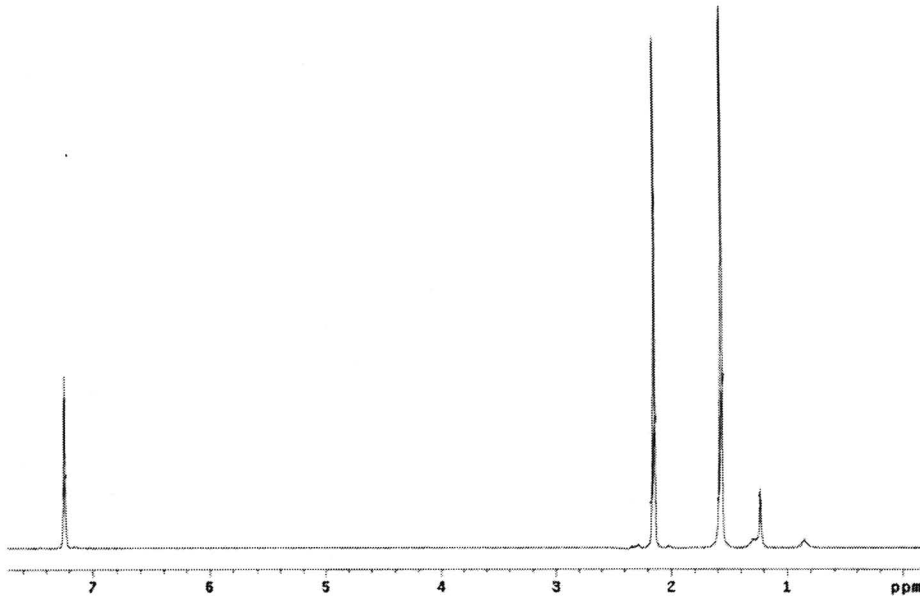
Sample	Solvent	^1H Assignment	Chemical shift (ppm)
Cassava starch (Chi <i>et al.</i> , 2008a)	DMSO-d ₆	H-1	5.10
		H-6 ^a ,5,4,3,2	3.65-3.30
		H-4 (end group)	3.07
		H-6 ^b	3.46
		OH-2	5.36
		OH-3	5.44
		OH-6	4.53
Natural rubber (Oliverira <i>et al.</i> , 2005)	CDCl ₃	C=CH	5.10
		CH ₂	2.01
		CH ₃	1.65

^a : H-6,6' (1-4 linkage)

^b : H-6,6' (1-6 linkage)

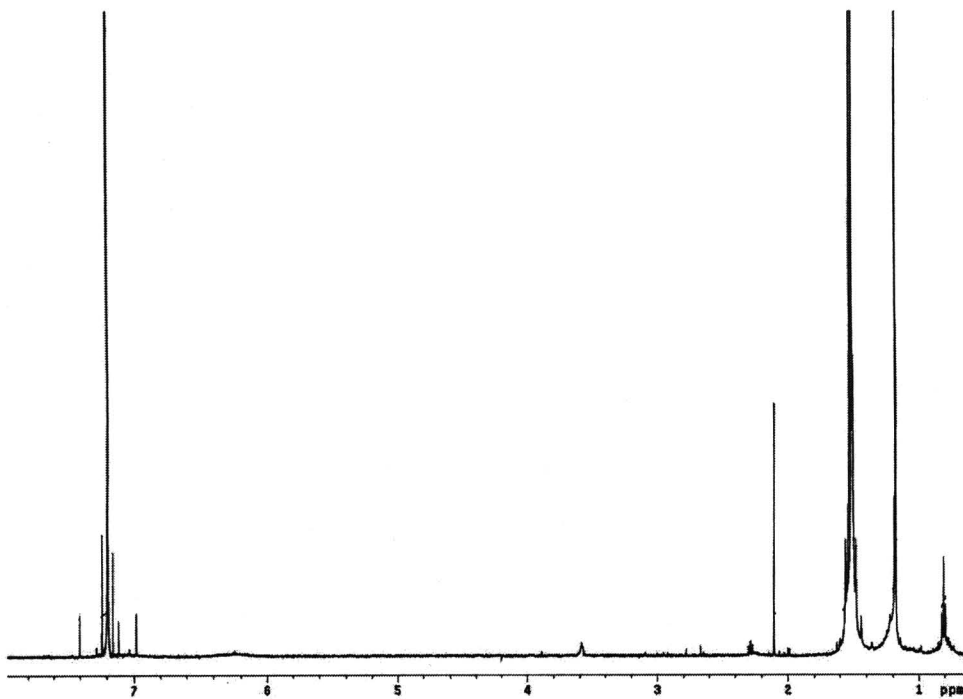


รูปที่ 4.9 $^1\text{H-NMR}$ สเปกตรัมของโพลิเมอร์สมที่ไม่เติม PPS หลังการทำ Soxhlet extraction โดยใช้ DMSO-d₆ เป็นตัวทำละลาย ที่อัตราส่วนแป้งดินบดต่อยางธรรมชาติเท่ากับ 80/20 อุณหภูมิ 50°C และเวลา 2 h



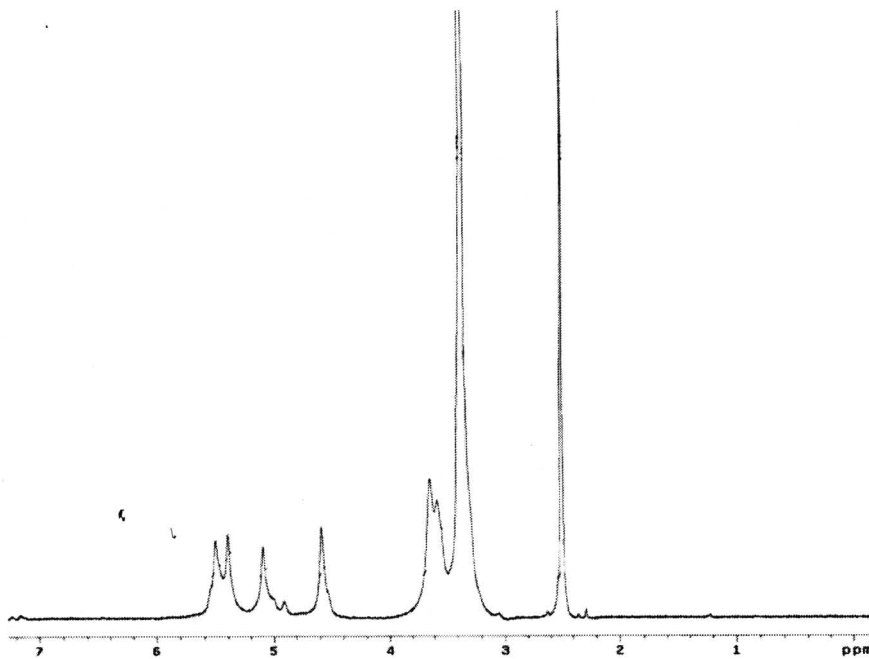
รูปที่ 4.10 ^1H -NMR สเปกตรัมของพอลิเมอร์สมที่ไม่เติม PPS หลังการทำ Soxhlet extraction โดยใช้ CDCl_3 เป็นตัวทำละลาย ที่อัตราส่วนแบ่งดีบต่ออย่างธรรมชาติเท่ากับ 80/20 อุณหภูมิ 50°C และเวลา 2 h

ทำการตรวจสอบลักษณะ ^1H -NMR สเปกตรัมของแบงมันสำปะหลังที่ผสมกับ CDCl_3 อีกครั้ง โดยเตรียมตัวอย่างดังนี้ ผสมแบงกับ CDCl_3 ทึ่งไว้เป็นเวลา 12 h กรองแบงออกโดยการไหลผ่านสำลี ได้ข้องเหลวใส นำไปวิเคราะห์ด้วยเทคนิค ^1H -NMR ผลการวิเคราะห์แสดงในรูปที่ 4.11 พบว่ามีลักษณะเช่นเดียวกันกับรูปที่ 4.10

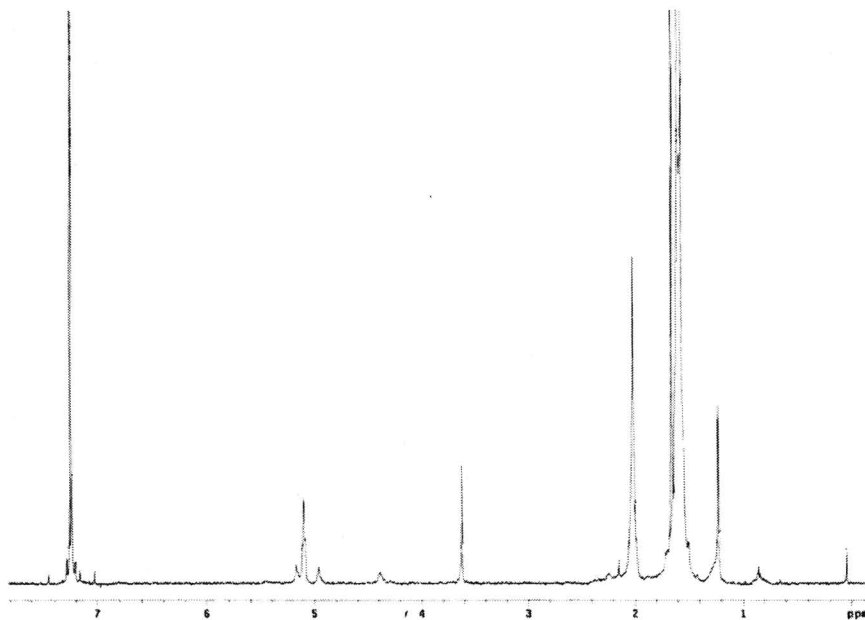


รูปที่ 4.11 ^1H -NMR สเปกตรัมของแบงมันสำปะหลัง ใช้ CDCl_3 เป็นตัวทำละลาย

นำพอลิเมอร์ผสมที่มีการเติม PPS และทำการสกัดเอายางธรรมชาติที่ไม่เกิดปฏิกิริยาออกไประลัยใน DMSO-d₆ และ CDCl₃ ผลการวิเคราะห์แสดงในรูปที่ 4.12 และ 4.13



รูปที่ 4.12 ¹H-NMR สเปกตรัมของพอลิเมอร์ผสมที่เติม PPS หลังการทำ Soxhlet extraction โดยใช้ DMSO-d₆ เป็นตัวทำละลาย ที่อัตราส่วนแบ่งดิบต้อยางธรรมชาติเท่ากับ 80/20 อุณหภูมิ 50°C เวลา 2 h และ PPS เท่ากับ 0.5 pph



รูปที่ 4.13 ¹H-NMR สเปกตรัมของพอลิเมอร์ผสมที่เติม PPS หลังการทำ Soxhlet extraction โดยใช้ CDCl₃ เป็นตัวทำละลาย ที่อัตราส่วนแบ่งดิบต้อยางธรรมชาติเท่ากับ 80/20 อุณหภูมิ 50°C เวลา 2 h และ PPS เท่ากับ 0.5 pph

สเปกตรัมในรูปที่ 4.12 มีลักษณะเหมือนกับสเปกตรัมของแป้งมันสำปะหลังในรูปที่ 4.7 ทุกประการ ส่วนสเปกตรัมในรูปที่ 4.13 แสดงลักษณะของยางธรรมชาติทึ้งสามตำแหน่ง จึงสรุปได้ว่ามีกราฟท์โคโพลิเมอร์เกิดขึ้นจริงในการทำปฏิกิริยาสังเคราะห์ที่ผ่านมา ผลการวิเคราะห์ด้วยเทคนิค ¹H-NMR สนับสนุนผลการวิเคราะห์ด้วยเทคนิค FTIR

โครงการวิจัยนี้ประสบความสำเร็จในการสังเคราะห์กราฟท์โคโพลิเมอร์ ระหว่างแป้งมันสำปะหลังและน้ำยางธรรมชาติ ตามทฤษฎี การเกิดกราฟท์โคโพลิเมอร์สมจะเกิดที่ผิวน้ำของพอลิเมอร์ และปริมาณการเกิดจะไม่มากนัก เนื่องจากว่ามีข้อจำกัดหลายประการในการนำส่วนที่สังเคราะห์นี้ไปใช้งาน จึงไม่มีความจำเป็นที่จะต้องตรวจสอบปริมาณการเกิดกราฟท์โคโพลิเมอร์ ส่วนผสมของแป้งและน้ำยางธรรมชาติที่แพร่ลงอยู่ในน้ำหลังการผสม จะเกิดการตกตะกอนเมื่อวางทิ้งไว้ข้ามคืน การเตรียมพอลิเมอร์ผสมต้องเลือจังด้วยน้ำเป็นจำนวนมาก ทำให้ไม่สามารถนำพอลิเมอร์ผสมที่ได้จากการสังเคราะห์มาใช้ในการขึ้นรูปเป็นโพลิเมอร์โดยตรง ถ้าไม่มีการทำจัดน้ำออกไป นอกเหนือนี้เมื่อกำการเติมแป้งลงไปในพอลิเมอร์ผสมหลังสังเคราะห์จะทำให้เกิดการจับตัวกันเป็นก้อน ระหว่างพอลิเมอร์ผสมและแป้งมันสำปะหลังที่เติมลงไป ไม่สามารถนำไปขึ้นรูปเป็นโพลิเมอร์ได้ เพราะมีการแยกเฟสระหว่างน้ำและของแข็ง แต่สันนิษฐานว่า น่าจะมีการเกิดกราฟท์โคโพลิเมอร์ในระหว่างการขึ้นรูปโพลิเมอร์แป้งมันสำปะหลังที่ผสมน้ำยางธรรมชาติ ที่เรียกว่า *in situ* graft copolymer ซึ่งจะกล่าวในภายหลัง

4.4 อิทธิพลของอุณหภูมิ เวลา และความดันที่ใช้ในการขึ้นรูปโพลิเมอร์แป้ง

การทดลองอุณหภูมนี้เป็นการทดลอง เพื่อต้องการหาสภาวะที่เหมาะสมในการขึ้นรูปโพลิเมอร์แป้ง โดยแปรอุณหภูมิตั้งแต่ 170-200°C เวลาตั้งแต่ 3-5 min และความดัน 0, 500, 1000, 1500 และ 2000 psi (0, 3.44, 6.89, 10.34, และ 13.78 MPa) ส่วนผสมที่ใช้ในการทดลองแสดงในตารางที่ 4.1 และลักษณะของโพลิเมอร์ที่เตรียมได้บรรยายในตารางที่ 4.9

การที่ผิวน้ำของโพลิเมอร์มีความชุ่มชื้น เมื่อมาจากการขึ้นรูปด้วยความดัน 500 psi และ 1000 psi มีลักษณะเหมือนกัน และมีความหนาไกล์เคียงกันมากที่สุด เมื่อเปรียบเทียบกับโพลิเมอร์ที่ได้จากการขึ้นรูปด้วยความดันอื่นๆ ส่วนโพลิเมอร์ที่ใช้ความดันในการขึ้นรูปเท่ากับ 0-2000 psi มีลักษณะไม่เหมาะสมต่อการนำไปเป็นชิ้นทดสอบ เพราะว่าที่ความดัน 0 psi โพลิเมอร์จะคงอ่อนและเสียรูป ที่ความดัน 1500 psi ได้โพลิเมอร์ที่มีผิวน้ำไม่เรียบและแผ่นโพลิเมอร์แต่ละแผ่นที่สกาวะการทดลองเดียวกันมีความหนาไม่เท่ากัน ที่ความดัน 2000 psi ได้โพลิเมอร์ที่มีลักษณะที่ความดันอื่นๆ และโพลิเมอร์แต่ละแผ่นมีความหนาไม่เท่ากัน ดังนั้นจึงเลือกโพลิเมอร์แป้งที่ขึ้นรูปด้วยความดันเท่ากับ 500 psi และ 1000 psi เพื่อนำไปทดสอบหาค่าความหนาแน่นและสมบัติความทนต่อแรงดึงดูดในตารางที่ 4.10

ตารางที่ 4.9 ลักษณะของโพลิเมอร์แป้งที่ได้จากการขึ้นรูปด้วยอุณหภูมิ เวลา และความดันแตกต่างกัน

Baking temperature (°C)	Baking time (min)	Baking pressure (psi)	Apparence
170	3	1000	โพลิเมอร์ที่ได้แข็งเประ บิดเบี้ยว โครงสร้างเสียรูป บางส่วนของแผ่นโพลิเมอร์

	4 และ 5	1000	โฟมที่ได้แข็งเปราะ ไม่คงงอ มีความหนาเสมอทั่วทั้งแผ่น ผิวน้ำบางจุดขุรขะ สีคล้ำกว่าที่ 500 psi สีของโฟมที่ได้คล้ำขึ้นตามเวลาที่ใช้ในการอบ แผ่นโฟมที่ได้สามารถเตรียมเป็นชิ้นทดสอบได้
180	4	0	โฟมที่ได้แข็งเปราะ บิดเบี้ยว โค้งงอ เสียรูป บางส่วนของแผ่นโฟมขาดตัว ความหนาของแผ่นโฟมที่ได้ไม่สม่ำเสมอ ผิวน้ำไม่เรียบ (ขุรขะ) ไม่สามารถเตรียมเป็นชิ้นทดสอบได้
		500	โฟมที่ได้แข็งเปราะ โค้งงอ เสียรูป ความหนาไม่สม่ำเสมอทั่วทั้งแผ่น บางจุดมีผิวน้ำไม่เรียบสม่ำเสมอ ไม่สามารถเตรียมเป็นชิ้นทดสอบได้
		1500	โฟมที่ได้แข็งเปราะ โฟมไม่คงงอ มีความหนาสม่ำเสมอทั่วทั้งแผ่น โฟมแต่ละแผ่นมีความหนาแตกต่างกันเล็กน้อย และผิวน้ำของโฟมบางจุดไม่สม่ำเสมอ (ขุรขะเล็กน้อย) สีของโฟมคล้ำกว่าที่ 500 psi ที่เวลาเดียวกัน แผ่นโฟมสามารถเตรียมเป็นชิ้นทดสอบได้
		2000	โฟมที่ได้แข็งเปราะ ความหนาสม่ำเสมอทั่วทั้งแผ่น ผิวน้ำเรียบน้อยกว่า สีคล้ำกว่า และบางกว่าที่ 1000 psi ไม่เหมาะสมที่นำมาทำเป็นชิ้นทดสอบ
		500	โฟมที่ได้แข็งเปราะ มีความหนาสม่ำเสมอทั่วทั้งแผ่น บางแผ่นผิวน้ำไม่ค่อยเรียบสม่ำเสมอ (ขุรขะ) สีคล้ำกว่าที่ 4 min ที่ความดันเดียวกัน แผ่นโฟมที่ได้สามารถเตรียมเป็นชิ้นทดสอบได้
190	3	1000	โฟมที่ได้แข็งเปราะ โค้งงอเล็กน้อย ความหนาของแผ่นโฟมไม่สม่ำเสมอเป็นบางจุด ผิวน้ำไม่เรียบเป็นบางจุด (ขุรขะ) แผ่นโฟมที่ได้มีลักษณะที่ไม่เหมาะสมจะนำมาทำเป็นชิ้นทดสอบ
	4 และ 5	500	โฟมที่ได้แข็งเปราะ ความหนาสม่ำเสมอทั่วทั้งแผ่น แต่บางจุดผิวน้ำไม่เรียบ (เล็กน้อยมาก) สีของโฟมคล้ำขึ้นตามเวลาที่ใช้ในการอบ แผ่นโฟมที่ได้สามารถเตรียมเป็นชิ้นทดสอบได้
	4 และ 5	1000	โฟมที่ได้แข็งเปราะ ความหนาสม่ำเสมอทั่วทั้งแผ่น บางจุดผิวน้ำไม่เรียบ (ขุรขะเล็กน้อย) สีคล้ำกว่าที่ 500 psi ที่เวลาเท่ากัน สีของโฟมที่ได้คล้ำขึ้นตามเวลาที่ใช้ในการอบ แผ่นโฟมที่ได้สามารถเตรียมเป็นชิ้นทดสอบได้
200	3, 4 และ 5	1000	โฟมที่ได้แข็งเปราะ มีความหนาสม่ำเสมอทั่วทั้งแผ่น ผิวน้ำบางส่วน ไม่ค่อยเรียบสม่ำเสมอ (ขุรขะเล็กน้อย) สีคล้ำกว่าแผ่นโฟมที่ขึ้นรูปที่ 180°C สีของโฟมที่ได้คล้ำขึ้นตามเวลาที่ใช้ในการอบ แผ่นโฟมที่ได้สามารถเตรียมเป็นชิ้นทดสอบได้
200	3, 4 และ 5	1000	โฟมที่ได้แข็งเปราะ แผ่นโฟมมีความหนาไม่สม่ำเสมอเป็นบางจุด และผิวน้ำไม่เรียบ สีของโฟมที่ได้คล้ำกว่าทุกอุณหภูมิที่กล่าวมา แผ่นโฟมที่ได้สามารถเตรียมเป็นชิ้นทดสอบได้

ค่าความหนาแน่นของโฟมแบ่งมีค่าใกล้เคียงกัน และที่อุณหภูมิ 180°C แสดงความแตกต่างความหนาแน่น



มากกว่าที่อุณหภูมิอื่น ส่วนค่ามอดูลัส (flexural modulus, E) ค่าความดันสูงสุด (maximum stress, σ_{max}) และค่าความเครียด ณ ความดันสูงสุด (ϵ_{max}) ของโฟมแบ่งที่ขึ้นรูปในสภาวะต่างๆนี้ มีค่าใกล้เคียงกันเช่นกัน โฟมแบ่งที่ได้มีลักษณะแข็งเปราะและไม่มีจุดคราบ แต่เมื่อพิจารณาลักษณะทางกายภาพที่สังเกตได้ พบว่าอุณหภูมิมีอิทธิพลต่อตัวอย่างโฟมที่เตรียมได้ เพราะโฟมมีความแตกต่างอย่างชัดเจนคือ การขึ้นรูปที่อุณหภูมิ 200°C โฟมแบ่งมีสีคล้ำมาก ที่สุดซึ่งจะไม่ใช้อุณหภูมนี้ต่อไป ส่วนที่อุณหภูมิ 190°C โฟมมีสีคล้ำกว่าที่ 180°C และเมื่อพิจารณาโฟมแบ่งที่อุณหภูมิ 170°C พบว่าเกิดการบิดเบี้ยวและดองงอเมื่อนำมาโฟมออกจากแม่แบบ ไม่เหมาะสมสำหรับการเตรียมเป็นชิ้นทดสอบ ดังนั้น จึงเลือกใช้อุณหภูมิในการขึ้นรูปโฟมแบ่งเท่ากับ 180°C สำหรับการทดลองตั้งแต่นี้ต่อไป แต่ยังคงทำการประปริมาณเวลาที่ใช้ในการอบเท่ากับ 4 min และ 5 min และความดันเท่ากับ 500 psi และ 1000 psi

ตารางที่ 4.10 ความหนาแน่นและสมบัติความทนต่อแรงดัดໂคงของโฟมแบ่ง ที่สภาวะในการขึ้นรูปต่างๆกัน ภายใต้ 40 %RH และระยะเวลาในการเก็บ 7 วัน

$T(^{\circ}\text{C})/ t(\text{min})/ P(\text{psi})$	Density (g/cm^3)	E (MPa)	σ_{max} (MPa)	ϵ_{max} (%)
170/4/500	0.1634 ± 0.0102	114 ± 26	1.52 ± 0.27	1.03 ± 0.30
170/5/500	0.1598 ± 0.0191	165 ± 19	1.74 ± 0.32	1.22 ± 0.25
170/4/1000	0.1648 ± 0.0067	132 ± 7	1.30 ± 0.24	1.71 ± 0.22
170/4/1000	0.1651 ± 0.0143	144 ± 19	1.20 ± 0.43	1.42 ± 0.26
180/4/500	0.1323 ± 0.0134	103 ± 25	0.95 ± 0.23	1.37 ± 0.18
180/5/500	0.2067 ± 0.0189	143 ± 24	1.73 ± 0.31	1.63 ± 0.30
180/4/1000	0.1571 ± 0.0031	207 ± 67	2.00 ± 0.37	1.16 ± 0.35
180/5/1000	0.1434 ± 0.0259	180 ± 69	1.68 ± 0.48	1.32 ± 0.40
190/3/500	0.1697 ± 0.0175	114 ± 41	1.08 ± 0.23	1.36 ± 0.41
190/4/1000	0.1841 ± 0.0198	208 ± 54	1.92 ± 0.51	1.28 ± 0.41
190/5/1000	0.1699 ± 0.0108	164 ± 25	2.00 ± 0.42	1.75 ± 0.33

$T(^{\circ}\text{C})/ t(\text{min})/ P(\text{psi}) = \text{เวลา}/\text{oุณหภูมิ}/\text{ความดัน}$

4.5 อิทธิพลของกลีเซอรอลต่อความหนาแน่นและสมบัติความทนต่อแรงดัดໂคงของโฟมแบ่ง

ศึกษาอิทธิพลของกลีเซอรอลต่อการเตรียมและสมบัติเชิงกลของโฟมแบ่ง โดยแปรปริมาณกลีเซอรอลตั้งแต่ 0-20 pph (ส่วนต่อ 100 ส่วนของแบ่งโดยน้ำหนัก) และใช้สารฟู คือ โซเดียมไบคาร์บอเนตเท่ากับ 0.1 pph ขึ้นรูปที่อุณหภูมิ 180°C เป็นเวลา 4 min และ 5 min ภายใต้ความดัน 500 psi และ 1000 psi จากการทดลองพบว่าโฟมแบ่งที่ไม่เติมกลีเซอรอล (0 pph) ในทุกสภาวะการขึ้นรูปหลังนำโฟมออกจากแม่แบบ ผิวน้ำของโฟมมีรอยแตกเกิดขึ้นเนื่องจากโดยธรรมชาติของแบ่งที่มีสมบัติแข็งเปราะ น้ำที่เติมลงไปในขั้นตอนการเตรียมโฟมไม่สามารถทำหน้าที่เป็นพลาสติไซเรอร์ได้ เพราะการทดลองใช้อุณหภูมิสูงในการทำเป็นโฟม ทำให้น้ำระเหยออกไปอย่างรวดเร็วเมื่อได้รับความร้อนในการทำให้เกิดโฟม จึงส่งผลให้โฟมมีความเปราะและเกิดรอยแตกที่ผิวน้ำดังกล่าวเกิดขึ้น โฟมที่ไม่เติมกลีเซอรอลไม่สามารถนำมาเตรียมเป็นชิ้นทดสอบได้ มีการใช้กลีเซอรอลเป็นพลาสติไซเรอร์ของแบ่งอยู่ทั่วไป และปริมาณกลีเซอรอลมีผลต่อการขึ้นรูปและสมบัติเชิงกลของแบ่งด้วยเช่นกัน การเติมกลีเซอรอลช่วยทำให้แกะโฟมออก

จากแม่แบบได้จ่าย ผิวน้ำของดฟมไม่มีรอยแตก การติดกลีเซอรอลปริมาณ 15 pph และ 20 pph ทำให้ฟมเสียรูปหลังสัมผัสกับความชื้นที่สภาวะบรรยายกาศปกติ แผ่นฟมมีลักษณะบิดเบี้ยว โค้งงอ และพองอากาศภายในฟมแป้งยุบตัว ไม่สามารถเตรียมฟมแป้งดังกล่าวเป็นชั้นทดสอบได้ เนื่องจากกลีเซอรอลเป็นสารซ่อนน้ำ การติดในปริมาณมากเกินไปจะทำให้ฟมดูดความชื้นในอากาศได้มากขึ้น ซึ่งแป้งก็เป็นพอลิเมอร์ที่ดูดความชื้นในอากาศได้ เช่นเดียวกัน โดยทั่วไปการเตรียมเทอร์โมพลาสติกสตาร์ชนิยมเดิมกลีเซอรอลประมาณ 15 pph ขึ้นไป แต่เนื่องจากโครงการวิจัยนี้ทำการเตรียมแผ่นฟม การที่ผังเซลล์ของโครงสร้างฟมไม่แข็งแรง ยุบตัวง่าย ถึงแม้จะได้เทอร์โมพลาสติกสตาร์ที่เหนียวขึ้นก็ตาม ไม่มีความเหมาะสมในการทำเป็นฟมกันเกราะแทน เมื่อลดปริมาณกลีเซอรอลเป็น 5 pph และ 10 pph จะได้แผ่นฟมที่มีความแข็งแรงมากขึ้น ยังคงลักษณะความเป็นฟมอยู่ ดังนั้นจึงเลือกฟมแป้งที่มีปริมาณกลีเซอรอลเท่ากับ 5 pph และ 10 pph ทดสอบหาค่าความหนาแน่นและสมบัติความทนต่อแรงดัดคง ผลการทดลองแสดงในตารางที่ 4.11

ตารางที่ 4.11 อิทธิพลของปริมาณกลีเซอรอลต่อความหนาแน่นและสมบัติความทนต่อแรงดัดคงของฟมแป้ง ที่เก็บไว้ 7 วัน ภายใต้ความชื้นสัมพัทธ์ 40%

Glycerol content (pph)	Baking time (min)	Baking pressure (psi)	Density (g/cm ³)	E (MPa)	σ_{max} (MPa)	ϵ_{max} (%)
5	4	1000	0.1961 ± 0.0349	149 ± 28	1.99 ± 0.53	1.68 ± 0.47
	5	500	0.1958 ± 0.0058	154 ± 27	2.74 ± 0.61	2.58 ± 0.24
		1000	0.1777 ± 0.0134	155 ± 28	2.35 ± 0.47	2.15 ± 0.52
10	4	1000	0.1364 ± 0.0190	135 ± 31	1.88 ± 0.43	1.89 ± 0.40
	5	500	0.1417 ± 0.0111	119 ± 12	1.66 ± 0.28	2.05 ± 0.47
		1000	0.1314 ± 0.0136	115 ± 16	1.74 ± 0.21	2.07 ± 0.43

เมื่อติดกลีเซอรอลปริมาณ 5 pph ความหนาแน่นอยู่ในช่วง 0.1777-1.1961 g/cm³ มีแนวโน้มลดลงเมื่อใช้เวลาในการอบนานขึ้นหรือใช้ความดันมากขึ้น แต่เมื่อใช้ปริมาณกลีเซอรอลเพิ่มขึ้นเป็น 10 pph ค่าความหนาแน่นลดลงอยู่ในช่วง 0.1313-0.1417 g/cm³ ผลของเวลาและความดันมีแนวโน้มเดียวกันกับที่ใช้ 5 pph การใช้เวลาอบนานขึ้นหรือใช้ความดันเพิ่มขึ้นช่วยทำให้สารฟูแทกตัวได้ดีขึ้น เกิดเป็นฟองอากาศได้มากขึ้นความหนาแน่นจึงลดลง การเพิ่มปริมาณกลีเซอรอลทำให้แป้งมีลักษณะยืดหยุ่นมากขึ้น เพราะกลีเซอรอลเป็นพลาสติไซเซอร์ของแป้งจึงทำให้แป้งเกิดเป็นฟมได้ง่ายขึ้นความหนาแน่นจึงลดลง ถึงแม้ว่าการเพิ่มปริมาณกลีเซอรอลเป็น 10 pph จะทำให้ความหนาแน่นลดลง แต่ทำให้มอดุลสแรงดัดคงและความเค้นสูงสุดของฟมแป้งมีค่าลดลงเช่นเดียวกัน แป้งและกลีเซอรอลมีหมูไฮดรอกซิลที่มีความสามารถในการดูดซับความชื้น ทำให้ฟมแป้งดูดซับความชื้นในอากาศได้มากขึ้นเมื่อปริมาณกลีเซอรอลเพิ่มขึ้น จากการวิจัยที่ผ่านมา (Lourdin et al., 1995) พบว่าเมื่อติดกลีเซอรอลลงในแป้งประมาณ 12 wt% ทำให้อุณหภูมิกลางแทรกซิชัน (T_g) และสมบัติเชิงกลของประการของแป้งลดลง แต่เมื่อปริมาณกลีเซอรอลเพิ่มขึ้นมากกว่า 12 wt% ทำให้เกิดการกระบวนการต้านพลาสติไซเซชัน (antiplasticization) เพราะแป้งและกลีเซอรอลเกิดเป็นโครงสร้างตาข่ายเนื่องจากเกิดพันธะไฮดรอกซิลกับหมูไฮดรอกซิลของแป้ง ทำให้แป้งเกิดการเคลื่อนไหวโมเลกุลได้ยากขึ้น นอกจากนี้ เมื่อปริมาณของกลีเซอรอลเพิ่มมากขึ้น ทำให้ความหนืดของแป้งและส่วนผสมลดลง ส่งผลให้กระบวนการกิดพลาสติไซเซชันของแป้งและกลีเซอรอลยากขึ้น เพราะแรงนื้อนที่ใช้ในการผสมลดลงทำให้ผสมเข้ากันได้ยากมากขึ้น (Ro'z et al., 2006) ส่วนค่า E ของฟมแป้งที่มีกลีเซอรอล 5 pph มีค่าอยู่ในช่วง 149-155 MPa ในขณะที่ฟมแป้งที่มีกลีเซอร-

รอล 10 pph จะมีค่า E อยู่ในช่วง 115-135 MPa แต่เนื่องจากปริมาณแก๊สเชอรอลที่ใช้มีปริมาณน้อย (5-10 pph) จึงทำให้ฟومแป้งมีลักษณะเปร่า ค่า σ_{max} และ ϵ_{max} ของตัวอย่างหั้งสองมีค่าใกล้เคียงกัน แต่ฟอมที่มีก๊าซเชอรอล 5 pph มีค่า σ_{max} สูงกว่าเล็กน้อย ดังนั้นจึงเลือกใช้ก๊าซเชอรอล 5 pph ในการเตรียมฟومแป้งสำหรับการทดลองตั้งแต่นี้ต่อไป

4.6 อิทธิพลของปริมาณสารฟูต่อความหนาแน่นและสมบัติความทันต่อแรงดัดโถงของฟومแป้ง

ศึกษาอิทธิพลของปริมาณสารฟู โดยเลือกใช้สารฟูชนิดโซเดียมไบคาร์บอนेट (sodium bicarbonate, NaHCO₃) สภาพที่ใช้ในการขึ้นรูปเท่ากับ 180°C เป็นเวลา 4 min และ 5 min ภายใต้ความดัน 500 psi และ 1000 psi に対するปริมาณโซเดียมไบคาร์บอนे�ต ดังแต่ 0-0.5 pph และใช้ก๊าซเชอรอลเท่ากับ 5 pph เนื่องจากยังไม่สามารถสรุปสภาวะการขึ้นรูปฟومได้ จึงเลือกสภาวะการขึ้นรูปดังกล่าวข้างต้นในการศึกษาอิทธิพลของสารฟูชนิดโซเดียมไบคาร์บอนे�ตต่อความหนาแน่นและสมบัติเชิงกลของฟومแป้ง โดยที่สารฟูชนิดนี้สามารถแตกตัวและปล่อยก๊าซออกมайд้วยอุณหภูมิ 140°C ปริมาณก๊าซที่ปล่อยออกมายังเท่ากับ 260 ml/g (สมศักดิ์, 2547)

ผลการทดลองการแปรปริมาณโซเดียมไบคาร์บอนे�ตแสดงในตารางที่ 4.12 พบว่าเมื่อขึ้นรูปที่ความดัน 1000 psi เป็นเวลา 4 min ความหนาแน่นของฟومมีแนวโน้มเพิ่มขึ้นเมื่อปริมาณโซเดียมไบคาร์บอนे�ตเพิ่มขึ้น ความหนาแน่นของฟومเมื่อเติมสารฟูอยู่ในช่วง 0.1628-0.1816 g/cm³ ฟومที่มีสารฟูมีความหนาแน่นสูงกว่าฟومที่ไม่มีสารฟู เล็กน้อย แต่ยังจัดได้ว่ามีความหนาแน่นอยู่ในช่วงใกล้เคียงกัน เมื่อใช้เวลาในการขึ้นรูปเป็น 5 min ความหนาแน่นของฟومกลับมีแนวโน้มลดลงเมื่อมีสารฟูเพิ่มขึ้น และมีค่าความหนาแน่นอยู่ในช่วง 0.1754-0.1839 g/cm³ การเติมสารฟูทำให้ความหนาแน่นเพิ่มขึ้นจาก 0.1582 g/cm³ ไปเป็น 0.1961-0.2022 g/cm³ การที่ความหนาแน่นเพิ่มขึ้นเมื่อเติมสารฟู อาจเนื่องมาจากการดันที่ใช้ในการขึ้นรูปฟومค่อนข้างน้อย (500 psi) ทำให้สารฟูชนิดนี้แตกตัวและปล่อยก๊าซได้น้อยจึงทำให้เกิดเป็นฟومได้ยาก กว่าการใช้ความดันสูง (1000 psi) การอัดที่เวลานานกว่า (5 min) อาจทำให้สารฟูมีเวลาปลดปล่อยก๊าซได้นานกว่าจึงทำให้เกิดเป็นฟومได้ง่ายกว่า ส่งผลให้ความหนาแน่นลดลงเมื่อใช้เวลาในการอบที่สูงกว่า เมื่อพิจารณาสมบัติความทันต่อแรงดัดโถง พบว่าฟومมีลักษณะเปร่า ไม่มีจุดครากเหมือนกันทุกสภาวะการทดลอง สมบัติเชิงกลของฟومมีความสัมพันธ์กับความหนาแน่น ฟومที่มีความหนาแน่นสูงจะมีความแข็งแรงสูงกว่าฟومที่มีความหนาแน่นต่ำ ถึงแม้ว่าความหนาแน่นของฟومที่แสดงในตารางที่ 4.12 จะมีค่าแตกต่างกัน แต่จัดได้ว่ามีค่าอยู่ในช่วงเดียวกันหรือแตกต่างกันเพียงเล็กน้อยเท่านั้น ค่าต่างๆของสมบัติความทันต่อแรงดัดโถงแต่ละค่า (E , σ_{max} และ ϵ_{max}) ไม่เปลี่ยนแปลงอย่างมีนัยสำคัญเมื่อใช้สภาวะการขึ้นรูปต่างกันและปริมาณสารฟูต่างกัน แต่เป็นที่สังเกตว่าฟومที่มีโซเดียมไบคาร์บอนे�ตปริมาณ 0.1 pph และขึ้นรูปที่ 1000 psi เป็นเวลา 5 min มีค่าความเค้นสูงสุด (σ_{max}) สูงที่สุด เนื่องจากความหนาแน่นและสมบัติความทันต่อแรงดัดโถงของฟومเหล่านี้มีค่าใกล้เคียงกัน จึงใช้ลักษณะทางกายภาพของฟومที่สังเกตได้เป็นเกณฑ์ประกอบการพิจารณา ฟومที่ไม่มีโซเดียมไบคาร์บอนे�ตจะมีลักษณะสีขาว ฟومจะมีสีคล้ำมากขึ้นเมื่มีโซเดียมไบคาร์บอนे�ตมากขึ้น ดังนั้น การเตรียมฟومสำหรับการทดลองต่อไป จะเติมโซเดียมไบคาร์บอนे�ตปริมาณ 0.1 pph เพราะมีสีคล้ำขึ้นเล็กน้อยเท่านั้น และการเติมโซเดียมไบคาร์บอนे�ตช่วยทำให้การเตรียมเป็นฟومง่ายกว่าและดีกว่าฟومที่ไม่มีการเติมโซเดียมไบคาร์บอนे�ต สภาวะการอบที่ความดัน 1000 psi เป็นเวลา 5 min ให้ค่าความเค้นสูงสุดและความเครียดมากที่สุด ดังนั้นจะเลือกใช้สภาวะการขึ้นรูปนี้สำหรับเตรียมฟومในการทดลองต่อไป จากการทดลองการขึ้นรูปฟومแป้งพบว่าเมื่อแป้งได้รับความชื้นจะทำให้ฟومแป้งมีความอ่อนแอและเสียรูป จึงทำการปรับปรุงข้อด้อยดังกล่าวของฟومแป้ง โดยทำการเติมน้ำยางธรรมชาติตลึงไปผสมกับฟومแป้งที่ได้ ส่วนผสมที่ใช้ในการเตรียมฟومแป้งเพื่อผสมกับน้ำยางธรรมชาติแสดงในตารางที่ 3.1

ตารางที่ 4.12 อิทธิพลของปริมาณโซเดียมไบคาร์บอเนตต่อความหนาแน่นและสมบัติความทนต่อแรงดัดໂຄ้งของฟอยล์แพ็คที่เก็บไว้ 7 วัน ภายใต้ความชื้นสัมพัทธ์ 40%

Baking Pressure (psi)	Baking Time (min)	Sodium bicarbonate (pph)	Density (g/cm ³)	E (MPa)	σ_{max} (MPa)	ϵ_{max} (%)
1000	4	0	0.1501 ± 0.0131	112 ± 20	1.47 ± 0.42	2.66 ± 0.43
		0.1	0.1628 ± 0.0209	168 ± 30	2.00 ± 0.40	1.47 ± 0.30
		0.3	0.1999 ± 0.0485	191 ± 37	2.25 ± 0.59	1.69 ± 0.61
		0.5	0.1816 ± 0.0137	178 ± 42	1.93 ± 0.50	1.33 ± 0.36
	5	0	0.2069 ± 0.0377	179 ± 47	2.29 ± 0.91	1.92 ± 0.65
		0.1	0.1839 ± 0.0168	187 ± 35	3.05 ± 0.78	2.27 ± 0.50
		0.3	0.1719 ± 0.0145	181 ± 64	2.70 ± 0.75	1.60 ± 0.32
		0.5	0.1754 ± 0.0063	185 ± 42	2.70 ± 0.71	1.54 ± 0.58
500	5	0	0.1582 ± 0.0100	149 ± 27	2.36 ± 0.73	2.62 ± 1.27
		0.1	0.1961 ± 0.0222	200 ± 38	2.79 ± 0.62	1.69 ± 0.28
		0.3	0.1984 ± 0.0391	182 ± 38	2.66 ± 0.62	1.38 ± 0.46
		0.5	0.2022 ± 0.0189	163 ± 53	1.82 ± 0.63	1.83 ± 0.39

4.7 อิทธิพลของปริมาณยางธรรมชาติต่อความหนาแน่น สมบัติเชิงกล และสัณฐานวิทยาของฟอยล์แพ็ค

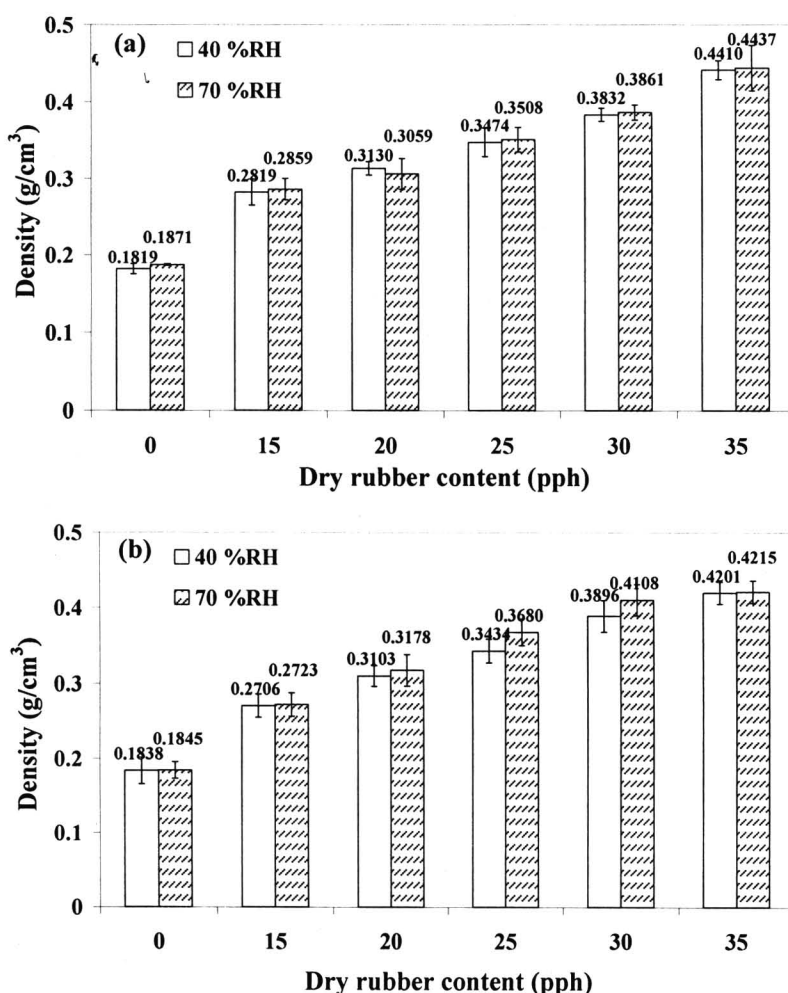
การทดลองครุภัณฑ์นี้เป็นการศึกษาอิทธิพลของปริมาณยางธรรมชาติ ที่มีต่อความหนาแน่นและสมบัติเชิงกลของฟอยล์ ผสมระหว่างแพ้งมันสำปะหลัง โดยแปรปริมาณยางธรรมชาติเท่ากับ 0-35 pph (ส่วนต่อ 100 ส่วนของแพ้งมันสำปะหลัง โดยน้ำหนัก) ตรวจสอบอิทธิพลของระยะเวลาที่ใช้ในการเก็บ 2 วัน และ 7 วัน และตรวจสอบอิทธิพลของความชื้นสัมพัทธ์ที่ 40% และ 70% กำหนดเรียกว่าความชื้นสัมพัทธ์ที่น้อยกว่าหรือเท่ากับ 40% ว่าความชื้นสัมพัทธ์ต่ำ (low relative humidity) และความชื้นสัมพัทธ์ที่สูงกว่า 40% เรียกว่าความชื้นสัมพัทธ์สูง (high relative humidity) เนื่องจากแพ้งและก๊าซเชอรอลเป็นสารที่ชอบน้ำ ดังนั้น จึงทำการทดสอบภายใต้การเก็บไว้ที่ความชื้นสัมพัทธ์ต่างกันและเก็บเป็นเวลาต่างกัน

กระบวนการกลایเป็นฟอยล์ของแพ้งและส่วนผสมที่มีน้ำเป็นส่วนประกอบ ในแม่แบบที่ร้อนมีขั้นตอนในการเกิดเป็นฟอยล์หลายขั้นตอนด้วยกันคือ การให้ความร้อนแก่แพ้งและส่วนผสมด้วยอุณหภูมิที่สูงกว่าอุณหภูมิที่ทำให้แพ้งเกิดเจล (gelatinization) เป็นอุณหภูมิที่สูงกว่าจุดเดือดของน้ำ หรืออุณหภูมิที่ทำให้สารฟูสลายให้ก้าชได้ จากนั้นเมื่อแพ้งเกิดเป็นเจลจะมีความหนืดเพิ่มขึ้น น้ำที่เป็นส่วนประกอบจะระเหยออกที่บริเวณขอบของแม่แบบ ทำให้แพ้งกลایเป็นโครงอากาศ เมื่อน้ำระเหยออกไปหมดโครงอากาศดังกล่าวแห้งจึงได้เป็นลักษณะฟอยล์ออกมา ฟอยล์ที่เพิ่งออกจากแม่แบบมีความชื้นประมาณ 2-4% (Shogren et al., 1998a; Soykeabkaew et al., 2004; Kiatkamjornwong et al., 2001) เมื่อแพ้งและส่วนผสมได้รับความร้อนแพ้งมีความหนืดเพิ่มขึ้น ทำให้แพ้งมีลักษณะการไหลเฉพาะตัว (rheological characteristic) แพ้งที่หนีดจะมีความแข็งแรงอิเลสติก (elastic strength) ในระดับหนึ่งซึ่งเพียงพอต่อการทำให้เกิดการขยายตัวกลัยเป็นโครงอากาศเมื่อน้ำระเหยออกไป ซึ่งเมื่อโครงอากาศหายไปโครงอากาศจะดูพร้อมกัน จะทำให้โครงอากาศเชื่อมติดกันกลัยเป็นลักษณะเซลล์ปิด (Shogren et al., 1998a) และในการขึ้นรูปฟอยล์แพ้งด้วยวิธีการอบน้ำ ปริมาณส่วนผสมที่ใส่ลงไปในแม่แบบมีความสำคัญในการทำให้เกิดเป็นฟอยล์ เพราะถ้าปริมาณส่วนผสมที่

ใส่ลงไปในแม่แบบน้อยเกินไป จะไม่สามารถขึ้นรูปให้กับลายเป็นโฟมได้ เพราะมีความดันไม่เพียงพอ (Cinelli *et al.*, 2005; Lawton *et al.*, 1999; Lawton *et al.*, 2004) หรือถ้าหากส่วนผสมมากเกินไป จะมีส่วนที่ล้นออกแบบและเกิดเป็นโฟมและลายเป็นของเสีย

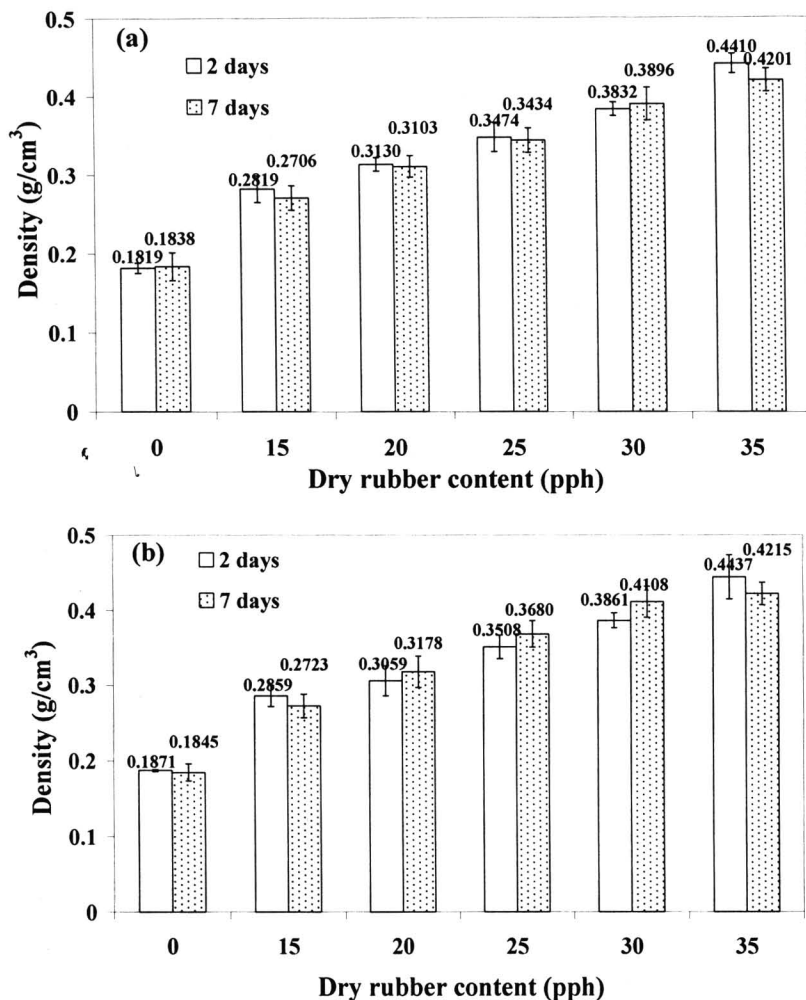
4.7.1 ผลการทดสอบความหนาแน่น

อิทธิพลของปริมาณยางธรรมชาติต่อความหนาแน่นของโฟมแบ้งแสดงในรูปที่ 4.14 พบว่าเมื่อปริมาณเนื้อยางแห้งเพิ่มขึ้นทำให้ความหนาแน่นเพิ่มขึ้นทั้งในระยะเวลาที่เก็บ 2 วัน และ 7 วัน ภายใต้ความชื้นสัมพัทธ์ 40% และ 70% ระยะเวลาการเก็บและความชื้นสัมพัทธ์มีผลเล็กน้อยต่อความหนาแน่นของโฟม หรืออาจกล่าวได้ว่าไม่มีผลอย่างมีนัยสำคัญต่อความหนาแน่น การที่โฟมมีความหนาแน่นเพิ่มขึ้นตามปริมาณเนื้อยางแห้งนั้น อาจเกิดจากยางธรรมชาติเกิดเป็นโฟมได้น้อย ทำให้โฟมมีเนื้อแน่นมากขึ้น ซึ่งสามารถตรวจสอบได้ด้วยการดูด้วยกล้องจุลทรรศน์อิเล็กตรอนแบบส่องการดู และจากการทดลองพบว่าเมื่อเติมยางธรรมชาติ จะต้องใช้ปริมาณวัสดุในการขึ้นรูปโฟมมากกว่าการไม่เติมยางธรรมชาติเพื่อทำให้ได้ชั้นงานที่มีลักษณะเป็นโฟมที่ดี



รูปที่ 4.14 กราฟแสดงอิทธิพลปริมาณยางธรรมชาติต่อความหนาแน่นของโฟมแบ่งเก็บภายใต้ 40 %RH และ 70 %RH ระยะเวลาในการเก็บ: (a) 2 วัน และ (b) 7 วัน

รูปที่ 4.15 แสดงการเปรียบเทียบความหนาแน่นที่เก็บไว้เป็นระยะเวลาต่างกันเพื่อสะท้อนต่อการพิจารณาอิทธิพลของระยะเวลาในการเก็บภายใต้ความชื้นสัมพัทธ์เดียวกัน จากการวิเคราะห์ทำให้สรุปได้ว่า ความหนาแน่นของโพเมยังคงมีค่าใกล้เคียงกันดังที่กล่าวมาแล้ว

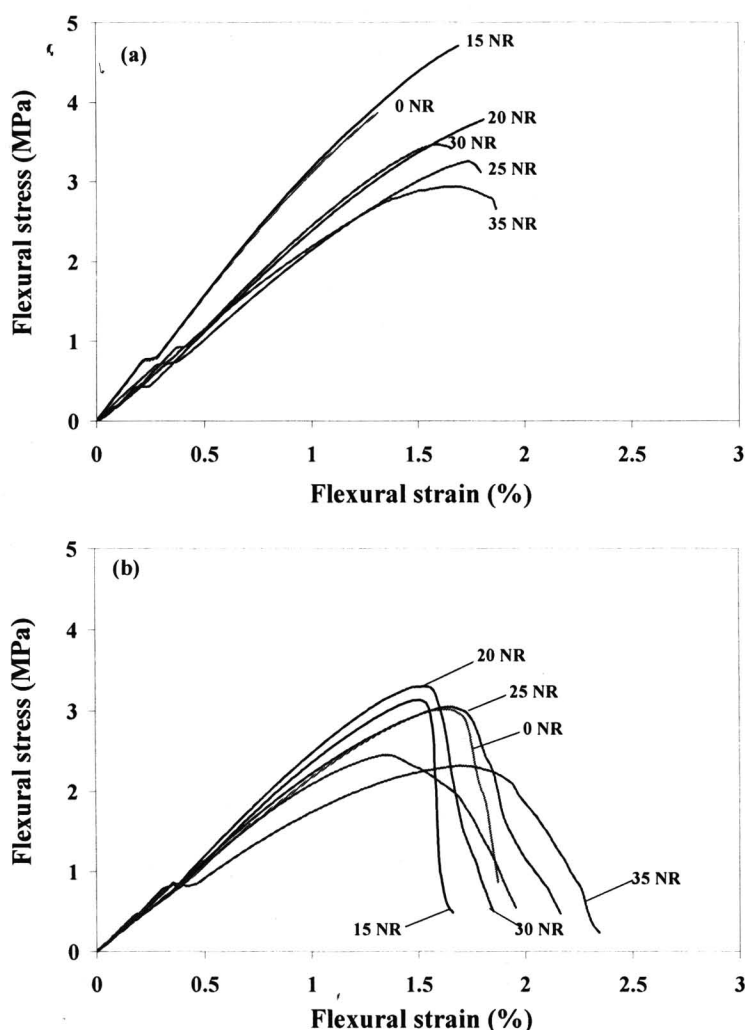


รูปที่ 4.15 กราฟแสดงอิทธิพลปริมาณยางธรรมชาติต่อความหนาแน่นของโพเมแป้งที่เก็บไว้ 2 วัน และ 7 วัน に対するความชื้นสัมพัทธ์ที่ใช้เก็บ: (a) 40 %RH และ (b) 70 %RH

4.7.2 ผลการทดสอบสมบัติเชิงกล

กราฟแสดงความสัมพันธ์ระหว่างความเค้นและความเครียดต่อแรงดัดโค้ง ของโพเมแป้งผสมยางธรรมชาติที่มีปริมาณยางธรรมชาติต่างๆ กันและเก็บไว้เป็นเวลา 7 วัน ก่อนทำการทดสอบแสดงในรูปที่ 4.16 ที่ความชื้นสัมพัทธ์ 40% (รูปที่ 4.16a) โพเมแป้งแสดงลักษณะแตกหักแบบเบรอะ (brittle fracture) การเติมยางธรรมชาติจนถึง 20 pph ไม่ได้เปลี่ยนแปลงพฤติกรรมการแตกหัก โพเมยังคงมีลักษณะแบบเบรอะ แต่เมื่อปริมาณยางธรรมชาติเพิ่มขึ้นตั้งแต่ 25 pph เป็นต้นไป โพเมจะมีจุดคราก (yield point) ซึ่งบ่งบอกถึงการเริ่มเปลี่ยนแปลงพฤติกรรมแบบเบรอะเป็นแบบเหนียว (brittle-to-ductile transition) ส่วนรูปที่ 4.16b โพเมทุกชนิดจะแสดงจุดคราก แม้แต่โพเมแป้งเองก็มีลักษณะแตกหักที่เหนียวขึ้นเช่นกัน พื้นที่ได้กราฟบ่งบอกถึงพลังงานที่ใช้ในการทำให้เกิดการแตกหัก แสดงว่าการเก็บตัวอย่างไว้ที่ความชื้นสัมพัทธ์สูงจะช่วยทำให้โพเมแป้งเหนียว (tough) หากขึ้น ตารางที่ 4.13 และ 4.14 แสดงค่าสมบัติความหนาแน่นต่อ

แรงดันโด้งของโพมแป้งที่ผสานยางธรรมชาติในปริมาณต่างๆ เก็บภายใต้ความชื้นสัมพัทธ์ต่ำและสูง เป็นเวลา 2 วัน และ 7 วัน ตามลำดับ เป็นที่น่าสังเกตว่าการเติมยางธรรมชาติทำให้โพมแป้งมีค่ามอดุลส์แรงดัดคง (E) เพิ่มขึ้นในทุกภาวะ การทดลองและทุกตัวอย่างที่มีการเติมยางธรรมชาติ ทั้งๆที่ไม่มีการเติมสารวัลค่าในช่องยางธรรมชาติ ค่าความเค้น ณ จุดสูงสุด (σ_{max}) มีแนวโน้มเพิ่มขึ้นเมื่อเติมยางธรรมชาติ ในทางกลับกันค่าความเครียด ณ จุดความเค้นสูงสุด (ϵ_{max}) และความเครียด ณ จุดขาด (ϵ_b) กลับมีค่าลดลงเมื่อเติมยางธรรมชาติ แต่เนื่องจากโพมทุกตัวอย่างมีค่าความเครียด ณ จุดขาด ต่ำมาก (น้อยกว่า 3%) จึงยังจัดเป็นโพมที่เปราะ สมบัติเชิงกลของโพมชั้นอยู่กับความหนาแน่นของโพม ซึ่ง การพิจารณาเรื่องนี้ได้บรรยายไว้ใน manuscript ที่แนบไว้ในภาคผนวก อิทธิพลของปริมาณยางธรรมชาติต่อสมบัติ ความทนต่อแรงดัดคงยังไม่สามารถหาข้อสรุปได้ เพราะค่าต่างๆที่วัดได้ขึ้นอยู่กับแต่ละสมบัติและแต่ละสภาพการทดลอง แต่มีแนวโน้มว่าที่ปริมาณยางธรรมชาติสูง จะมีสมบัติลดลง ความแตกต่างในสมบัติแต่ละสมบัติของโพมต่างๆ นี้มีค่าต่างกันเล็กน้อย ยกเว้นค่ามอดุลส์ที่มีความแตกต่างมากกว่าสมบัติอื่นๆ แต่อย่างไรก็ตาม การเพิ่มขึ้นของค่า E และ σ_{max} เมื่อการเติมยางธรรมชาติ บ่งชี้ว่าแป้งและน้ำยางธรรมชาติมีความเข้ากันได้ระดับหนึ่ง จึงสามารถเพิ่ม ความแข็งแรงให้กับโพมแป้ง แต่ไม่ได้ช่วยปรับปรุงความสามารถในการยืด



รูปที่ 4.16 กราฟความสัมพันธ์ระหว่างความเค้นและความเครียดต่อแรงดัดคงของโพมแป้งผสานยางธรรมชาติ ปริมาณ 0-35 ppb เก็บไว้ 7 วัน ภายใต้ความชื้นสัมพัทธ์ต่างกัน: (a) 40 %RH และ (b) 70 %RH

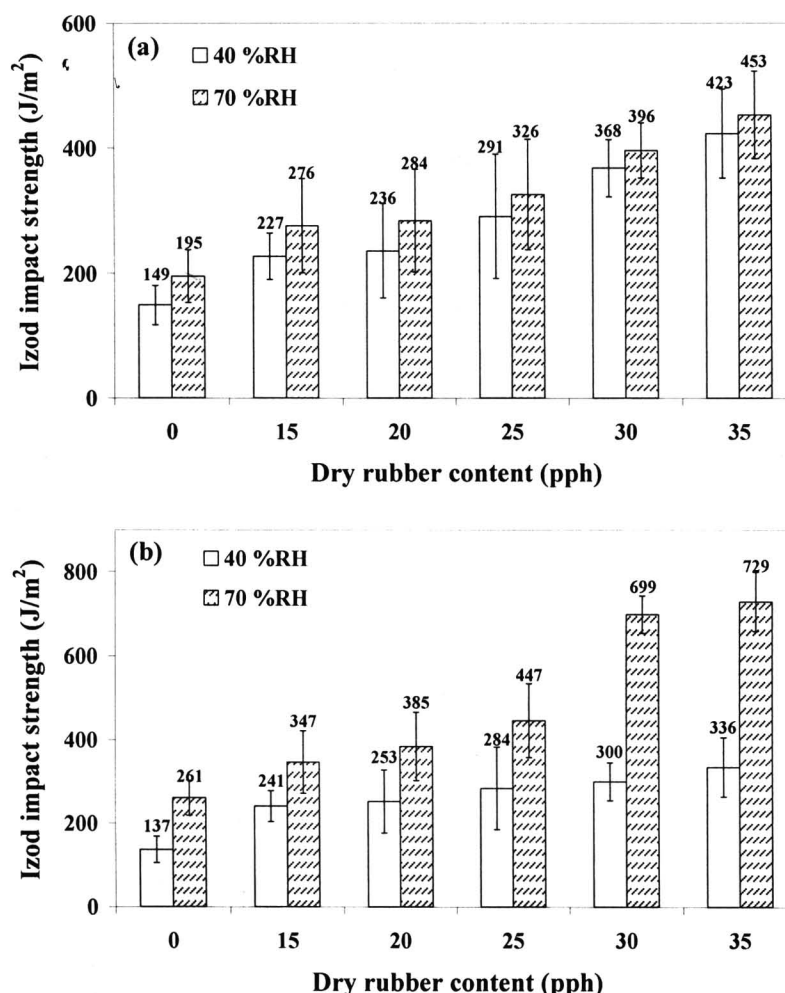
ตารางที่ 4.13 อิทธิพลของปริมาณยางธรรมชาติต่อสมบัติความหนาต่อแรงดึงของฟอยล์แพ็คที่เก็บไว้ 2 วัน ภายใต้ความชื้นสัมพัทธ์ 40% และ 70%

Relative humidity (%)	Dry rubber content (pph)	E (MPa)	σ_{max} (MPa)	ϵ_{max} (%)	ϵ_b (%)
40	0	199 ± 19	2.89 ± 0.70	2.12 ± 0.42	2.12 ± 0.32
	15	321 ± 45	3.80 ± 0.35	1.43 ± 0.28	1.47 ± 0.28
	20	322 ± 53	3.81 ± 0.58	1.38 ± 0.14	1.36 ± 0.18
	25	241 ± 54	2.50 ± 0.64	1.22 ± 0.21	1.25 ± 0.21
	30	302 ± 25	4.15 ± 0.28	1.80 ± 0.12	1.93 ± 0.10
	35	244 ± 23	3.51 ± 0.23	1.96 ± 0.23	1.96 ± 0.20
70	0	156 ± 19	2.37 ± 0.34	2.28 ± 0.20	2.29 ± 0.19
	15	272 ± 51	3.43 ± 0.73	1.56 ± 0.19	1.60 ± 0.20
	20	288 ± 41	3.83 ± 0.46	1.64 ± 0.13	1.65 ± 0.11
	25	233 ± 24	2.79 ± 0.58	1.57 ± 0.28	1.62 ± 0.24
	30	252 ± 26	2.93 ± 0.41	1.53 ± 0.16	2.72 ± 0.39
	35	172 ± 14	2.28 ± 0.38	2.51 ± 0.43	2.77 ± 0.44

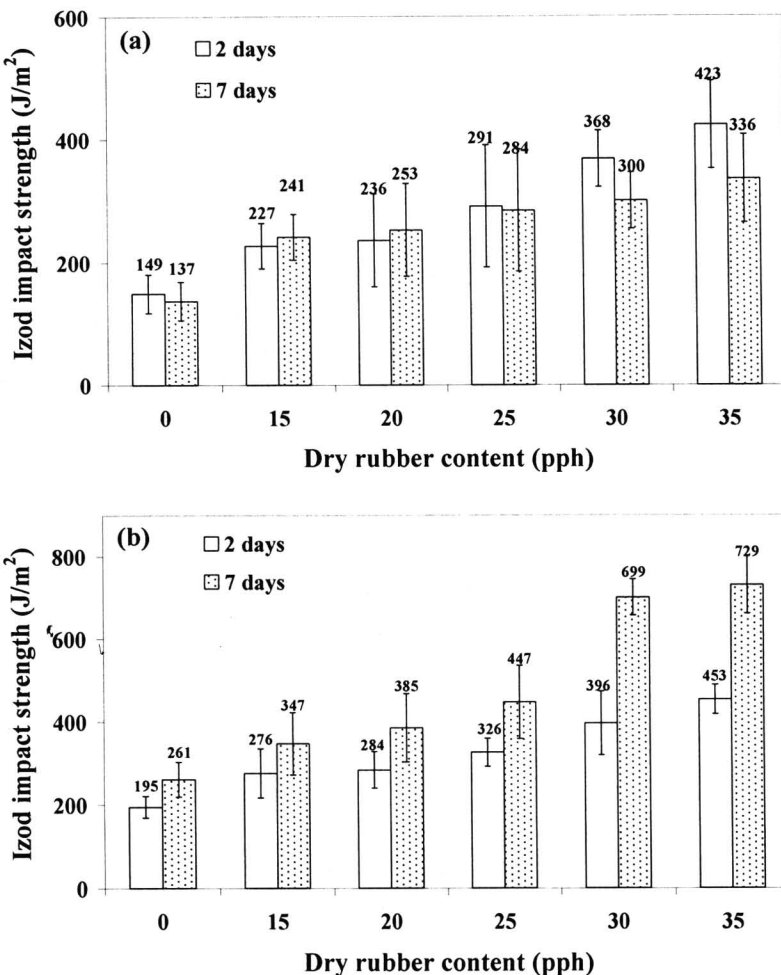
ตารางที่ 4.14 อิทธิพลของปริมาณยางธรรมชาติต่อสมบัติความหนาต่อแรงดึงของฟอยล์แพ็คที่เก็บไว้ 7 วัน ภายใต้ความชื้นสัมพัทธ์ 40% และ 70%

Relative humidity (%)	Dry rubber content (pph)	E (MPa)	σ_{max} (MPa)	ϵ_{max} (%)	ϵ_b (%)
40	0	148 ± 19	2.98 ± 0.27	1.76 ± 0.18	1.80 ± 0.21
	15	279 ± 42	3.19 ± 0.55	1.39 ± 0.12	1.46 ± 0.13
	20	283 ± 25	3.35 ± 0.42	1.50 ± 0.14	1.85 ± 0.46
	25	251 ± 26	3.15 ± 0.51	1.65 ± 0.13	1.70 ± 0.21
	30	221 ± 32	2.47 ± 0.44	1.44 ± 0.18	2.00 ± 0.23
	35	219 ± 25	2.56 ± 0.31	1.65 ± 0.18	2.37 ± 0.18
70	0	249 ± 47	3.34 ± 0.77	1.75 ± 0.50	1.75 ± 0.34
	15	325 ± 34	4.29 ± 0.59	1.65 ± 0.14	1.68 ± 0.13
	20	296 ± 35	3.82 ± 0.46	1.71 ± 0.22	1.85 ± 0.31
	25	257 ± 30	3.19 ± 0.50	1.63 ± 0.13	1.69 ± 0.26
	30	265 ± 30	3.28 ± 0.46	1.60 ± 0.18	2.26 ± 0.20
	35	261 ± 25	3.07 ± 0.32	1.55 ± 0.10	2.06 ± 0.23

ความต้านทานต่อแรงกระแทกของโฟมเป้งและโฟมเป้งผสมน้ำยางธรรมชาติแสดงในรูปที่ 4.17 และ 4.18 ยางธรรมชาติทำให้โฟมเป้งมีความต้านทานต่อแรงกระแทกสูงขึ้น ซึ่งเป็นไปตามที่คาดหวังไว้ เพราะยางธรรมชาติเป็นสารเพิ่มความเหนียวหรือเพิ่มความต้านทานต่อแรงกระแทก ดังนั้น โครงการวิจัยนี้จึงบรรลุวัตถุประสงค์ในการเตรียมโฟมที่เพิ่มความต้านทานต่อแรงกระแทกด้วยน้ำยางธรรมชาติ ค่าความต้านทานต่อแรงกระแทกเพิ่มขึ้นเมื่อบริษัทฯ รายงานยางธรรมชาติเพิ่มขึ้น อิทธิพลของความชื้นสัมพัทธ์ต่อสมบัตินี้เห็นได้ชัดเจนเมื่อกีบไว้ 7 วัน (รูปที่ 4.17) การเก็บตัวอย่างไว้ที่บ่อบำบัดห้องเป็นเวลาหนึ่งชั่วโมง ทำให้โฟมมีอิทธิพลลดความชื้นในบรรยายการมากขึ้น น้ำเป็นพลาสติไซเรอร์ของแป้งทำให้แป้งยึดหยุ่นได้มากขึ้น จึงรับแรงกระแทกได้มากขึ้น การเก็บตัวอย่างก่อนทดสอบเป็นเวลา 2 วัน ทำให้ค่าความต้านทานต่อแรงกระแทกเพิ่มขึ้นเช่นกันแต่เพิ่มขึ้นน้อยกว่าการเก็บไว้เป็นเวลา 7 วัน อิทธิพลของระยะเวลาในการเก็บตัวอย่างต่อความต้านทานต่อแรงกระแทกแสดงในรูปที่ 4.18 การเก็บไว้เป็นเวลา 7 วัน มีความต้านทานต่อแรงกระแทกสูงกว่าการเก็บไว้ที่ 2 วัน อย่างชัดเจนเมื่อทำการเก็บตัวอย่างภายใต้ความชื้นสัมพัทธ์สูง ซึ่งเป็นสภาพบรรยายกาจภายในห้องปฏิบัติการที่ทำการทดลอง การเดิมย่างธรรมชาติการเก็บตัวอย่างที่ความชื้นสัมพัทธ์ต่ำ (40%) จะเห็นได้ว่าความชื้นสัมพัทธ์มีอิทธิพลสูงกว่าระยะเวลาในการเก็บตัวอย่าง



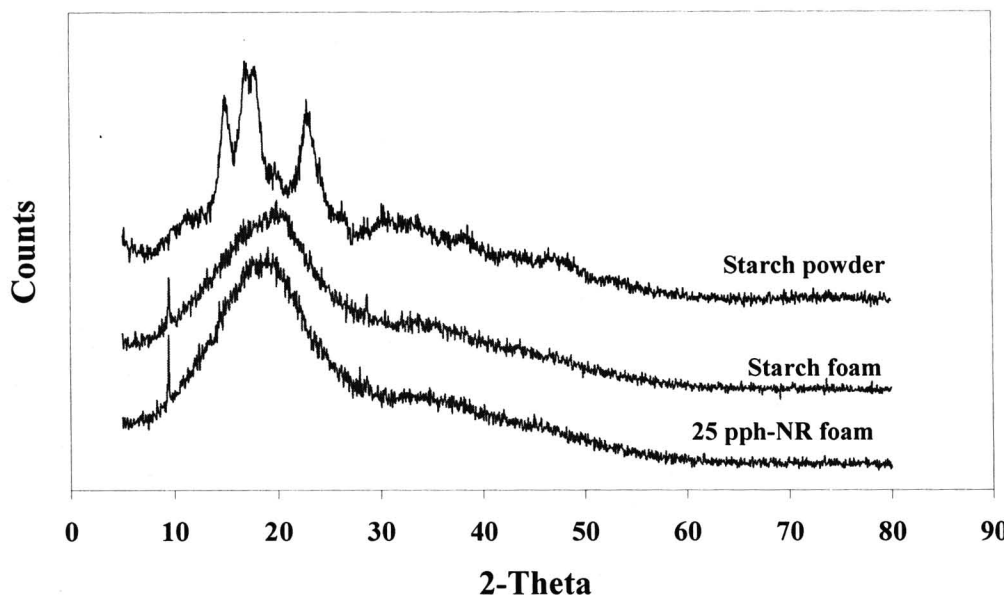
รูปที่ 4.17 กราฟแสดงอิทธิพลปริมาณยางธรรมชาติต่อสมบัติความต้านทานต่อของโฟมเป้งที่ภายใต้ 40 %RH และ 70 %RH ระยะเวลาในการเก็บ: (a) 2 วัน และ (b) 7 วัน



รูปที่ 4.18 กราฟแสดงอิทธิพลปริมาณยางธรรมชาติต่อความต้านทานต่อแรงกระแทกของโพมแป้ง ที่ระยะเวลาในการเก็บ 2 วัน และ 7 วัน ภายใต้: (a) 40 %RH และ (b) 70 %RH

4.7.3 ผลการตรวจสอบโครงสร้างผลึกของโพมแป้งผสานยางธรรมชาติตัวอย่างโดยเทคนิคการเลี้ยวเบนของรังสีเอกซ์

โดยปกติแป้งจะมีผลึกสูง เมื่อกีดเป็นแป้งเทอร์โมพลาสติกแล้ว ความเป็นผลึกจะหายไป ทำการตรวจสอบโครงสร้างผลึกของโพมแป้งมันสำปะหลังทั้งที่เติมและไม่เติมยางธรรมชาติตัวอย่างการเลี้ยวเบนของรังสีเอกซ์ และเปรียบเทียบกับโครงสร้างผลึกของผงแป้งมันสำปะหลัง รูปที่ 4.19 แสดงแบบแผนการกระเจิงของแป้งในตัวอย่างโพมและแป้ง โพมแป้งและโพมแป้งผสานยางธรรมชาติมีลักษณะเป็นสัมฐาน และแสดงลักษณะ amorphous halo คือการมี base line ที่โป่งนูน อันเนื่องมาจากความเป็นระเบียบในระยะสั้นของโมเลกุล (short range order) เนื่องจากโครงสร้างที่เป็นผลึกของแป้งได้แตกออกในขณะที่แป้งได้รับความร้อนในการทำให้กีดเป็นโพมตั้งแต่ประมาณ 100-110°C (Shogren *et al.*, 1998a) ส่วนสเปกตรัมของผงแป้งแสดงลักษณะที่เป็นผลึกชนิดบี (B-type) (Shogren *et al.*, 1996; Bhatagar and Hanna, 1996; Thuwall *et al.*, 2006) ซึ่งมีค่า 2θ เท่ากับ 15, 18 และ 23.3° ปริมาณผลึก (degree of crystallinity; X_c) ที่หาได้จากพื้นที่ใต้กราฟประมาณ 37% โดยเชื่อว่าโครงสร้างของผลึกนี้เป็นการจัดเรียงตัวในลักษณะเกลียวม้วนคู่ของอะไมโลเพกตินสายสั้น (Wu and Sarko, 1987)



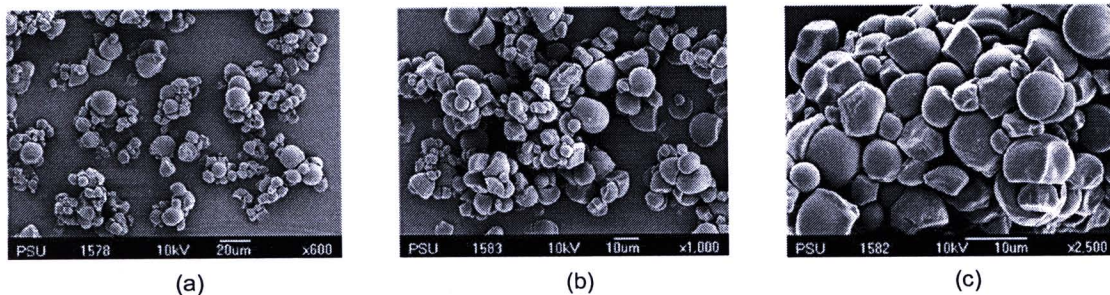
รูปที่ 4.19 XRD pattern ของผงแป้ง โฟมแป้ง และโฟมแป้งผสมยางธรรมชาติ 25 pph

4.7.4 ผลการตรวจสอบสัณฐานวิทยา

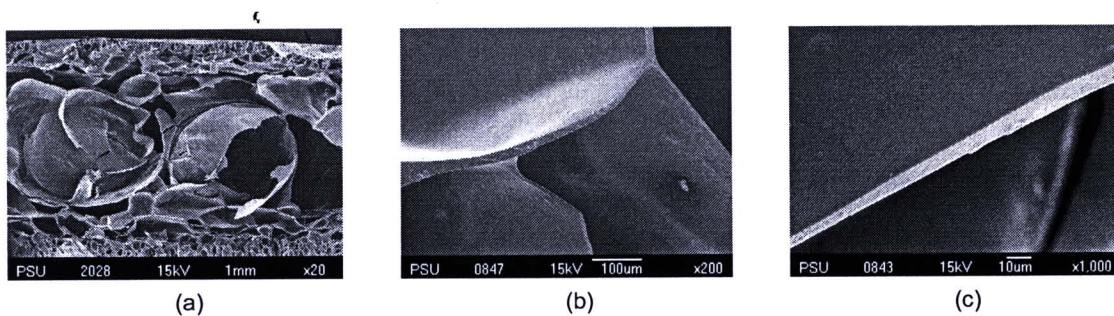
รูปที่ 4.20a-c แสดงลักษณะสัณฐานวิทยาของแป้งมันสำปะหลัง พบร่วมกับผงแป้งมีลักษณะเป็นเม็ดค่อนข้างกลม และมีขนาดเล็กกว่า 10 μm เมื่อแป้งที่มีน้ำเป็นส่วนผสมได้รับความร้อนเม็ดแป้งเกิดการพองตัวและแตกตัวกลยุยเป็นเจล ทำให้มีความหนืดเพิ่มขึ้น จากนั้นนำระ夷ออกไปทำให้มีโครงอากาศเกิดขึ้น การเกิดขึ้นของโครงอากาศจะต้องมีแรงดันของน้ำและส่วนผสมภายในแม่แบบที่มากพอ เมื่อนำระ夷ออกไปทำให้แป้งที่เป็นเจลดังกล่าวแห้งและแข็งตัว กลายเป็นโฟม (Lawton *et al.*, 1999) โฟมแป้งที่ได้จากการอบหัวไบมีลักษณะเหมือนกันคือ มีโครงสร้างแตกต่างกันระหว่างผิวนอกและแกนกลางหรือที่เรียกว่า skin-core morphology หรือนักวิจัยบางกลุ่มเรียกว่าโครงสร้างแบบแซนวิช (sandwich structure) (Cinelli *et al.*, 2006) โดยที่ผิวนอก (outer skin) ของโฟม (ด้านบนและด้านล่างที่สัมผัสกับแม่แบบ) จะมีโครงอากาศขนาดเล็ก และมีโครงสร้างเป็นเซลล์ปิด เนื่องจากบริเวณดังกล่าวมีการสัมผัสกับแม่แบบที่ร้อน ทำให้แป้งบริเวณนี้เกิดเป็นเจลได้ก่อนและแห้งอย่างรวดเร็ว โครงอากาศจึงขยายตัวได้น้อย ส่วนบริเวณแกนกลาง (interior) ของโฟม (ระหว่างวิภาวดีที่สัมผัสกับแม่แบบ) จะมีโครงอากาศขนาดใหญ่ ผนังเซลล์บาง และโครงสร้างเป็นเซลล์ เปิดมากกว่าโครงสร้างที่เป็นเซลล์ปิด เนื่องจากน้ำที่ระ夷มีปริมาณมาก และน้ำจะระ夷ออกไปอย่างรวดเร็วส่งผลให้เกิดเป็นโครงอากาศขนาดใหญ่ (Kiatkamjornwong *et al.*, 2001; Shogren *et al.*, 2002; Preechawong *et al.*, 2005; Cinelli *et al.*, 2006) โครงอากาศขนาดใหญ่ดังกล่าวมีผนังเซลล์ที่แตกออกจากกัน เพราะแรงดันที่สูงจึงกล้ายเป็นเซลล์ เปิด

รูปที่ 4.21a-c แสดงลักษณะสัณฐานวิทยาของโฟมแป้ง พบร่วมกับผงแป้งโครงสร้างแบบที่เรียกว่า skin-core morphology โดยจะมีโครงอากาศขนาดใหญ่บริเวณแกนกลาง ผนังเซลล์ของโฟมแป้ง (รูปที่ 4.21b-c) มีความบางมาก เมื่อเปรียบเทียบกับโฟมแป้งผสมยางธรรมชาติที่ปริมาณยางธรรมชาติ 15 pph ดังแสดงในรูปที่ 4.22b-c สังเกตได้ว่า รูปที่ 4.22a มีขนาดของโครงอากาศเล็กกว่าของโฟมแป้งในรูปที่ 4.21a ซึ่งจะมีลักษณะเป็นเซลล์ปิด เนื่องจากยางธรรมชาติทำให้แป้งและส่วนผสมมีความหนืดเพิ่มขึ้น เมื่อความหนืดเพิ่มขึ้น น้ำจะระ夷ออกไปได้ยาก ทำให้มีผนังเซลล์หนามากขึ้น เมื่อเปรียบเทียบกับโฟมแป้ง และสังเกตเห็นว่ายางธรรมชาติในบางสัดส่วน สามารถกระจายตัวในเนื้อแป้งและยึดเกาะกับเฟสของแป้งได้ดีไม่มีการแยกเฟส ซึ่งลักษณะสัณฐานวิทยาที่ได้นี้สอดคล้องกับสมบัติความทนต่อ

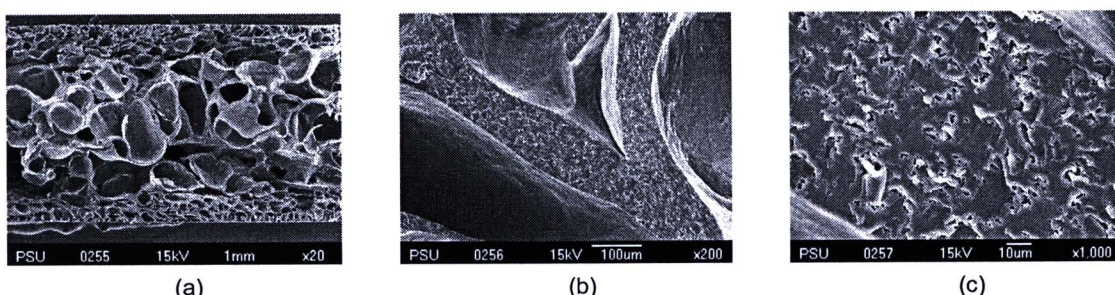
แรงดัดໂດງ และสมบูติความต้านทานต่อแรงกระแทก เพาะะย่างธรรมชาติผสมเข้ากันแบบปั๊บได้ดีทำให้มีความแข็งแรงเพิ่มมากขึ้น และย่างธรรมชาติทำให้ผังเซลล์ของโฟมหนาขึ้นเมื่อเปรียบเทียบกับโฟมแป้งที่ไม่ผสมย่างธรรมชาติ รูปที่ 4.23a-c และ 4.24a-c แสดงลักษณะสัณฐานวิทยาของโฟมแป้งผสมย่างธรรมชาติ 20 pph และ 25 pph ตามลำดับพบว่าโครงอากาศของโฟมมีขนาดเล็กกว่าโครงอากาศของโฟมแป้ง สังเกตเห็นย่างธรรมชาติกระจายตัวและรวมตัวกันมากขึ้นแสดงในรูปที่ 4.24c



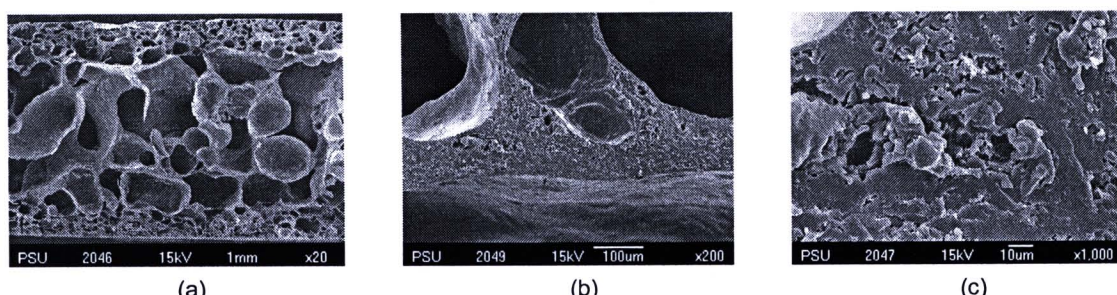
รูปที่ 4.20 ภาพถ่ายจากกล้องจุลทรรศน์อิเล็กตรอนแบบส่องการดูของแป้งมันสำปะหลัง



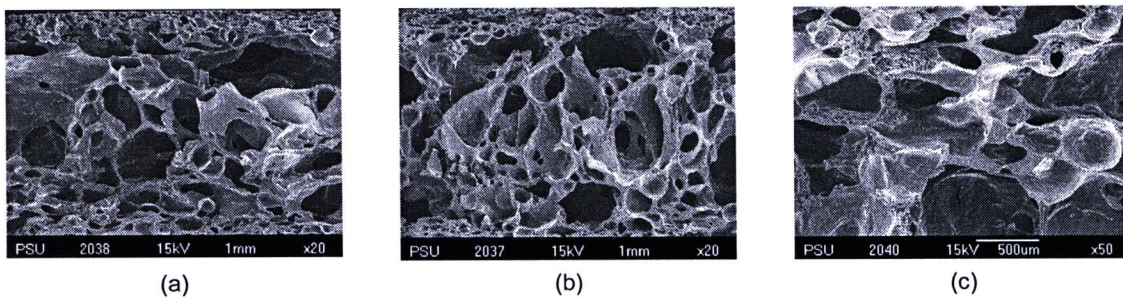
รูปที่ 4.21 ภาพถ่ายจากกล้องจุลทรรศน์อิเล็กตรอนแบบส่องการดูของโฟมแป้ง



รูปที่ 4.22 ภาพถ่ายจากกล้องจุลทรรศน์อิเล็กตรอนแบบส่องการดูของโฟมแป้งผสมย่างธรรมชาติ 15 pph

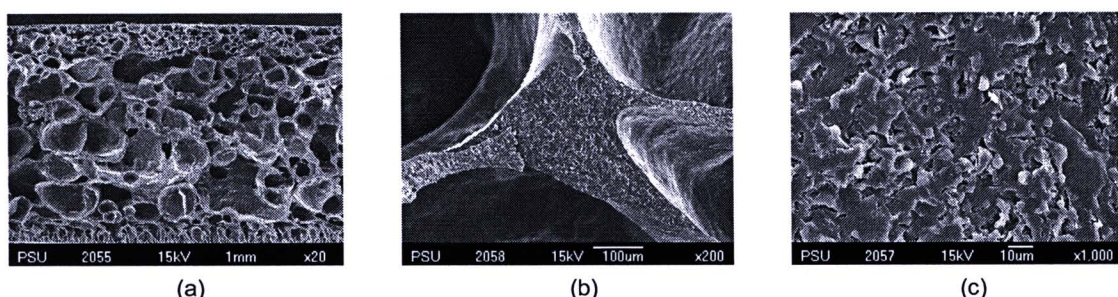


รูปที่ 4.23 ภาพถ่ายจากกล้องจุลทรรศน์อิเล็กตรอนแบบส่องการดูของโฟมแป้งผสมย่างธรรมชาติ 20 pph

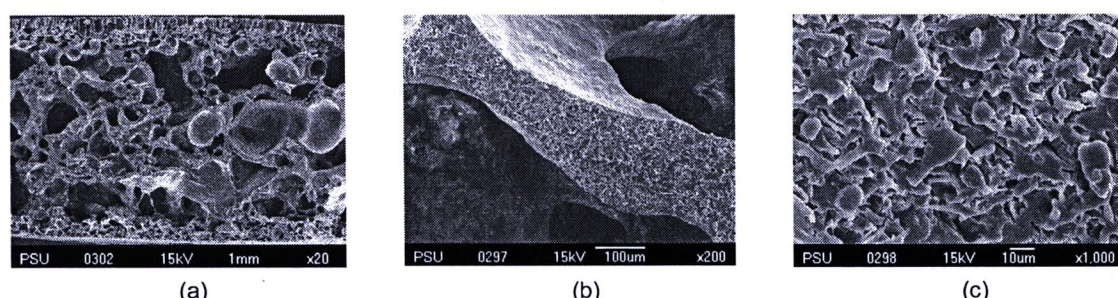


รูปที่ 4.24 ภาพถ่ายจากกล้องจุลทรรศน์อิเล็กตรอนแบบส่องการดูของฟอยม์ปีปั้งผสานย่างธรรมชาติ 25 pph

รูปที่ 4.25a-c และ 4.26a-c เป็นลักษณะสัณฐานวิทยาของฟอยม์ปีปั้งผสานย่างธรรมชาติ 30 pph และ 35 pph ตามลำดับพบว่าฟอยม์มีโครงอากาศเล็กลงและมีความไม่สม่ำเสมอของฟอยม์ปีปั้งเพิ่มมากขึ้น เมื่อปริมาณย่างธรรมชาติเพิ่มขึ้น บริเวณแกนกลางของฟอยม์บ่งบอกได้ว่าลักษณะการกระจายตัวของย่างธรรมชาติที่ไม่สม่ำเสมอคือ บางจุดย่างธรรมชาติกระจายตัวได้ดี แต่ในบางจุดเกาเกากลุ่มกัน เนื่องจากปริมาณย่างธรรมชาติที่มากเกินไปทำให้เกิดการแยกเฟสขึ้น ปริมาณย่างธรรมชาติที่เพิ่มขึ้นทำให้โครงอากาศมีขนาดเล็กลง และโครงอากาศด้านที่มีการสัมผัสถกับแม่แบบของฟอยม์ปีปั้งผสานย่างธรรมชาติ 35 pph มีขนาดเล็กกว่าที่ปริมาณย่างธรรมชาติในสัดส่วนอื่นๆ การใช้กำลังขยายสูงขึ้นทำให้สังเกตเห็นลักษณะการกระจายของย่างธรรมชาติที่เพิ่มขึ้นเมื่อปริมาณย่างธรรมชาติเพิ่มขึ้น เนื่องจากน้ำย่างธรรมชาติทำให้ความหนืดของส่วนผสานเพิ่มขึ้น เพราะน้ำย่างธรรมชาติจะเข้าไปแทรกในแปรงระหว่างการอบ ทำให้ขัดขวางการระเหยของน้ำ แป้งเจืองลายฟอยม์ได้ยากขึ้น (Kiatkamjornwong *et al.*, 2001) เช่นเดียวกันกับการเติมเส้นใยลงไปในฟอยม์ปีปั้ง (Lawton *et al.*, 2004; Cinelli *et al.*, 2006) ที่ทำให้ฟอยม์ปีปั้งมีโครงอากาศเล็กลง จากลักษณะสัณฐานวิทยาสามารถอธิบายการเพิ่มขึ้นของความหนาแน่นและสมบัติเชิงกล เมื่อปริมาณย่างธรรมชาติเพิ่มขึ้นได้



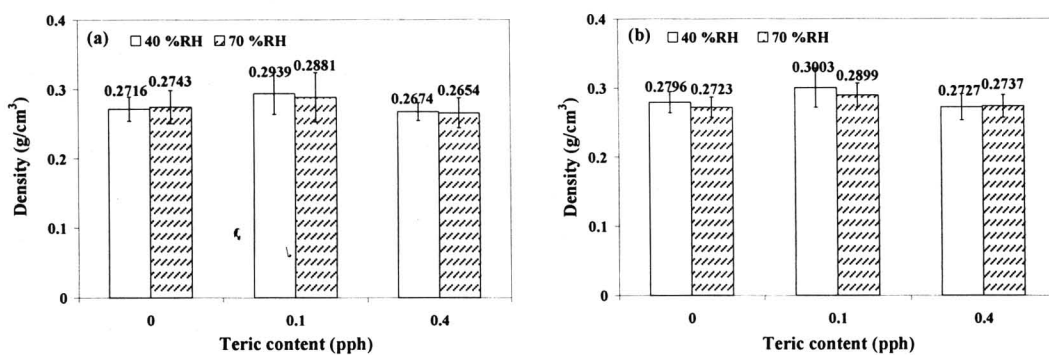
รูปที่ 4.25 ภาพถ่ายจากกล้องจุลทรรศน์อิเล็กตรอนแบบส่องการดูของฟอยม์ปีปั้งผสานย่างธรรมชาติ 30 pph



รูปที่ 4.26 ภาพถ่ายจากกล้องจุลทรรศน์อิเล็กตรอนแบบส่องการดูของฟอยม์ปีปั้งผสานย่างธรรมชาติ 35 pph

4.8 อิทธิพลของสารลดแรงตึงผิวต่อความหนาแน่นและสมบัติเชิงกลของโพมแป้งมันสำปะหลังผสมยางธรรมชาติ

เนื่องจากน้ำยางธรรมชาติมีลักษณะเป็น colloidal การใช้สารลดแรงตึงผิวจะช่วยให้การกระจายตัวของน้ำยางธรรมชาติในแป้งดีขึ้น หรือทำให้การผสมแป้งและน้ำยางธรรมชาติเข้าเป็นเนื้อเดียวกันได้ดีขึ้น จากสมมตฐานนี้ จึงเลือกใช้สารลดแรงตึงผิวนิดไม่มีประจุ คือ Teric[®] 16A16 เตรียมโพมที่มียางธรรมชาติ 15 pph ตรวจสอบสมบัติเชิงกล โดยเก็บตัวอย่างโพมเป็นเวลา 2 วัน และ 7 วัน ภายใต้ความชื้นสัมพัทธ์สองค่า ความหนาแน่นของโพมเปลี่ยนแปลงเล็กน้อยเมื่อเติมสารลดแรงตึงผิว ดังแสดงในรูปที่ 4.27 เป็นที่สังเกตว่า ปริมาณ 0.1 pph ของสารลดแรงตึงผิวทำให้โพมมีความหนาแน่นสูงที่สุด แต่ค่าความหนาแน่นที่ตัวได้หงหงดันนี้ ยังคงจัดอยู่ในช่วงเดียวกัน



รูปที่ 4.27 อิทธิพลของปริมาณ Teric[®] 16A16 ต่อความหนาแน่นของโพมแป้งผสมยางธรรมชาติปริมาณ 15 pph เก็บภายใต้ 40 %RH และ 70 %RH ระยะเวลาในการเก็บ: (a) 2 วัน และ (b) 7 วัน

อิทธิพลของสารลดแรงตึงผิวต่อสมบัติความทนต่อแรงดัดโดยของโพมแสดงในตารางที่ 4.15 และ 4.16 การเติมสารลดแรงตึงผิวทำให้ค่ามอดุลส์มีค่าเพิ่มขึ้นในทุกรายงาน และทำให้ค่าความเครียดลดลงในทุกรายงานเดียวกัน ส่วนค่าความเค้นสูงสุดมีค่าเพิ่มขึ้นเมื่อเติมสารลดแรงตึงผิว ยกเว้นโพมที่เก็บไว้เป็นเวลา 7 วัน ที่ 70 %RH จะมีค่าลดลงเมื่อเติมสารลดแรงตึงผิว ไม่สามารถสรุปอิทธิพลของปริมาณสารลดแรงตึงผิวได้อย่างชัดเจน เนื่องจากมีความแตกต่างกันในแต่ละสมบัติและต่อสภาวะการเก็บโพม

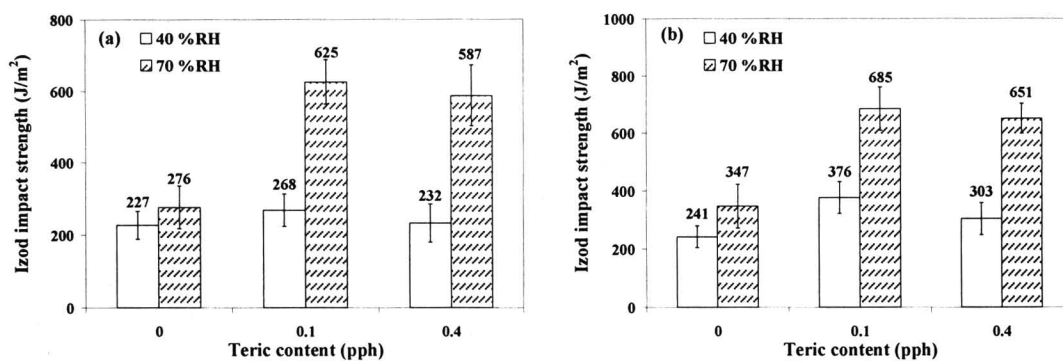
ตารางที่ 4.15 อิทธิพลของ Teric[®] 16A16 ต่อสมบัติความทนต่อแรงดัดโดยของโพมแป้งผสมยางธรรมชาติปริมาณ 15 pph เก็บตัวอย่าง 2 วัน ภายใต้ 40 %RH และ 70 %RH

Relative humidity (%)	Teric content (pph)	E (MPa)	σ_{max} (MPa)	ϵ_{max} (%)	ϵ_b (%)
40	0	199 ± 19	2.89 ± 0.70	2.12 ± 0.42	2.12 ± 0.32
	0.1	285 ± 27	3.75 ± 0.75	1.88 ± 0.28	1.91 ± 0.30
	0.4	243 ± 42	3.12 ± 0.46	1.71 ± 0.33	1.73 ± 0.49
70	0	156 ± 19	2.37 ± 0.34	2.28 ± 0.20	2.29 ± 0.19
	0.1	249 ± 58	3.20 ± 0.69	1.87 ± 0.41	2.01 ± 0.37
	0.4	255 ± 47	3.07 ± 0.53	1.62 ± 0.17	1.73 ± 0.24

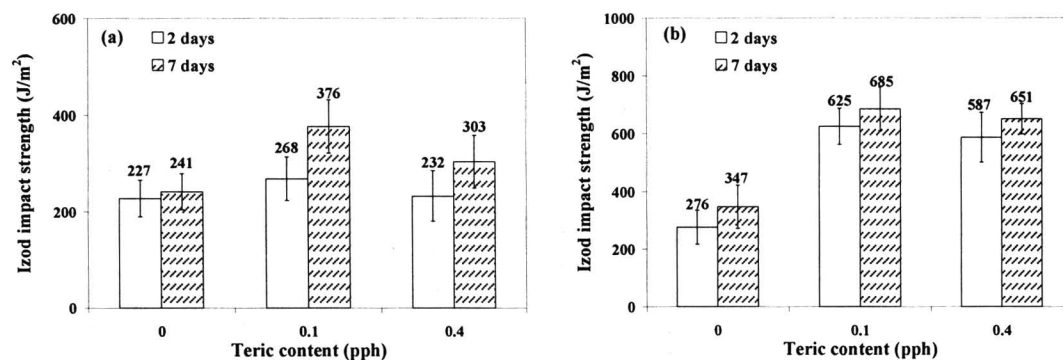
ตารางที่ 4.16 อิทธิพลของ Teric[®] 16A16 ต่อสมบัติความทนต่อแรงดึงดูดของฟอยล์แพ็คผงสมายางธรรมชาติบริมาณ 15 pph เก็บด้วยวิธี 7 วัน ภายใต้ 40 %RH และ 70 %RH

Relative humidity (%)	Teric content (pph)	E (MPa)	σ_{max} (MPa)	ϵ_{max} (%)	ϵ_b (%)
40	0	249 ± 47	3.34 ± 0.77	1.75 ± 0.50	1.75 ± 0.34
	0.1	291 ± 37	3.49 ± 0.78	1.57 ± 0.29	1.71 ± 0.32
	0.4	300 ± 40	3.73 ± 0.54	1.56 ± 0.13	1.72 ± 0.42
70	0	148 ± 19	2.98 ± 0.27	1.76 ± 0.18	1.80 ± 0.21
	0.1	237 ± 43	2.50 ± 0.43	1.31 ± 0.13	1.55 ± 0.18
	0.4	210 ± 28	2.02 ± 0.32	1.15 ± 0.08	1.28 ± 0.14

อิทธิพลของสารลดแรงตึงผิว Teric[®] 16A16 นี้เห็นได้อย่างชัดเจนในการทดสอบความต้านทานต่อแรงกระแทก ดังแสดงในรูปที่ 4.28 และ 4.29 สารลดแรงตึงผิวช่วยทำให้ความต้านทานต่อแรงกระแทกเพิ่มขึ้นในทุกราด และ เพิ่มขึ้นอย่างมากเมื่อเก็บไว้ภายใต้ความชื้นสัมพัทธ์สูง (70 %RH)

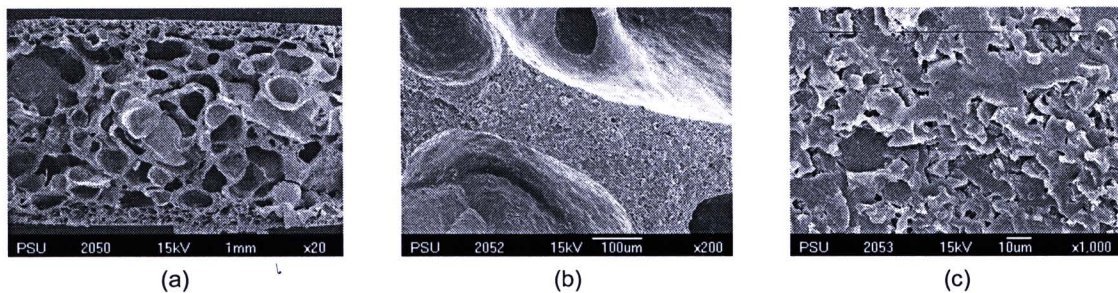


รูปที่ 4.28 อิทธิพลของปริมาณ Teric[®] 16A16 ต่อความต้านทานต่อแรงกระแทกของฟอยล์แพ็คผงสมายางธรรมชาติ 15 pph เก็บภายใต้ 40 %RH และ 70 %RH ระยะเวลาในการเก็บ: (a) 2 วัน และ (b) 7 วัน



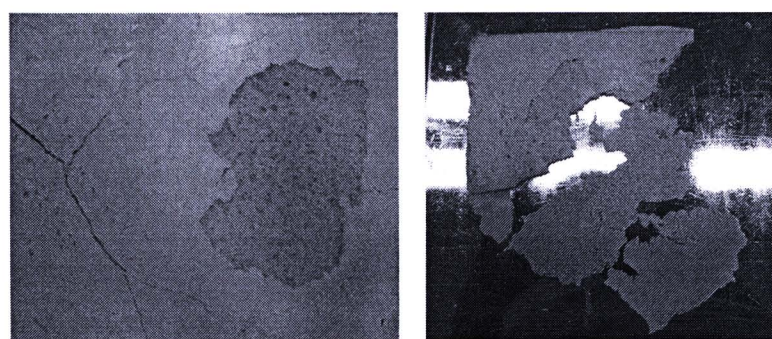
รูปที่ 4.29 อิทธิพลของปริมาณ Teric[®] 16A16 ต่อความต้านทานต่อแรงกระแทกของฟอยล์แพ็คผงสมายางธรรมชาติ 15 pph ที่เก็บเป็นเวลา 2 วัน และ 7 วัน ภายใต้ความชื้นสัมพัทธ์แตกต่างกัน: (a) 40 %RH และ (b) 70 %RH

การที่ความด้านทานต่อแรงกระแทกสูงขึ้นเมื่อเติมสารลดแรงตึงผิวของน้ำยาางธรรมชาติเมื่อผสมกับพังแป้ง และอีกสาเหตุหนึ่งอาจเนื่องมาจากการที่สารลดแรงตึงผิวนิดนี้ชอบน้ำ ทำให้โฟมมีโอกาสสูดความชื้นในอากาศได้เพิ่มขึ้น ทำให้โฟมมีความยืดหยุ่นมากขึ้น จึงรับแรงกระแทกดีมากขึ้น สัณฐานวิทยาของโฟมแป้งผสมยางธรรมชาติ 15 pph ที่เติมสารลดแรงตึงผิวเท่ากับ 0.1 pph แสดงในรูปที่ 4.30a-c โฟมมีลักษณะเป็น skin-core morphology เหมือนกับรูปที่ 4.22a แต่ดูเหมือนว่าสารลดแรงตึงผิวช่วยทำให้บริเวณผิวน้ำโฟม (skin) มีความหนาลดลง (บริเวณแกนกลางมีความหนาเพิ่มขึ้น) ภาพถ่ายที่กำลังขยายสูงขึ้นไม่ได้แตกต่างจากตัวอย่างที่ไม่มีการเติมสารลดแรงตึงผิว (รูปที่ 4.22b-c)



รูปที่ 4.30 ภาพถ่ายจากกล้องจุลทรรศน์อิเล็กตรอนแบบส่องการดูของโฟมแป้งผสมยางธรรมชาติ 15 pph ที่เติมสารลดแรงตึง 0.1 pph

จากการเติมสารลดแรงตึงผิวนิด Teric[®] 16A16 ไม่มีอิทธิพลต่อความหนาแน่นอย่างมีนัยสำคัญ ทำให้ค่ามอดุลส์และความเค้นสูงสุดเพิ่มขึ้นเล็กน้อย และทำให้สมบัติความด้านทานต่อแรงกระแทกเพิ่มขึ้น เนื่องจากสารลดแรงตึงผิวทำให้น้ำยาางธรรมชาติมีความเสถียรมากขึ้น (Kiatkamjornwong *et al.*, 2001; Shey *et al.*, 2006) ทำให้น้ำยาางธรรมชาติจับตัวกันเองและจับตัวกับแป้งช้าลง จึงผสมเข้ากันแป้งและกระจายตัวในแป้งได้ดีขึ้นดังที่ได้กล่าวมาแล้ว แต่การเติม Teric[®] 16A16 ทำให้มีข้อด้อยในด้านการเตรียมโฟม เนื่องจากทำให้โฟมเกะติดแม่แบบ และในบางครั้งไม่สามารถแกะโฟมออกจากแม่แบบได้ รูปที่ 4.31 แสดงภาพถ่ายแผ่นโฟมที่มีตำหนิและรอยแตกเนื่องมาจากการเกะติดบนแม่แบบ (รูปซ้ายมือ) และแผ่นโฟมที่เกิดการแตกหักหลังแกะออกจากแม่แบบ ดังนั้นจึงไม่เติม Teric[®] 16A16 ในการเตรียมโฟมสำหรับการทดลองต่อไป



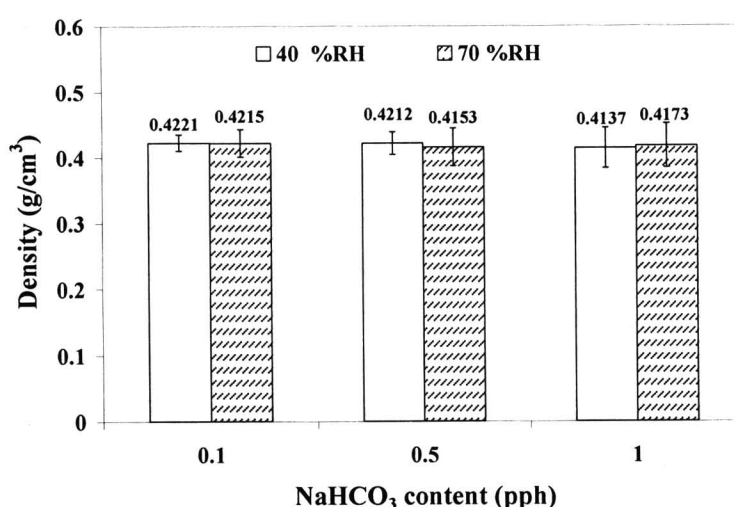
รูปที่ 4.31 ภาพถ่ายจากกล้องถ่ายรูปดิจิตอลแสดงลักษณะโฟมแป้งผสมยางธรรมชาติ 15 pph ที่เติมสารลดแรงตึงผิว 0.4 pph

4.9 อิทธิพลของสารฟูต่อความหนาแน่นและสมบัติเชิงกลของโฟมเป้งมันสำปะหลังผสมยางธรรมชาติ

เนื่องจากการทดลองที่ผ่านมาพบว่าเมื่อบริมาณยางธรรมชาติเพิ่มขึ้นทำให้ความหนาแน่นเพิ่มมากขึ้น ในการทดลองนี้จึงทำการศึกษาวิธีการลดความหนาแน่นของโฟม โดยเลือกใช้สารฟู 2 ชนิด คือ โซเดียมไบคาร์บอเนต และปริมาณเท่ากับ 0.1, 0.5 และ 1 pph และอะโซ่ไดคาร์บอนามิเต็ (ADC) และปริมาณเท่ากับ 0.1, 0.25 และ 0.5 pph ทำการเตรียมโฟมเป้งผสมยางธรรมชาติ 35 pph เก็บชิ้นทดสอบภายใต้ 40 %RH และ 70 %RH และเก็บไว้ 7 วัน ก่อนการทดสอบ

4.9.1 โซเดียมไบคาร์บอเนต

อิทธิพลของโซเดียมไบคาร์บอเนตต่อความหนาแน่นของโฟมเป้งผสมยางธรรมชาติ 35 pph แสดงในรูปที่ 4.32 พบว่าเมื่อบริมาณโซเดียมไบคาร์บอเนตเพิ่มขึ้นความหนาแน่นของโฟมมีค่าลดลงเล็กน้อย อิทธิพลของโซเดียมไบคาร์บอเนตต่อสมบัติความทนต่อแรงดัดโคลงของโฟมเป้งผสมยางธรรมชาติ 35 pph แสดงในตารางที่ 4.17 และ 4.18 ค่ามอดุลส์และค่าความเค้นสูงสุดของโฟมมีค่าลดลงเล็กน้อยเมื่อเติมโซเดียมไบคาร์บอเนตเพิ่มขึ้น สอดคล้องกับการเปลี่ยนแปลงของความหนาแน่น การประปริมาณโซเดียมไบคาร์บอเนตไม่มีผลต่อค่าความเครียดสูงสุดและความเครียดณ จุดขาด



รูปที่ 4.32 อิทธิพลของปริมาณโซเดียมไบคาร์บอเนตต่อความหนาแน่นของโฟมเป้งผสมยางธรรมชาติ 35 pph ที่เก็บไว้ 7 วัน เก็บภายใต้ 40 %RH และ 70 %RH

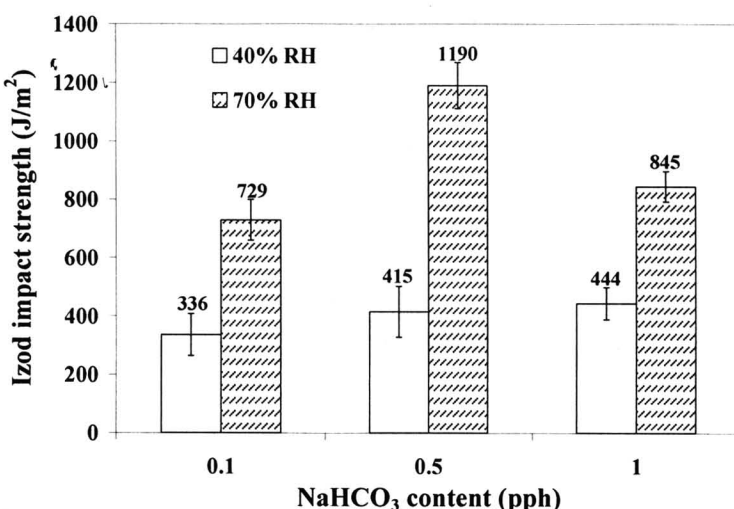
ตารางที่ 4.17 อิทธิพลของปริมาณโซเดียมไบคาร์บอเนตต่อสมบัติความทนต่อแรงดัดโคลงของโฟมเป้งผสมยางธรรมชาติ 35 pph ที่เก็บไว้ 7 วัน ภายใต้ 40 RH%

NaHCO ₃ (pph)	E (MPa)	σ_{max} (MPa)	ϵ_{max} (%)	ϵ_b (%)
0.1	261 ± 25	3.07 ± 0.42	1.55 ± 0.10	1.70 ± 0.23
0.5	215 ± 40	2.67 ± 0.53	1.76 ± 0.16	1.86 ± 0.31
1	213 ± 31	2.45 ± 0.31	1.59 ± 0.09	1.78 ± 0.21

ตารางที่ 4.18 อิทธิพลของปริมาณโซเดียมไบคาร์บอเนตต่อสมบัติความทนต่อแรงดัดໂຄ้งของโพมแป้งผสมยางธรรมชาติ 35 pph ที่เก็บไว้ 7 วันภายใต้ 70 RH%

NaHCO_3 (pph)	E (MPa)	σ_{\max} (MPa)	ε_{\max} (%)	ε_b (%)
0.1	219 ± 25	2.56 ± 0.38	1.55 ± 0.17	2.36 ± 0.9
0.5	174 ± 18	2.05 ± 0.38	1.65 ± 0.21	2.50 ± 0.42
1	156 ± 39	1.69 ± 0.44	1.48 ± 0.08	2.15 ± 0.28

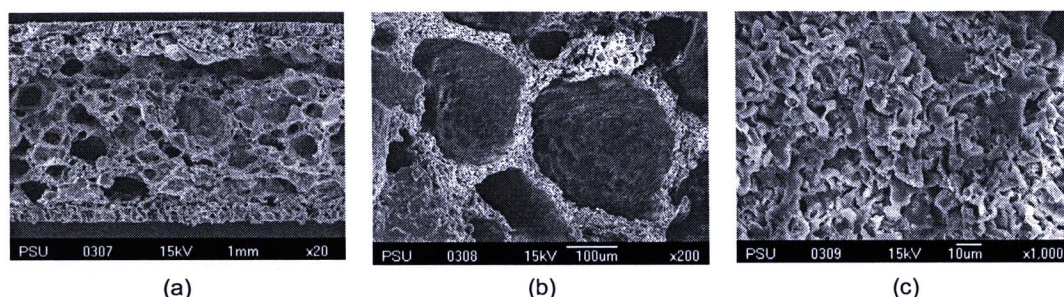
ปริมาณโซเดียมไบคาร์บอเนตมีอิทธิพลต่อความด้านทานต่อแรงกระแทกของโพมและขึ้นอยู่กับความชื้นสัมพัทธ์ดังแสดงในรูปที่ 4.33 ที่ความชื้นสัมพัทธ์ต่ำ ($40 \% \text{RH}$) ความด้านทานต่อแรงกระแทกเพิ่มขึ้นเมื่อปริมาณโซเดียมไบคาร์บอเนตเพิ่มขึ้น ส่วนที่ความชื้นสัมพัทธ์สูง ($70 \% \text{RH}$) ความด้านทานต่อแรงกระแทกมีค่าสูงสุดเมื่อปริมาณโซเดียมไบคาร์บอเนตเท่ากับ 0.5 pph ปริมาณ 1 pph ให้ค่าสูงกว่าปริมาณ 0.1 pph



รูปที่ 4.33 อิทธิพลของปริมาณโซเดียมไบคาร์บอเนตต่อแรงกระแทกของโพมแป้งผสมยางธรรมชาติ 35 pph ที่เก็บไว้ 7 วัน ภายใต้ $40 \% \text{RH}$ และ $70 \% \text{RH}$

รูปที่ 4.34a-c แสดงลักษณะสัณฐานวิทยาของโพมแป้งผสมยางธรรมชาติ 35 pph ที่มีปริมาณโซเดียมไบคาร์บอเนตเท่ากับ 1 pph ลักษณะของโพมยังคงเป็นแบบ skin-core morphology แต่จะสังเกตได้ว่ารอยหักที่ผิวน้ำของโพมไม่เรียบ ขรุขระมากกว่าโพมที่มีโซเดียมไบคาร์บอเนตเท่ากับ 0.1 pph (รูปที่ 4.26b และ 4.34b) รอยที่ผิวน้ำดังกล่าวจะกระตุ้นให้เกิดมาจากการแตกตัวให้ก้าชของสารฟู เมื่อปริมาณโซเดียมไบคาร์บอเนตมากขึ้นขนาดของเซลล์บริเวณแกนกลางมีขนาดเล็กลง ผนังเซลล์มีความหนาลดลงและมีความขรุขระมากขึ้น (รูปที่ 4.26c และ 4.34c) จากการสังเกตลักษณะทางกายภาพของโพมที่มีปริมาณโซเดียมไบคาร์บอเนตต่างกัน พบว่าเมื่อโพมมีสีน้ำตาลและจะคล้ำขึ้นเมื่อปริมาณโซเดียมไบคาร์บอเนตเพิ่มมากขึ้น ซึ่งสอดคล้องกับงานวิจัยของ Lai และคณะ, (1989) และ Zhou และ Hana (2004) นอกจากนี้โซเดียมไบคาร์บอเนตทำให้กระบวนการเตรียมโพมเป็นไปได้ยากขึ้น เนื่องจากโพมเหนียวมาก ติดตันกับแม่แบบ และจะต้องใช้แรงบิดมากขึ้นเมื่อปริมาณโซเดียมไบคาร์บอเนตเพิ่มขึ้น นี่คือข้อเสียถ้าใช้ปริมาณโซเดียมไบคาร์บอเนตมากกว่า 0.1 pph ข้อดีของโซเดียมไบคาร์บอเนตคือราคากลาง หาซื้อได้ง่าย ถึงแม้ว่าปริมาณ

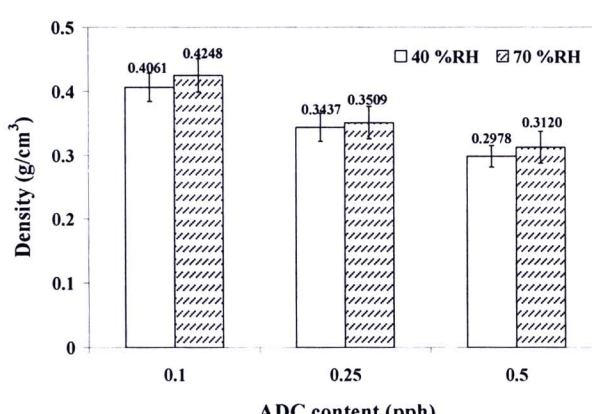
โซเดียมไบคาร์บอเนต 0.5 pph จะให้ค่าความต้านทานต่อแรงกระแทกเพิ่มขึ้น แต่ค่าความหนาแน่นไม่ลดลงและยังก่อให้เกิดปัญหาด้านการขีนรูปโฟม



รูปที่ 4.34 ภาพถ่ายจากกล้องจุลทรรศน์อิเล็กตรอนแบบส่องการดูของโฟมแป้งผสมยางธรรมชาติ 35 pph ที่มีโซเดียมไบคาร์บอเนต 1 pph

4.9.2 อะโซไดคาร์บอนไฮด์ริด (ADC)

อิทธิพลของสารฟูชินิด ADC ต่อความหนาแน่นของโฟมแป้งผสมยางธรรมชาติแสดงในรูปที่ 4.35 จะเห็นได้ว่าความหนาแน่นลดลงตามปริมาณสารฟูที่เพิ่มขึ้น เนื่องจาก ADC เป็นสารฟูที่ใช้ในการเตรียมโฟมยางธรรมชาติ จึงทำให้โฟมมีความหนาแน่นลดลง การเก็บตัวอย่างไว้ที่ความชื้นสัมพัทธ์สูงจะให้ค่าความหนาแน่นสูงขึ้นเล็กน้อยเมื่อเทียบกับการเก็บไว้ที่ความชื้นสัมพัทธ์ต่ำ อาจเป็นเพราะโฟมดูดความชื้นจากบรรยากาศเมื่อเก็บไว้ที่ความชื้นสัมพัทธ์สูง



รูปที่ 4.35 อิทธิพลของปริมาณ ADC ต่อความหนาแน่นของโฟมแป้งผสมยางธรรมชาติ 35 pph ที่เก็บไว้ 7 วัน ภายใต้ 40 %RH และ 70 %RH

อิทธิพลของ ADC ต่อสมบัติความทนต่อแรงดัดโค้งของโฟมแป้งผสมยางธรรมชาติ 35 pph แสดงในตารางที่ 4.19 และ 4.20 สมบัติความทนต่อแรงดัดโค้งมีค่าลดลงตามปริมาณ ADC ที่เพิ่มขึ้น เพราะโฟมที่มีความหนาแน่นต่ำลงจะมีความแข็งแรงลดลง (Lawton *et al.*, 1999) ความชื้นสัมพัทธ์สูงทำให้ความแข็งแรงของโฟมลดลง เนื่องจากการดูดซับความชื้นในบรรยากาศ ดังเช่นที่กล่าวมาแล้วในเบื้องต้น

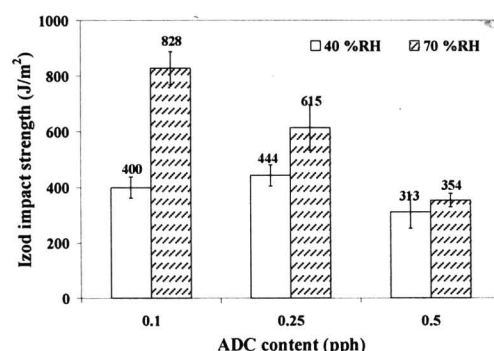
ความต้านทานต่อแรงกระแทกของโฟมมีค่าลดลงตามปริมาณ ADC ยกเว้นตัวอย่างที่ทดสอบที่ 40 %RH ดังแสดงในรูปที่ 4.36 เนื่องจากยางธรรมชาติเกิดเป็นโฟมได้มากขึ้น ทำให้มีโครงอากาศภายในตัวโฟมเพิ่มขึ้น ส่งผลให้ยางธรรมชาติซึ่งทำหน้าที่เป็นตัวรับแรงสามารถรับแรงได้น้อยลง

ตารางที่ 4.19 อิทธิพลของปริมาณ ADC ต่อสมบัติความทนต่อแรงดัดโค้งของโพมแป้งผสมยางธรรมชาติ 35 pph ระยะเวลาในการเก็บตัว 7 วัน ภายใต้ 40 RH%

ADC (pph)	E (MPa)	σ_{max} (MPa)	ϵ_{max} (%)	ϵ_b (%)
0.10	224 ± 33	2.66 ± 0.41	1.71 ± 0.21	1.90 ± 0.33
0.25	179 ± 44	2.13 ± 0.47	1.60 ± 0.19	1.95 ± 0.34
0.50	154 ± 20	1.68 ± 0.22	1.63 ± 0.13	2.12 ± 0.27

ตารางที่ 4.20 อิทธิพลของปริมาณ ADC ต่อสมบัติความทนต่อแรงดัดโค้งของโพมแป้งผสมยางธรรมชาติ 35 pph ระยะเวลาในการเก็บ 7 วัน ภายใต้ 70 RH%

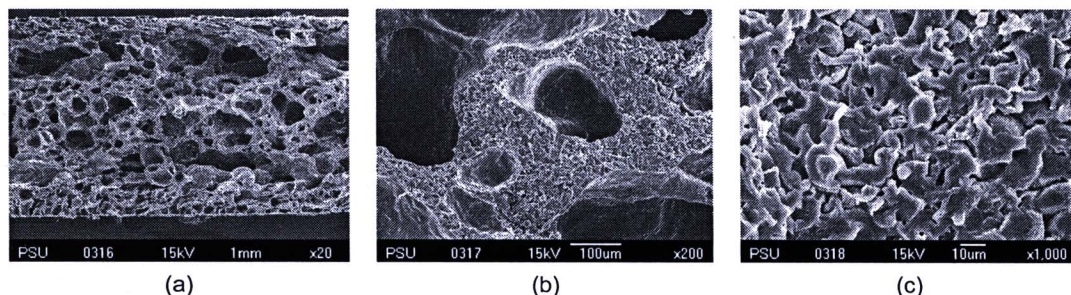
ADC (pph)	E (MPa)	σ_{max} (MPa)	ϵ_{max} (%)	ϵ_b (%)
0.10	184 ± 27	2.16 ± 0.30	1.71 ± 0.17	2.39 ± 0.25
0.25	144 ± 28	1.25 ± 0.28	1.16 ± 0.08	1.60 ± 0.24
0.50	121 ± 18	1.06 ± 0.21	1.17 ± 0.20	1.57 ± 0.24



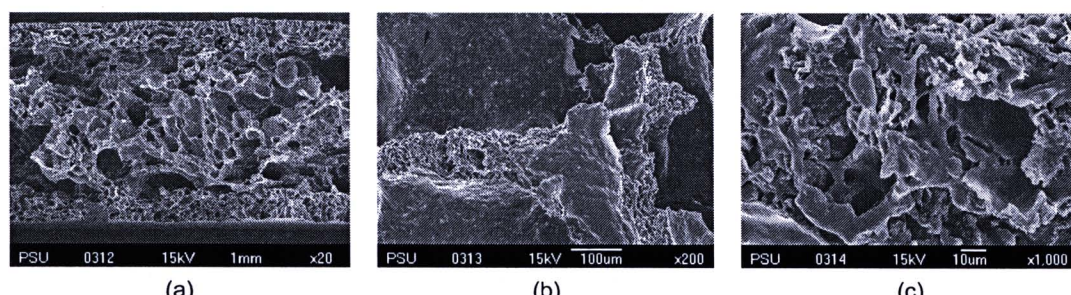
รูปที่ 4.36 อิทธิพลของปริมาณ ADC ต่อความต้านทานต่อแรงกระแทกของโพมแป้งผสมยางธรรมชาติ 35 pph ระยะเวลาในการเก็บ 7 วัน ภายใต้ 40 %RH และ 70 %RH

รูปที่ 4.37a-c, รูปที่ 4.38a-c และ รูปที่ 4.39a-c แสดงลักษณะสัณฐานวิทยาของโพมแป้งผสมยางธรรมชาติที่ปริมาณ ADC เท่ากับ 0.10-0.50 pph ตามลำดับ พนว่าโพมแป้งผสมยางธรรมชาติมีโครงอากาศขยายใหญ่ขึ้นเมื่อปริมาณ ADC เพิ่มขึ้น เมื่อเปรียบเทียบระหว่างโพมแป้งผสมยางธรรมชาติ 35 pph ที่เติมโซเดียมไบคาร์บอเนต (รูปที่ 4.26) พนว่าที่ปริมาณ ADC เท่ากับ 0.1 pph ทำให้ได้ชิ้นงานที่มีลักษณะภายในของโพมไม่แตกต่างกัน สิ่งของโพมไม่เปลี่ยนแปลงเมื่อใช้ ADC แตกต่างกัน และจากการสังเกตลักษณะทางกายภาพที่ปรากฏหลังการขันรูปของโพมที่ใช้ ADC และโซเดียมไบคาร์บอเนตที่ปริมาณเท่ากับ 0.50 pph พนว่าโพมจาก ADC มีความหนาแน่น้อยกว่า สารฟูหั้ง 2 ชนิดมีความสามารถในการแตกตัวให้ก้าชที่อุณหภูมิไม่เท่ากัน และปริมาณก้าชที่ให้หลังการแตกตัวไม่เท่ากัน ขึ้นอยู่กับปริมาณและสภาพการใช้ของสารฟูแต่ละชนิด โดยโซเดียมไบคาร์บอเนตสามารถแตกตัวอย่างช้าๆ ได้ที่อุณหภูมิ 100°C แต่จะแตกตัวอย่างรวดเร็วเมื่ออุณหภูมิเท่ากับ 140°C และให้ก้าชประมาณ 267 ml/g ในขณะที่ ADC แตกตัวในช่วงอุณหภูมิเท่ากับ $170\text{-}205^{\circ}\text{C}$ และให้ก้าชประมาณ 220 ml/g เมื่อพิจารณาที่ปริมาณการใช้เท่ากัน ADC จะแตกตัวให้ปริมาณก้าชน้อยกว่า แต่จะแตกตัวได้ที่อุณหภูมิสูงกว่าโซเดียมไบคาร์บอเนต แต่เมื่อพิจารณาความเหมาะสมของ การใช้สารฟูแต่ละตัวพบว่าโซเดียมไบคาร์บอเนตไม่เหมาะสมกับการใช้งานที่ใช้ความตันสูง เพราะทำให้ประสิทธิภาพการ

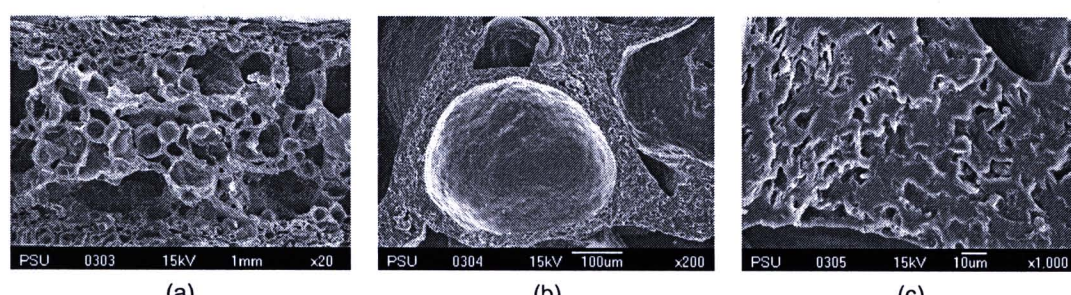
ปล่อยกําชลลง และอาจจะต้องใช้ร่วมกับกรดต่างๆเพื่อเป็นตัวกระตุนให้สารฟูแทกตัวได้ดีขึ้น ส่วน ADC ในบางครั้งจำเป็นต้องใช้สารกระตุนเพื่อเพิ่มประสิทธิภาพในการทำให้ ADC แตกตัวเรียกว่า "Kicker" เช่น ซิงค์ออกไซด์ (zinc oxide) ไกลคอล (glycol) หรืออูเรีย (urea) เป็นต้น (สมศักดิ์, 2547)



รูปที่ 4.37 ภาพถ่ายจากกล้องจุลทรรศน์อิเล็กตรอนแบบส่องการดูของโฟมแบ้งผสมยางธรรมชาติ 35 pph และ ADC 0.1 pph



รูปที่ 4.38 ภาพถ่ายจากกล้องจุลทรรศน์อิเล็กตรอนแบบส่องการดูของโฟมแบ้งผสมยางธรรมชาติ 35 pph ผสม ADC 0.25 pph



รูปที่ 4.39 ภาพถ่ายจากกล้องจุลทรรศน์อิเล็กตรอนแบบส่องการดูของโฟมแบ้งผสมยางธรรมชาติ 35 pph ที่ ADC เท่ากับ 0.5 pph

จากการทดลองใช้สารฟูเพื่อลดความหนาแน่นของโฟมแบ้งผสมยางธรรมชาติ ดังกล่าว พบร้าโซเดียมไบคาร์บอเนตไม่มีผลต่อความหนาแน่น และสมบัติความทานต่อแรงดัดโค้งของโฟมแบ้งผสมยางธรรมชาติมีแนวโน้มลดลง แต่ทำให้สมบัติความต้านทานต่อแรงกระแทกเพิ่มขึ้น แต่จะเพิ่มความยุ่งยากในขั้นตอนการขึ้นรูปโฟม ADC ทำให้ความหนาแน่น สมบัติความทานต่อแรงดัดโค้ง และสมบัติความต้านทานต่อแรงกระแทกลดลง ดังนั้นจึงเลือกปริมาณโซเดียมไบคาร์บอเนตเท่ากับ 0.1 pph เพื่อเตรียมโฟมแบ้งผสมยางธรรมชาติในการทดลองต่อไป โดยเลือกใช้สารฟูสองชนิด

4.10 อิทธิพลของสารเริ่มปฏิกิริยาต่อความหนาแน่นและสมบัติเชิงกลของโฟมเป้งมันสำปะหลังผสมน้ำยาหงษ์ธรรมชาติ

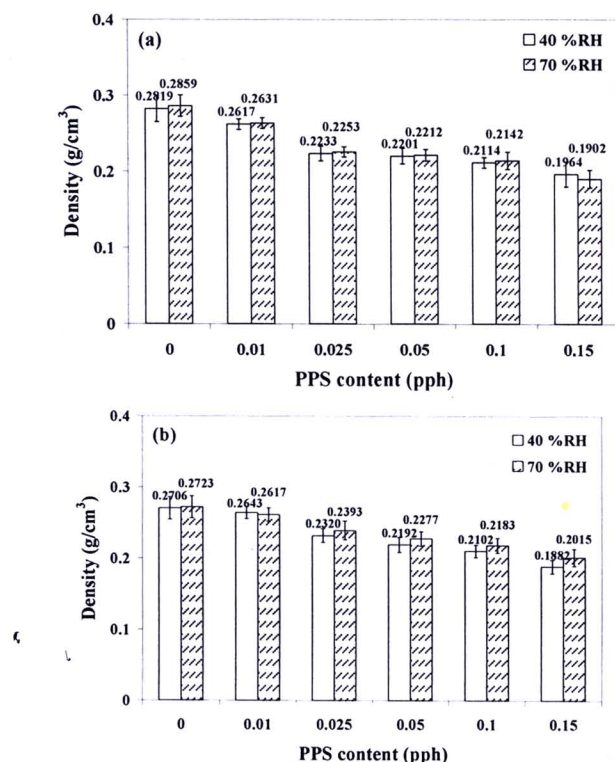
จากการผสมระหว่างแป้งมันสำปะหลังและน้ำยาหงาร์มชาติในการเตรียมโฟม พบว่าแป้งมันสำปะหลังและน้ำยาหงาร์มชาติมีความสามารถในการเข้ากันได้ในระดับหนึ่ง แต่น้ำยาหงาร์มชาติจะเกิดการจับตัวเป็นก้อน โดยทั่วไปเมื่อแป้งมันสำปะหลังและน้ำยาหงาร์มชาติมีค่า pH ประมาณ 6 ส่งผลให้น้ำยาหงาร์มชาติจับตัวในขณะทำการผสมกับแป้งมันสำปะหลัง จึงเป็นเหตุให้แป้งและน้ำยาหงาร์มชาติผสมเข้ากันได้ไม่ดีนัก ดังนั้นเพื่อต้องการให้เกิดปฏิกิริยากราฟท์โคพอลิเมอร์ระหว่างแป้งมันสำปะหลังและน้ำยาหงาร์มชาติในระหว่างการให้ความร้อนในขณะที่ขึ้นรูปเป็นโฟม หรือที่เรียกว่า *in situ grafting* จึงเลือกใช้สารริเริ่มปฏิกิริยาสองชนิดคือ โพแทสเซียมเพอร์ซัลเฟต (potassium persulphate, PPS) ซึ่งเป็นสารริเริ่มปฏิกิริยาที่ละลายน้ำ และเบนโซิลเบปอร์ออกไซด์ (benzoyl peroxide, BPO) เป็นสารริเริ่มปฏิกิริยาที่ไม่ละลายน้ำ สารริเริ่มปฏิกิริยาทั้งสองชนิดสามารถเกิดอนุมูลอิสระขึ้นโดยกลุ่มของแป้งมันสำปะหลังและน้ำยาหงาร์มชาติ ทำให้เกิดการเชื่อมโยงกันระหว่างพอลิเมอร์ทั้งสอง จากรายงานวิจัยที่ผ่านมาพบว่า PPS เหมาะแก่การเกิดปฏิกิริยาขับแป้ง เพราะว่า PPS สามารถละลายน้ำได้ สามารถใช้ PPS เป็นสารริเริ่มปฏิกิริยาที่แตกตัวแบบบีเดออาช์และแบบแตกตัวด้วยความร้อน และมีการนำ PPS มาใช้ในการสังเคราะห์กราฟท์โคพอลิเมอร์ของน้ำยาหงาร์มชาติกับพอลิเมอร์ชนิดต่างๆ (Kaewtatip and Tanrattanakul, 2008; Paveena, 2005; Sittipong, 2004) ส่วน BPO เป็นสารริเริ่มปฏิกิริยาชนิดที่แตกตัวด้วยความร้อนทำให้ยานหงาร์มชาติเกิดการเชื่อมขวางกันได้ (Kiatkamjornwong et al., 2001) และยังใช้ในการทำให้เกิดกราฟท์โคพอลิเมอร์ระหว่างแป้งและพอลิเอทิลีน (Lourdin et al., 1995)

4.10.1 การແປ່ງປົມານ PPS ທີ່ປົມານຍາງຮຽມຈາຕິຄົງທີ່

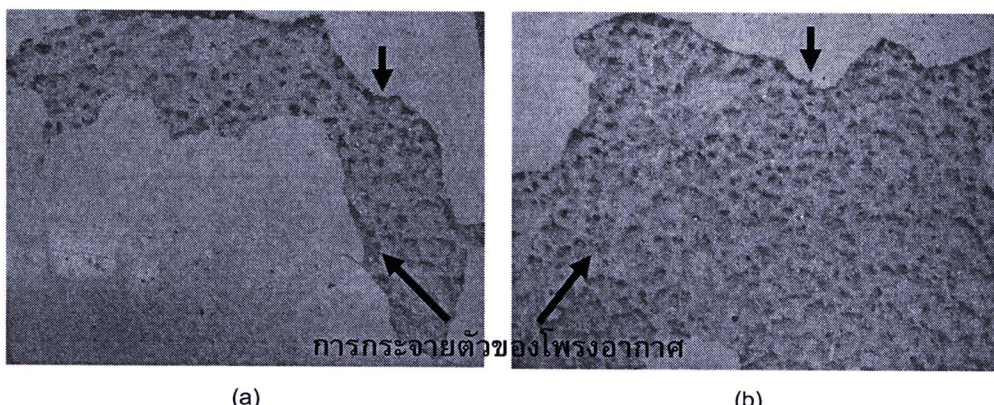
ทำการศึกษาอิทธิพลของสารเริ่มปฏิกิริยาต่อความหนาแน่น และสมบัติเชิงกลของโฟมแป้งผสอย่างธรรมชาติ เลือกใช้โฟมแป้งผสอย่างธรรมชาติ 15 pph แปรปริมาณ PPS ตั้งแต่ 0, 0.01, 0.025, 0.05, 0.10 และ 0.15 pph ละลาย PPS ด้วยน้ำก่อนผสมกับแป้งมันสำปะหลังและน้ำยางธรรมชาติ เพื่อให้ PPS สามารถกระจายเข้าไปในเฟล๊อก แป้งมันสำปะหลังและน้ำยางธรรมชาติได้ในระหว่างการผสมและขึ้นรูป ระยะเวลาในการเก็บตัวอย่าง 2 วัน และ 7 วัน ภายใต้ 40 %RH และ 70 %RH

ผลการศึกษาอิทธิพลของปริมาณ PPS ต่อความหนาแน่นของฟอยม์แป้งผสมยางธรรมชาติ 15 rph และในรูปที่ 4.40 箕ิราณภัยได้ 40 %RH ที่ระยะเวลาในการเก็บตัวอย่าง 2 วัน พบว่าความหนาแน่นลดลงเมื่อ PPS เพิ่มขึ้น โดยค่าความหนาแน่นที่ได้จะอยู่ในช่วง $0.1964-0.2819 \text{ g/cm}^3$ และ箕ิราณภัย 70 %RH พบว่าความหนาแน่นมีแนวโน้มลดลงเช่นเดียวกันซึ่งความหนาแน่นที่ได้อยู่ในช่วง $0.1902-0.2859 \text{ g/cm}^3$ ที่ระยะเวลาในการเก็บตัวอย่าง 7 วัน (รูปที่ 4.40b) ความหนาแน่นมีค่าลดลงเมื่อปริมาณ PPS เพิ่มขึ้น โดยค่าความหนาแน่นที่ความชื้นสัมพัทธ์ 40% และ 70% อยู่ในช่วง $0.1882-0.2706 \text{ g/cm}^3$ และ $0.2015-0.2723 \text{ g/cm}^3$ ตามลำดับ การลดลงของความหนาแน่นจะสามารถอธิบายได้ด้วยการลดลงของน้ำหนักโมเลกุลของยางธรรมชาติซึ่งจะได้อธิบายต่อไป

จากการสังเกตสีของโฟมแบ่งผลสมย่างธรรมชาติที่เติม PPS พบว่าสีของโฟมคล้ำขึ้นเมื่อปริมาณ PPS เพิ่มขึ้น โดยโฟมที่เติม PPS ตั้งแต่ 0-0.05 pph มีสีเหมือนกัน แต่เมื่อปริมาณ PPS เพิ่มขึ้นเท่ากับ 0.10 pph จะพบว่าโฟมมีสีคล้ำขึ้นโดยที่เปลี่ยนจากสีขาวครีมไปเป็นสีน้ำตาลอ่อน รูปที่ 4.41a และ 4.41b แสดงลักษณะโดยรวมของโฟมแบ่งผลสมย่างธรรมชาติที่เติม PPS เท่ากับ 0.25 pph และ 0.5 pph ตามลำดับ จะเห็นได้ว่าลักษณะของโครงอากาศมีความแตกต่างกันเมื่อปริมาณ PPS เพิ่มขึ้น โดยโฟมแบ่งผลสมย่างธรรมชาติที่ไม่เติม PPS มีโครงอากาศกระจายตัวอย่างสม่ำเสมอ แต่เมื่อมี PPS ตั้งแต่ 0.25 pph เป็นต้นไปโครงอากาศจะกระจายตัวไม่สม่ำเสมออั้งแสดงในรูป และโฟมมีผิวด้านบนและด้านล่างบางมาก เมื่อแกะโฟมออกจากแม่แบบ โฟมเกิดความเสียหายไม่สามารถนำมาเตรียมเป็นชิ้นทดลองได้



รูปที่ 4.40 กราฟแสดงอิทธิพลของ PPS ต่อความหนาแน่นของฟิล์มแพ้งผสานยางธรรมชาติ 15 pph เก็บภายใต้ 40 %RH และ 70 %RH ระยะเวลาในการเก็บ: (a) 2 วัน และ (b) 7 วัน



รูปที่ 4.41 ภาพถ่ายจากกล้องถ่ายรูปดิจิตอลแสดงลักษณะของฟิล์มแพ้งผสานยางธรรมชาติ 15 pph โดยเติม PPS เท่ากับ (a) 0.25 pph และ (b) 0.50 pph

เมื่อ PPS เพิ่มขึ้นทำให้ความหนาแน่นลดลง อาจเนื่องมาจากปริมาณ PPS ที่เพิ่มขึ้นส่งผลให้เกิดปฏิกิริยาข้างเคียง โดยพอลิเมอร์อาจมีอนุมูลอิสระเกิดขึ้น และเห็นได้จากการตัดขาดของสายโซ่ไมเลกุล ทำให้สายโซ่ไมเลกุลของพอลิเมอร์สั้นลง ส่งผลให้น้ำหนักโมเลกุลของพอลิเมอร์ลดลง PPS ได้ถูกนำไปใช้เป็นสารสำหรับลดน้ำหนักโมเลกุลของยางธรรมชาติ (อรสา, 2546) โดยในตารางที่ 4.21 แสดงน้ำหนักโมเลกุลของยางธรรมชาติ จากฟิล์มแพ้งผสานยางธรรมชาติ 15 pph และมีปริมาณ PPS ระหว่าง 0-0.10 pph ทดสอบหน้าหนักโมเลกุลของยางธรรมชาติด้วยเทคนิคเจลเปอร์เมชันโครมาโทกราฟี (gel permeation chromatography, GPC) พบว่าหนักโมเลกุลของยาง

ธรรมชาติลดลงเมื่อปริมาณ PPS เพิ่มขึ้น เพราะการใช้ PPS ในปริมาณที่มากขึ้นหนีบว่านำให้เกิดการตัดสายโซ่ไม่เลกุลของยางธรรมชาติ ทำให้น้ำหนักโมเลกุลของยางธรรมชาติลดลง

ตารางที่ 4.21 น้ำหนักโมเลกุลของยางธรรมชาติ ที่มีปริมาณ PPS ตั้งแต่ 0-0.10 pph จากเทคนิค GPC

PPS content (pph)	$\overline{M_w}$	$\overline{M_n}$	$\overline{M_w} / \overline{M_n}$
0	1,989,681	668,579	2.97599
0.025	1,130,594	388,658	2.90897
0.05	313,023	110,606	2.83006
0.10	256,487	105,627	2.42822

อิทธิพลของ PPS ต่อสมบัติความทนต่อแรงดึงของฟอยมแป้งผสมยางธรรมชาติ ที่ระยะเวลาในการเก็บ 2 วัน แสดงในตารางที่ 4.22 พิจารณาภายใต้ 40 %RH พบว่าค่า E และ σ_{max} มีแนวโน้มลดลง โดยค่า E ลดลงจาก 321 MPa เป็น 131 MPa และค่า σ_{max} ลดลงจาก 3.80 MPa เป็น 1.23 MPa เมื่อปริมาณ PPS เพิ่มขึ้นจาก 0-0.15 pph ส่วนค่าความเครียดหักค่า ϵ_{max} และค่า ϵ_b มีค่าใกล้เคียงกันเมื่อปริมาณ PPS เพิ่มขึ้น และพิจารณาภายใต้ 70 %RH พบว่าเมื่อปริมาณ PPS เพิ่มขึ้นจาก 0-0.15 pph ค่า E และ σ_{max} มีแนวโน้มลดลงจาก 272 MPa เป็น 109 MPa และค่า σ_{max} ลดลงจาก 3.43 MPa ไปเป็น 1.02 MPa ส่วนค่า ϵ_{max} และ ϵ_b มีค่าใกล้เคียงกัน

ตารางที่ 4.22 สมบัติความทนต่อแรงดึงของฟอยมแป้งผสมยางธรรมชาติ 15 pph แปรปริมาณ PPS ระหว่าง 0-0.15 pph ระยะเวลาในการเก็บ 2 วัน ภายใต้ 40 %RH และ 70 %RH

Relative humidity (%)	PPS content (pph)	E (MPa)	σ_{max} (Mpa)	ϵ_{max} (%)	ϵ_b (%)
40	0	321 ± 45	3.80 ± 0.35	1.43 ± 0.28	1.47 ± 0.28
	0.01	250 ± 24	3.50 ± 0.57	1.86 ± 0.24	1.88 ± 0.25
	0.025	206 ± 19	2.67 ± 0.38	1.79 ± 0.29	1.90 ± 0.35
	0.05	207 ± 37	2.49 ± 0.45	1.56 ± 0.21	1.78 ± 0.31
	0.10	192 ± 28	2.15 ± 0.36	1.60 ± 0.28	1.69 ± 0.30
	0.15	131 ± 19	1.23 ± 0.29	1.42 ± 0.25	1.48 ± 0.27
70	0	272 ± 51	3.43 ± 0.73	1.56 ± 0.19	1.60 ± 0.20
	0.01	251 ± 34	3.69 ± 0.58	2.05 ± 0.43	2.15 ± 0.46
	0.025	172 ± 16	1.78 ± 0.25	1.33 ± 0.14	1.79 ± 0.29
	0.05	170 ± 29	2.15 ± 0.39	1.84 ± 0.41	1.81 ± 0.42
	0.10	167 ± 28	1.77 ± 0.38	1.46 ± 0.15	1.71 ± 0.13
	0.15	109 ± 17	1.02 ± 0.17	1.30 ± 0.22	1.43 ± 0.22

ตารางที่ 4.23 แสดงอิทธิพลของ PPS ต่อสมบัติความทนต่อแรงดึงของฟอยมแป้งผสมยางธรรมชาติ ที่ระยะเวลาในการเก็บ 7 วัน พิจารณาภายใต้ 40 %RH พบว่าเมื่อปริมาณ PPS เพิ่มขึ้นจาก 0-0.15 pph ทำให้ค่า E และ σ_{max} มีแนวโน้มลดลง โดยค่า E ลดลงจาก 325 MPa เป็น 164 MPa และค่า σ_{max} ลดลงจาก 4.29 MPa เป็น

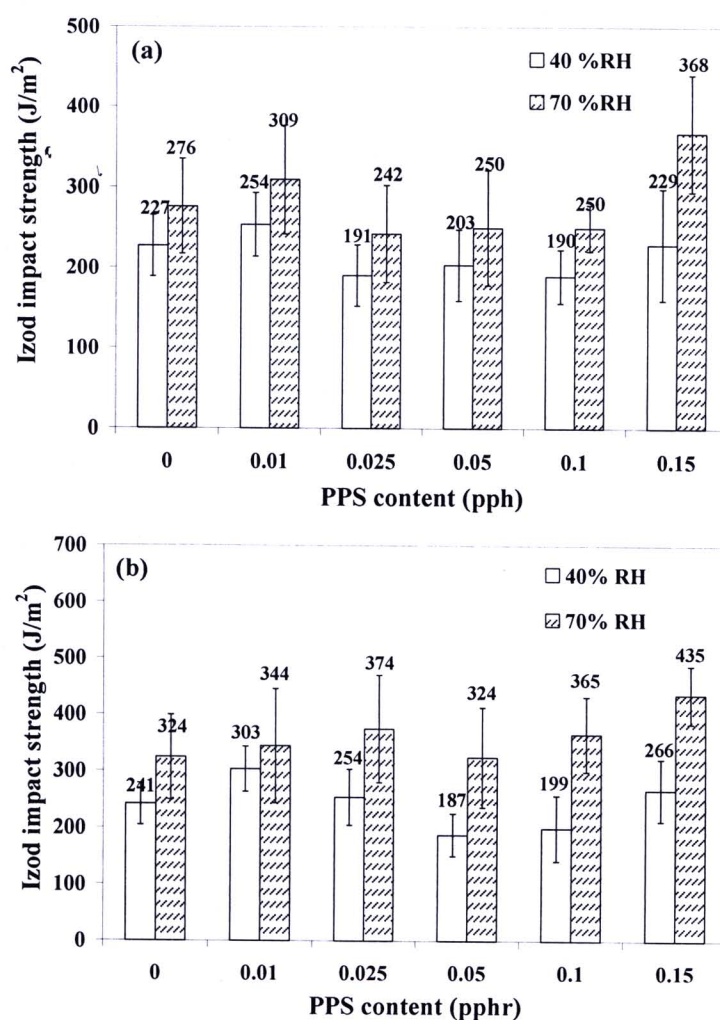
1.50 MPa ตามลำดับ ส่วนค่า ε_{max} และ ε_b มีค่าใกล้เคียงกัน พิจารณาภายใต้ 70 %RH พบว่าเมื่อปริมาณ PPS เพิ่มขึ้นจาก 0-0.15 pph ทั้งค่า E และ σ_{max} มีแนวโน้มลดลงจาก 279 MPa เป็น 95 MPa และค่า σ_{max} ลดลงจาก 3.19 MPa เป็น 0.74 MPa ตามลำดับ ส่วนค่า ε_{max} และ ε_b มีค่าใกล้เคียงกัน การเติม PPS ลงไปในโพฟแมปส์อย่างธรรมชาติทำให้ค่า E และ σ_{max} ลดลง เนื่องจากยางธรรมชาติมีน้ำหนักโมเลกุลลดลง เพราะ PPS เข้าไปตัดสายโซ่โมเลกุลของยางธรรมชาติ โดยพบว่าโพฟที่มีปริมาณ PPS สูงกว่าจะมีผิดตัวบนและผิดตัวน้ำที่บางกว่าและมีการกระจายตัวของโพรงอากาศที่ไม่สม่ำเสมอมากกว่าโพฟที่มีปริมาณ PPS ต่ำกว่า เพราะยางธรรมชาติที่ถูกตัดสายโซ่จะขัดขวางการเกิดโพฟน้อยกว่าธรรมชาติที่มีน้ำหนักโมเลกุลสูง

ตารางที่ 4.23 สมบัติความทนต่อแรงดึงดูดของโพฟแมปส์อย่างธรรมชาติ 15 pph แบบปริมาณ PPS ระหว่าง 0-0.15 pph ระยะเวลาในการเก็บ 7 วัน ภายใต้ 40 %RH และ 70 %RH

Relative humidity (%)	PPS content (pph)	E (Mpa)	σ_{max} (Mpa)	ε_{max} (%)	ε_b (%)
40	0	325 ± 34	4.29 ± 0.59	1.65 ± 0.14	1.68 ± 0.13
	0.01	287 ± 35	3.82 ± 0.45	1.75 ± 0.18	1.84 ± 0.17
	0.025	230 ± 25	2.96 ± 0.38	1.85 ± 0.25	1.91 ± 0.39
	0.05	220 ± 34	2.60 ± 0.37	1.64 ± 0.15	1.75 ± 0.15
	0.10	178 ± 21	1.99 ± 0.33	1.42 ± 0.09	1.53 ± 0.10
	0.15	164 ± 38	1.50 ± 0.44	1.30 ± 0.17	1.42 ± 0.23
70	0	279 ± 42	3.19 ± 0.55	1.39 ± 0.12	1.46 ± 0.13
	0.01	189 ± 18	1.54 ± 0.25	1.12 ± 0.33	1.27 ± 0.30
	0.025	164 ± 15	1.49 ± 0.14	1.13 ± 0.10	1.36 ± 0.21
	0.05	154 ± 17	1.18 ± 0.12	0.93 ± 0.08	1.13 ± 0.05
	0.10	148 ± 21	1.22 ± 0.23	1.04 ± 0.15	1.16 ± 0.14
	0.15	95 ± 15	0.74 ± 0.11	0.96 ± 0.15	1.54 ± 0.24

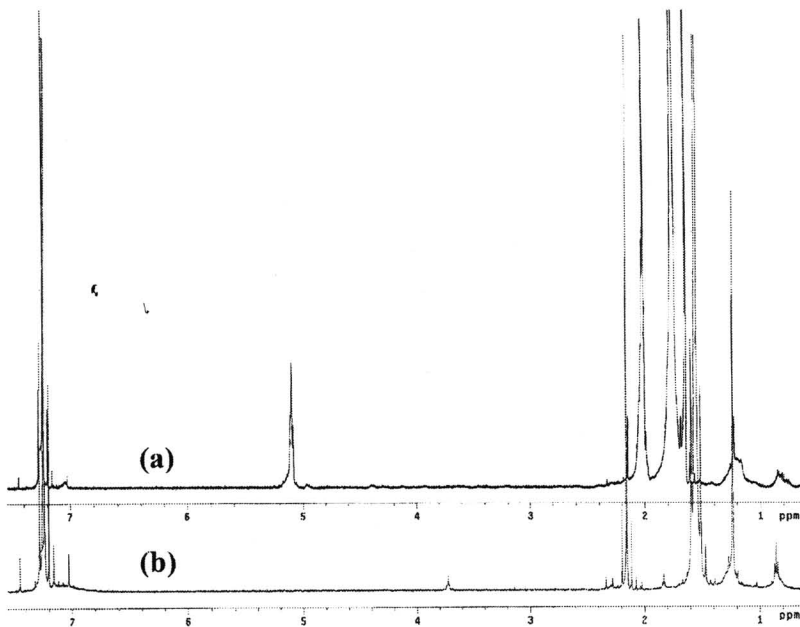
ผลการทดสอบสมบัติความต้านทานต่อแรงกระแทกของโพฟสม์อย่างธรรมชาติ ที่เติม PPS ระยะเวลาในการเก็บ 2 วัน แสดงในรูปที่ 4.42a พิจารณาภายใต้ 40 %RH พบว่าเมื่อปริมาณ PPS เพิ่มขึ้นจาก 0-0.15 pph มีสมบัติความต้านทานต่อแรงกระแทกอยู่ในช่วง 190-254 J/m² พิจารณาที่ 70 %RH พบว่าเมื่อปริมาณ PPS เพิ่มขึ้นจาก 0-0.15 pph สมบัติความต้านทานต่อแรงกระแทกจะอยู่ในช่วง 242-368 J/m² โดยที่ปริมาณ PPS เท่ากับ 0.15 pph ให้สมบัติความต้านทานต่อแรงกระแทกสูงสุดเมื่อเท่ากับ 368 J/m² รูปที่ 4.42b แสดงอธิผลของ PPS ต่อสมบัติความต้านทานต่อแรงกระแทกของโพฟแมปส์อย่างธรรมชาติ 15 pph ที่ระยะเวลาในการเก็บ 7 วัน พิจารณาภายใต้ 40 %RH พบว่าเมื่อปริมาณ PPS เพิ่มขึ้นจาก 0-0.15 pph ทำให้สมบัติความต้านทานต่อแรงกระแทกที่ได้อยู่ในช่วง 187-266 J/m² ซึ่งค่าที่ได้ดังกล่าวใกล้เคียงกันแม้ว่าจะมีแนวโน้มลดลง พิจารณาภายใต้ 70 %RH พบว่าสมบัติความต้านทานต่อแรงกระแทกที่ได้อยู่ในช่วง 324-435 J/m² โดยค่าที่ได้มีแนวโน้มเพิ่มขึ้นเล็กน้อย เมื่อปริมาณ PPS เพิ่มขึ้นจาก 0-0.15 pph การเติม PPS ในปริมาณที่เพิ่มขึ้นไม่ได้ทำให้สมบัติความต้านทานต่อแรงกระแทกของโพฟเปลี่ยนแปลง ดังนั้นสามารถบอกได้ว่าการลดลงของน้ำหนักโมเลกุลของยางธรรมชาติไม่มีผลต่อสอบสมบัติความต้านทานต่อแรงกระแทก แต่จะส่งผลต่อสมบัติความทนต่อแรงดึงดูด

เพื่อเป็นการพิสูจน์ว่าการเติม PPS ใน การเตรียมฟอยล์ปั๊บสมย่างธรรมชาติ ทำให้เกิดปฏิกิริยากราฟฟ์โคโพลีเมอร์ระหว่างการขึ้นรูปฟอยล์ จึงได้ทำการตรวจสอบฟอยล์ปั๊บสมย่างธรรมชาติที่มีการเติม PPS ด้วยเทคนิค $^1\text{H-NMR}$ โดยการนำฟอยล์ปั๊บสมย่างธรรมชาติ 15 pph ที่ไม่เติม PPS ไปทำ Soxhlet extraction ตามวิธีการที่กล่าวมาแล้ว และนำไปตรวจสอบด้วยเทคนิค $^1\text{H-NMR}$ ผลการทดสอบแสดงในรูปที่ 4.43 (เส้น b) พบว่าไม่มีสัญญาณที่ตำแหน่ง 5.10 ppm ซึ่งเป็นตำแหน่งของพันธะคู่ในสเปกตรัมของย่างธรรมชาติ และแสดงว่าในการทำ Soxhlet extraction ย่างธรรมชาติได้ถูกสกัดออกไปหมด สเปคตัม a ได้จากการนำฟอยล์ปั๊บสมย่างธรรมชาติ 15 pph ที่เติม PPS เท่ากับ 0.025 pph ไปทำ Soxhlet extraction ด้วยวิธีการเดียวกันไป และตรวจสอบด้วยเทคนิค $^1\text{H-NMR}$ พบว่าฟอยล์ปั๊บสมย่างธรรมชาติที่เติม PPS มีสัญญาณที่ตำแหน่ง 5.10 ppm ซึ่งเป็นสเปกตรัมของย่างธรรมชาติ โดยที่สเปกตรัมดังกล่าวที่ได้มีลักษณะเหมือนกันกับรูปที่ 4.7 ซึ่งได้อธิบายไว้แล้วในหัวข้อที่ 4.3 ดังนั้นจากการตรวจสอบด้วยเทคนิค $^1\text{H-NMR}$ สามารถสรุปได้ว่าเกิดปฏิกิริยากราฟฟ์โคโพลีเมอร์เชิงระห่ำระหว่างการขึ้นรูปของปั๊บสมยังธรรมชาติ



รูปที่ 4.42 กราฟแสดงอิทธิพลของ PPS ต่อสมบัติความต้านทานต่อแรงกระแทกของฟอยล์ปั๊บสมย่างธรรมชาติ 15 pph แบร์บริมาณ PPS ระหว่าง 0-0.15 pph เก็บตัวอย่างภายใต้ 40 %RH และ 70 %RH ระยะเวลาในการเก็บ: (a) 2 วัน และ (b) 7 วัน

จากการทดลองแปรปริมาณ PPS เพื่อเลือกปริมาณ PPS ที่เหมาะสม จากการพิจารณาลักษณะทางกายภาพพบว่าที่ปริมาณ PPS ต่ำกว่า 0.05 pph สีของแผ่นฟอยม์ที่ได้ไม่มีการเปลี่ยนแปลง โดยสีใกล้เคียงกันกับฟอยม์ที่ไม่เติม PPS เมื่อพิจารณาลักษณะการกระจายตัวของโครงอากาศ พบว่าที่ 0.025 pph ฟอยมีการกระจายของโครงอากาศสม่ำเสมอกว่าที่ 0.05 pph จากค่าความหนาแน่น และสมบัติเชิงกลที่ได้ใกล้เคียงกัน ดังนั้นในการทดลองต่อไปจะเลือก PPS เท่ากับ 0.025 pph เพื่อทำการศึกษาอิทธิพลของ PPS ต่อสมบัติต่างๆ ของฟอยม์แป้งมันสำปะหลังผสมน้ำยาางธรรมชาติที่ทำการแปรปริมาณของยางธรรมชาติ



รูปที่ 4.43 $^1\text{H-NMR}$ สเปกตรัมของฟอยม์แป้งสมายางธรรมชาติ 15 pph หลัง Soxhlet extraction โดยที่ (a) เติม PPS เท่ากับ 0.025 pph และ (b) ไม่เติม PPS

4.10.2 การแปรปริมาณยางธรรมชาติที่ปริมาณ PPS คงที่

การทดลองนี้ศึกษาสมบัติต่างๆ ของฟอยม์ผสมยางธรรมชาติ โดยแปรปริมาณยางธรรมชาติเท่ากับ 15, 20, 25, 30 และ 35 pph และให้ปริมาณของ PPS คงที่เท่ากับ 0.025 pph ระยะเวลาในการเก็บตัวอย่าง 2 วัน และ 7 วัน ภายใต้ 40 %RH และ 70 %RH

ตารางที่ 4.24 แสดงความหนาแน่นของฟอยม์แป้งสมายางธรรมชาติที่มีการเติม PPS แปรปริมาณยางธรรมชาติ 15-35 pph ที่ระยะเวลาในการเก็บ 2 วัน ที่ 40 %RH ความหนาแน่นเพิ่มขึ้นเมื่อปริมาณยางธรรมชาติเพิ่มขึ้นจาก 15-35 pph โดยที่ค่าความหนาแน่นที่ได้เพิ่มขึ้นจาก $0.2233-0.4001 \text{ g/cm}^3$ และการเก็บภายในภายใต้ 70 %RH ความหนาแน่นเพิ่มขึ้นเมื่อปริมาณยางธรรมชาติเพิ่มขึ้นจาก 15-35 pph โดยค่าความหนาแน่นที่ได้เพิ่มขึ้นจาก $0.2253-0.4038 \text{ g/cm}^3$ ที่ระยะเวลาในการเก็บ 7 วัน พิจารณาภายใต้ 40 %RH และ 70 %RH พบว่าเมื่อปริมาณยางธรรมชาติเพิ่มขึ้นจาก 15-35 pph ทำให้มีค่าความหนาแน่นเพิ่มขึ้น โดยค่าความหนาแน่นที่ได้มีเพิ่มขึ้นจาก $0.2320-0.4000 \text{ g/cm}^3$ และจาก $0.2393-0.4035 \text{ g/cm}^3$ ตามลำดับ การเติมน้ำยาางธรรมชาติทำให้ฟอยม์แป้งมีความหนาแน่นเพิ่มขึ้น

ตารางที่ 4.24 ความหนาแน่นของโพมแป้งผสมยางธรรมชาติที่มี PPS ปริมาณ 0.025 pph ระยะเวลาในการเก็บ 2 วัน และ 7 วัน เก็บภายใต้ 40 %RH และ 70 %RH

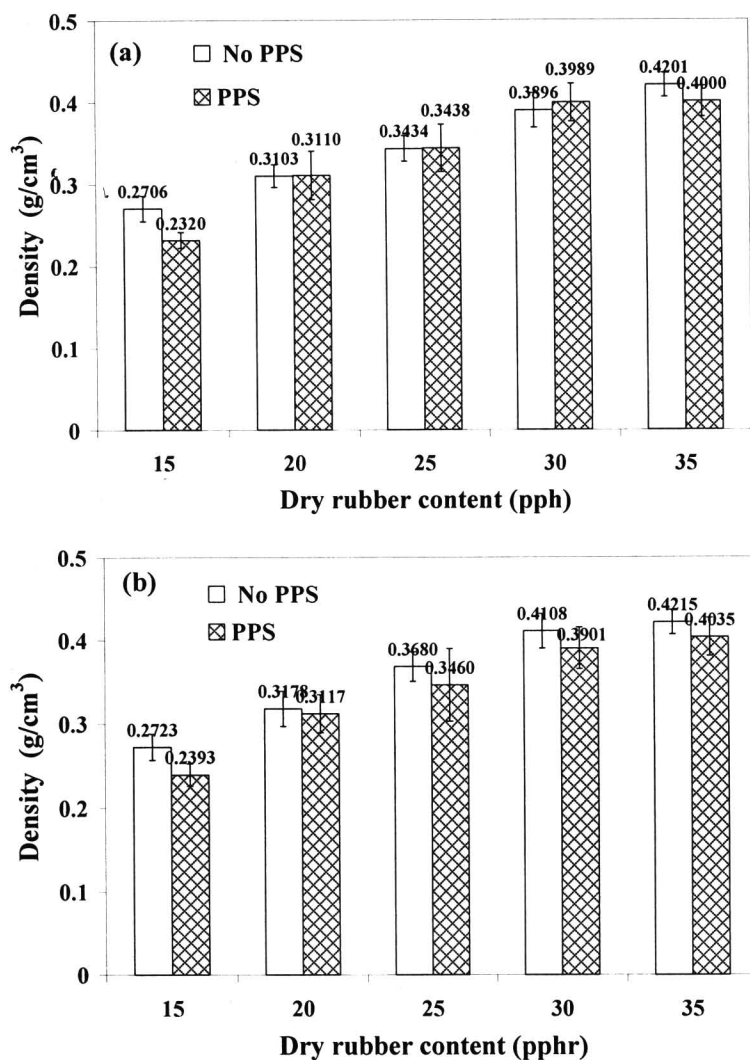
Storage time (day)	Dry rubber content (pph)	Density (g/cm^3)	
		40 %RH	70 %RH
2	15	0.2233 ± 0.0096	0.2253 ± 0.0067
	20	0.3007 ± 0.0222	0.3017 ± 0.0284
	25	0.3415 ± 0.0399	0.3498 ± 0.0435
	30	0.4079 ± 0.0174	0.4023 ± 0.0149
	35	0.4001 ± 0.0195	0.4038 ± 0.0189
7	15	0.2320 ± 0.0096	0.2393 ± 0.0132
	20	0.3110 ± 0.0295	0.3117 ± 0.0226
	25	0.3438 ± 0.0289	0.3460 ± 0.0434
	30	0.3889 ± 0.0231	0.3901 ± 0.0250
	35	0.4000 ± 0.0185	0.4035 ± 0.0231

กราฟแสดงการเปรียบเทียบความหนาแน่นของโพมแป้งผสมยางธรรมชาติ ที่มีการเติมและไม่เติม PPS ใช้ปริมาณยางธรรมชาติต่างๆ กันที่ระยะเวลาในการเก็บ 7 วันและเก็บภายใต้ 40 %RH และรูปที่ 4.44a พบว่าโพมที่เติม PPS มีค่าความหนาแน่นต่ำกว่าโพมที่ไม่เติม PPS ซึ่งโพมที่ไม่เติม PPS มีค่าความหนาแน่นอยู่ในช่วง 0.2706-0.4201 g/cm^3 และโพมที่เติม PPS มีค่าความหนาแน่นอยู่ในช่วง 0.2320-0.4000 g/cm^3 และรูปที่ 4.44b แสดงความหนาแน่นของโพมที่เก็บภายใต้ 70 %RH พบว่าโพมที่ไม่เติม PPS มีค่าความหนาแน่นอยู่ในช่วง 0.2723-0.4215 g/cm^3 และโพมที่เติม PPS มีค่าอยู่ในช่วง 0.2393-0.4035 g/cm^3 จากผลการทดลองดังกล่าวสามารถสรุปได้ว่าโพมแป้งผสมยางธรรมชาติที่เติม PPS มีความหนาแน่นต่ำกว่าโพมแป้งผสมยางธรรมชาติที่ไม่เติม PPS เป็นผลเนื่องมาจากการลดลงของน้ำหนักโมเลกุลของยางธรรมชาติ เพราะ PPS ทำให้สายโซ่โมเลกุลของยางธรรมชาติสั้นลง ส่งผลให้ยางธรรมชาติขัดขวางการเกิดเป็นโพมของแป้งได้ลดลง ส่งผลให้แป้งและส่วนผสมกลially เป็นโพมได้ง่ายขึ้น จึงทำให้ความหนาแน่นลดลง

ตารางที่ 4.25 แสดงผลการทดสอบสมบัติความทนต่อแรงดัดโค้งของโพมแป้งผสมยางธรรมชาติ 15-35 pph ที่เติม PPS ระยะเวลาในการเก็บ 2 วัน ที่ 40 %RH โพมที่มีปริมาณยางธรรมชาติเท่ากับ 20 pph จะมีค่า E สูงสุด โดยมีค่าเท่ากับ 273 MPa และปริมาณยางธรรมชาติเท่ากับ 25 pph ให้ค่าสูงใกล้เคียงกัน (268 MPa) ค่า σ_{max} ที่ปริมาณยางธรรมชาติเท่ากับ 20 pph มีค่าสูงสุด ค่าที่ได้เท่ากับ 3.89 MPa ส่วนค่า ϵ_{max} และ ϵ_b มีค่าใกล้เคียงกันเมื่อปริมาณยางธรรมชาติเพิ่มขึ้น ที่ 70 %RH พบว่าค่า E และ σ_{max} มีค่าสูงสุดที่ปริมาณยางธรรมชาติเท่ากับ 20 pph โดยค่าที่ได้เท่ากับ 261 MPa และ 3.54 MPa ตามลำดับ ส่วนค่า ϵ_{max} และ ϵ_b มีค่าใกล้เคียงกันที่ปริมาณยางธรรมชาติเท่ากับ 15-30 pph แต่ที่ปริมาณยางธรรมชาติเท่ากับ 35 pph มีค่า ϵ_{max} และ ϵ_b สูงสุด ค่าที่ได้เท่ากับ 2.32% และ 3.30% ตามลำดับ แต่อย่างไรก็ตามค่าที่ได้ยังคงมีค่าใกล้เคียงกัน

ตารางที่ 4.26 แสดงสมบัติความทนต่อแรงดัดโค้งของโพมแป้งผสมยางธรรมชาติ 15-35 pph ที่มีการเติม PPS ระยะเวลาในการเก็บ 7 วัน ที่ 40 %RH ค่า E และ σ_{max} มีค่าสูงสุดที่ปริมาณยางธรรมชาติเท่ากับ 20 pph โดยค่าที่ได้เท่ากับ 292 MPa และ 3.68 MPa ตามลำดับ ส่วนค่า ϵ_{max} และ ϵ_b มีค่าใกล้เคียงกัน ที่ 70 %RH ค่า E มีค่าสูงสุดที่

บริมาณยางธรรมชาติเท่ากับ 25 pph โดยค่าที่ได้เท่ากับ 205 MPa และที่บริมาณยางธรรมชาติเท่ากับ 20 pph ที่ให้ค่าไกล์เดียงกันด้วย (202 MPa) ค่า σ_{max} มีค่าสูงสุดที่บริมาณยางธรรมชาติเท่ากับ 20 pph มีค่าเท่ากับ 2.54 MPa และที่บริมาณยางเท่ากับ 20 pph มีค่าไกล์เดียงกัน (2.52 MPa) ค่า ϵ_b มีค่าสูงกว่าค่า ϵ_{max} แต่ค่าที่ได้ยังคงไกล์เดียงกัน การลดลงของสมบัติความหนาต่อแรงดัดคงเนื่องมาจาก PPS ซึ่งเป็นสารริเริ่มปฏิกิริยาเป็นตัวการที่เหนี่ยวนำให้เกิดการขาดจากกันของสายโซ่โมเลกุลของยางธรรมชาติ รูปที่ 4.45 และ รูปที่ 4.46 แสดงการเปรียบเทียบค่ามอดูลัส (E) และความเค้นสูงสุด (σ_{max}) ระหว่างโพฟแม็ปส์ยางธรรมชาติที่เติมและไม่เติม PPS ระยะเวลาในการเก็บ 7 วันตามลำดับ จะเห็นได้ชัดเจนว่าการเติม PPS ให้ค่า E และ σ_{max} มีค่าลดลง ยกเว้นตัวอย่างเก็บไว้ที่ 40 %RH มีค่า E และ σ_{max} สูงขึ้นเล็กน้อยหลังการเติม PPS



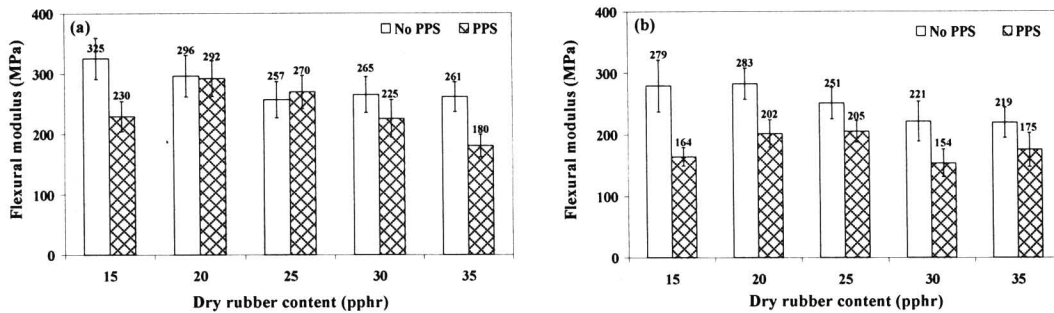
รูปที่ 4.44 ภาพแสดงการเปรียบเทียบความหนาแน่นของโพฟแม็ปส์ยางธรรมชาติที่ไม่เติม PPS และเติม PPS ระยะเวลาในการเก็บ 7 วัน ภายใต้ความชื้นสัมพัทธ์ต่างกัน: (a) 40 %RH และ (b) 70 %RH

ตารางที่ 4.25 สมบัติความหนืดต่อแรงดัดโค้งของฟอยม์แบงผสานยางธรรมชาติที่มี PPS ปริมาณ 0.025 pph ระยะเวลาในการเก็บ 2 วัน เก็บภายใต้ 40 %RH และ 70 %RH

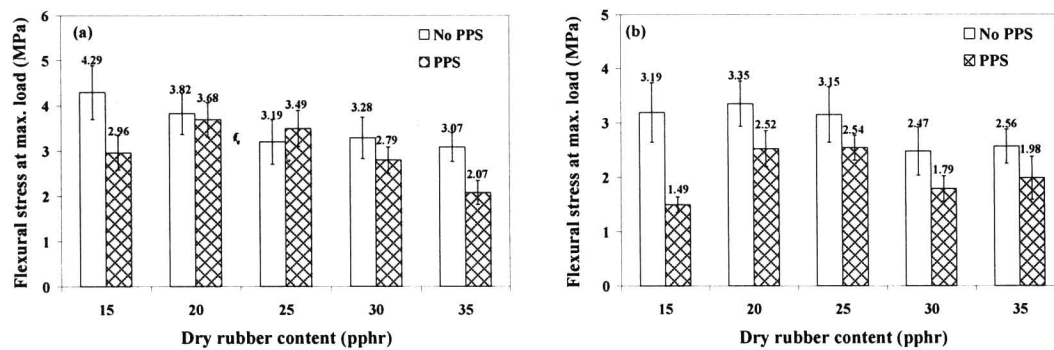
Relative humidity (%)	Dry rubber content (pph)	E (MPa)	σ_{max} (MPa)	ϵ_{max} (%)	ϵ_b (%)
40	15	206 ± 19	2.67 ± 0.38	1.79 ± 0.29	1.90 ± 0.35
	20	273 ± 39	3.89 ± 0.50	1.90 ± 0.48	1.93 ± 0.47
	25	268 ± 40	3.52 ± 0.29	1.68 ± 0.23	1.71 ± 0.23
	30	214 ± 25	2.70 ± 0.26	1.70 ± 0.09	1.77 ± 0.10
	35	185 ± 26	2.43 ± 0.55	1.65 ± 0.36	2.09 ± 0.52
70	15	172 ± 16	1.78 ± 0.25	1.33 ± 0.14	1.79 ± 0.29
	20	261 ± 50	3.54 ± 0.53	1.88 ± 0.42	1.99 ± 0.47
	25	247 ± 31	3.23 ± 0.49	1.72 ± 0.14	1.77 ± 0.14
	30	207 ± 35	2.42 ± 0.41	1.68 ± 0.16	1.97 ± 0.25
	35	169 ± 41	2.31 ± 0.62	2.32 ± 0.37	3.30 ± 0.75

ตารางที่ 4.26 สมบัติความหนืดต่อแรงดัดโค้งของฟอยม์แบงผสานยางธรรมชาติที่มีการเติม PPS ปริมาณ 0.025 pph ระยะเวลาในการเก็บ 7 วัน เก็บภายใต้ 40 %RH และ 70 %RH

Relative humidity (%)	Dry rubber Content (pph)	E (MPa)	σ_{max} (MPa)	ϵ_{max} (%)	ϵ_b (%)
40	15	230 ± 25	2.96 ± 0.38	1.85 ± 0.25	1.91 ± 0.39
	20	292 ± 30	3.68 ± 0.38	1.60 ± 0.11	1.69 ± 0.21
	25	270 ± 27	3.49 ± 0.40	1.66 ± 0.30	1.80 ± 0.36
	30	225 ± 31	2.79 ± 0.29	1.62 ± 0.21	1.79 ± 0.22
	35	180 ± 18	2.07 ± 0.26	1.83 ± 0.21	2.23 ± 0.28
70	15	164 ± 15	1.49 ± 0.14	1.13 ± 0.10	1.36 ± 0.21
	20	202 ± 22	2.52 ± 0.33	1.94 ± 0.14	2.29 ± 0.21
	25	205 ± 18	2.54 ± 0.23	1.91 ± 0.19	2.32 ± 0.18
	30	154 ± 22	1.79 ± 0.23	1.81 ± 0.19	2.92 ± 0.52
	35	175 ± 28	1.97 ± 0.39	1.73 ± 0.20	2.43 ± 0.25

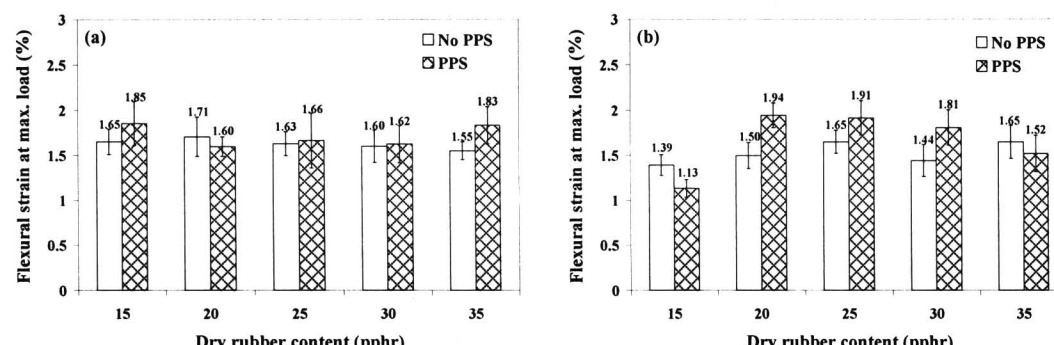


รูปที่ 4.45 กราฟแสดงการเปรียบเทียบค่าความอุดuct ของโฟมแบ่งผสานยางธรรมชาติที่ไม่เติม PPS และเติม PPS ระยะเวลาในการเก็บ 7 วัน ภายใต้ความชื้นสัมพัทธ์ต่างกัน: (a) 40 %RH และ (b) 70 %RH

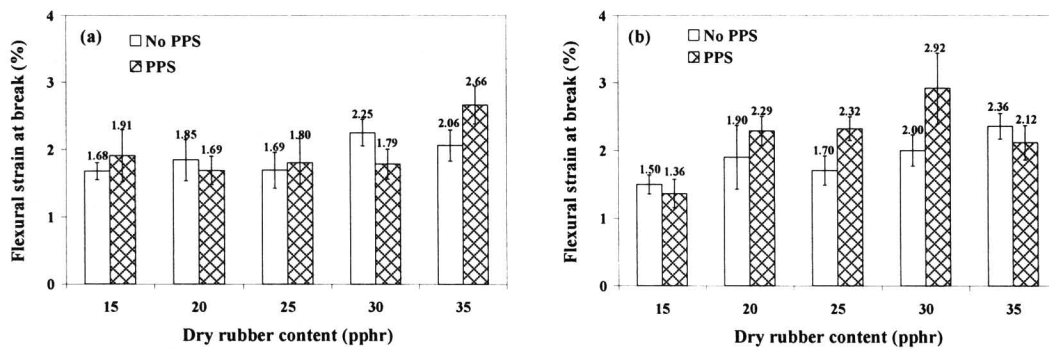


รูปที่ 4.46 กราฟแสดงการเปรียบเทียบค่าความเค้นสูงสุดของโฟมแบ่งผสานยางธรรมชาติที่ไม่เติม PPS และเติม PPS ระยะเวลาในการเก็บ 7 วัน ภายใต้ความชื้นสัมพัทธ์ต่างกัน: (a) 40 %RH และ (b) 70 %RH

รูปที่ 4.47 และ รูปที่ 4.48 แสดงการเปรียบเทียบค่า ϵ_{max} และ ϵ_b ของโฟมแบ่งผสานยางธรรมชาติที่เติมและไม่เติม PPS ถึงแม้ว่ารูปภาพจะแสดงความแตกต่างกันของค่าความเครียดเหล่านี้ แต่มีพิจารณาปริมาณที่เปลี่ยนแปลงไป และค่าของความเครียดนี้ พบร่วมค่าต่างกันเล็กน้อย



รูปที่ 4.47 กราฟแสดงการเปรียบเทียบค่าความเครียดสูงสุดของโฟมแบ่งผสานยางธรรมชาติที่ไม่เติม PPS และเติม PPS ระยะเวลาในการเก็บ 7 วัน ภายใต้ความชื้นสัมพัทธ์ต่างกัน: (a) 40 %RH และ (b) 70 %RH



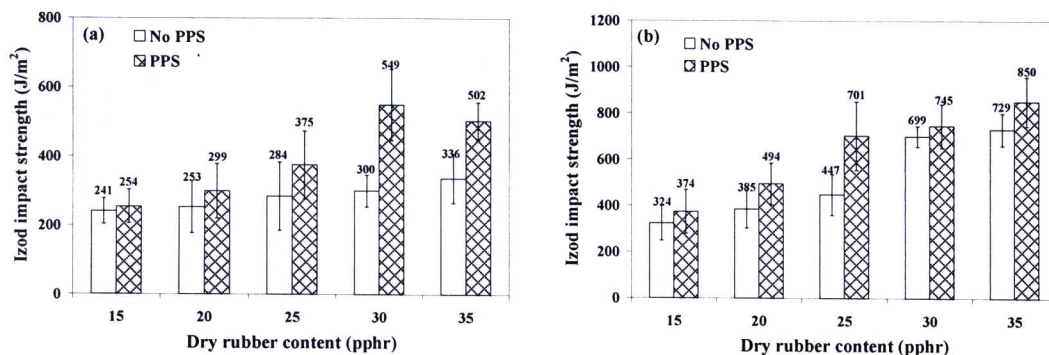
รูปที่

4.48 ภาพแสดงการเปรียบเทียบค่าความเครียด ณ จุดขาดของโพมแป้งผสมยางธรรมชาติไม่เติม PPS และเติม PPS ระยะเวลาในการเก็บ 7 วัน ภายใต้ความชื้นสัมพัทธ์ต่างกัน: (a) 40 %RH และ (b) 70 %RH

ผลการทดสอบสมบัติความต้านทานต่อแรงกระแทกของโพมแป้งผสมยางธรรมชาติ 15-35 pph ที่มีการเติม PPS และในตารางที่ 4.27 โพมที่เก็บไว้ 2 วัน ที่ 40 %RH มีความต้านทานต่อแรงกระแทกเพิ่มขึ้นเมื่อยางธรรมชาติเพิ่มขึ้น โดยค่าที่ได้จะอยู่ในช่วง 241-437 J/m² และเมื่อพิจารณาที่ 70 %RH พบว่ามีค่าอยู่ในช่วง 240-525 J/m² ที่ระยะเวลาในการเก็บ 7 วัน ภายใต้ 40 %RH และ 70 %RH พบว่าสมบัติความต้านทานต่อแรงกระแทกที่ได้เพิ่มขึ้นเมื่อปริมาณยางธรรมชาติเพิ่มขึ้น โดยค่าดังกล่าวจะอยู่ในช่วงตั้งแต่ 437-502 J/m² และ 374-859 J/m² ตามลำดับ การเพิ่มขึ้นของความต้านทานต่อแรงกระแทกเนื่องมาจากปริมาณยางธรรมชาติที่เพิ่มขึ้น เพราะยางธรรมชาติมีความยืดหยุ่นมากกว่าแป้ง สามารถรับแรงกระแทกด้วยมากกว่าแป้ง ทำการเปรียบเทียบสมบัติความต้านทานต่อแรงกระแทกของโพมแป้งผสมยางธรรมชาติ 15-35 pph ของโพมที่เติมและไม่เติม PPS และในรูปที่ 4.49 พบว่าโพมที่เติม PPS มีสมบัติความต้านทานต่อแรงกระแทกสูงกว่าโพมที่ไม่เติม PPS น่าจะเนื่องจากการเกิดกราฟท์โคพอลิเมอร์ระหว่างแป้งมันสำปะหลังและน้ำยางธรรมชาติระหว่างการขึ้นรูป

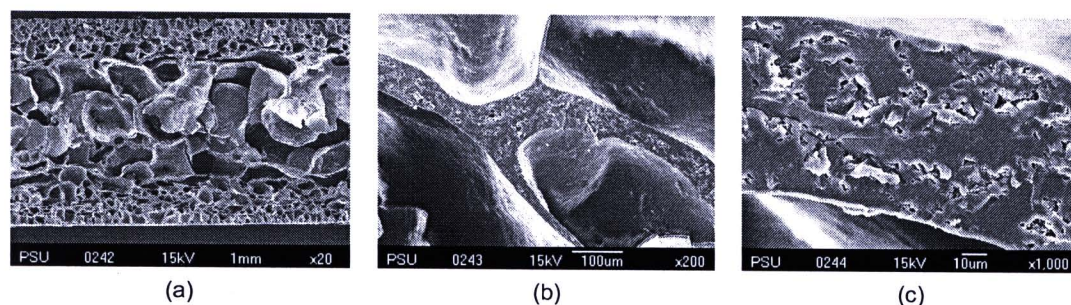
ตารางที่ 4.27 สมบัติความต้านทานต่อแรงกระแทกของโพมแป้งผสมยางธรรมชาติที่มี PPS ปริมาณ 0.025 pph ระยะเวลาในการเก็บ 2 วัน และ 7 วัน ภายใต้ 40 %RH และ 70 %RH

Storage time (day)	Dry rubber content (pph)	Izod impact strength (J/m ²)	
		40 %RH	70 %RH
2	15	241 ± 38	240 ± 60
	20	253 ± 42	261 ± 48
	25	349 ± 52	381 ± 57
	30	515 ± 67	539 ± 78
	35	437 ± 63	525 ± 89
7	15	254 ± 49	374 ± 95
	20	299 ± 79	494 ± 90
	25	375 ± 98	701 ± 148
	30	549 ± 103	745 ± 94
	35	502 ± 54	850 ± 107

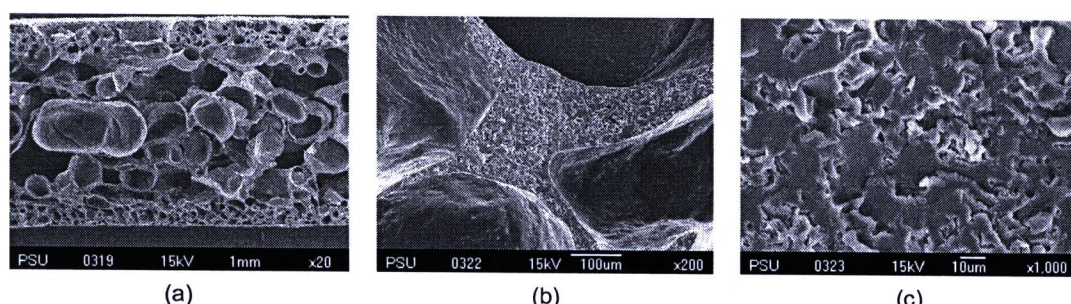


รูปที่ 4.49 กราฟแสดงการเปรียบเทียบสมบัติความต้านทานต่อแรงดึงดูดของโพมแป้งผสมยางธรรมชาติที่ไม่เติม PPS และเติม PPS เก็บไว้ 7 วัน ภายใต้ความชื้นสัมพัทธ์ต่างกัน: (a) 40 %RH และ (b) 70 %RH

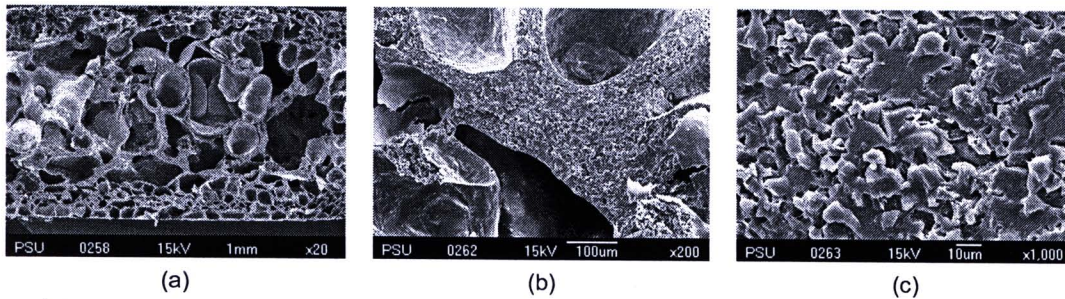
ลักษณะสัณฐานวิทยาของโพมแป้งผสมยางธรรมชาติที่เติม PPS ประปริมาณยางธรรมชาติเท่ากับ 15-35 pph แสดงในรูปที่ 4.50a-c, รูปที่ 4.51-c และ รูปที่ 4.52a-c ตามลำดับ พบว่าเมื่อยางธรรมชาติเพิ่มขึ้นทำให้โพมมีผังเซลล์ที่หนาขึ้น ผังเซลล์ของโพมที่หนาขึ้นสอดคล้องกับสมบัติความต้านทานต่อแรงกระแทกที่เพิ่มขึ้น



รูปที่ 4.50 ภาพถ่ายจากกล้องจุลทรรศน์อิเล็กตรอนแบบส่องรากดของโพมแป้งผสมยางธรรมชาติ 15 pph และ PPS เท่ากับ 0.025 pph



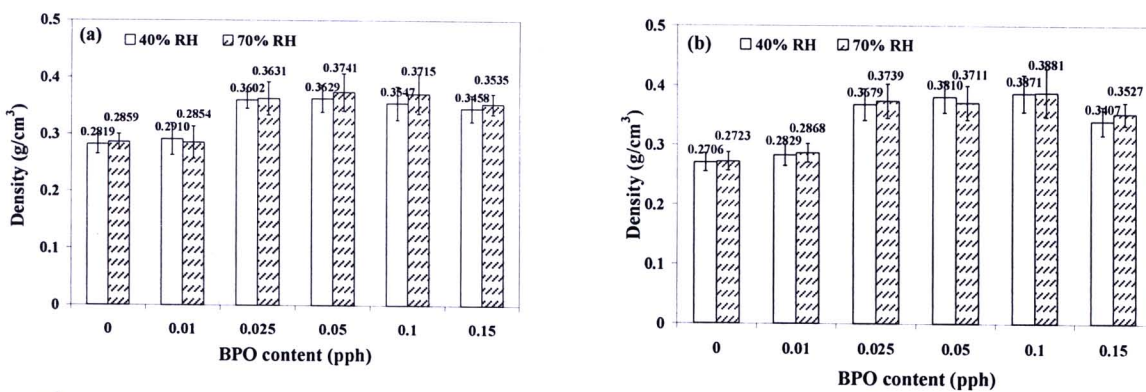
รูปที่ 4.51 ภาพถ่ายจากกล้องจุลทรรศน์อิเล็กตรอนแบบส่องรากดของโพมแป้งผสมยางธรรมชาติ 25 pph และ PPS เท่ากับ 0.025 pph



รูปที่ 4.52 ภาพถ่ายจากกล้องจุลทรรศน์อิเล็กตรอนแบบส่องการดูของโพมแป้งผสมยางธรรมชาติ 35 pph และ PPS เท่ากับ 0.025 pph

4.10.3 การประปริมาณ BPO ที่ปริมาณยางธรรมชาติดังที่

ผลการทดสอบความหนาแน่นของโพมแป้งผสมยางธรรมชาติ 15 pph ทำการประปริมาณ BPO แสดงในรูปที่ 4.53 เมื่อปริมาณ BPO เพิ่มขึ้น ทำให้ความหนาแน่นของโพมมีค่าเพิ่มขึ้น โดยที่ปริมาณ BPO เท่ากับ 0.05 pph ทำให้ค่าความหนาแน่นสูงกว่าที่สัดส่วนอื่นๆ ที่ปริมาณ BPO เท่ากับ 0.01 pph มีความหนาแน่นใกล้เคียงกันกับตัวอย่างที่ไม่มี BPO แต่เมื่อปริมาณ BPO เท่ากับ 0.025-0.15 pph ทำให้ความหนาแน่นมีแนวโน้มเพิ่มขึ้น การเพิ่มขึ้นของความหนาแน่นเมื่อเติม BPO อาจเนื่องมาจาก BPO ทำให้ยางธรรมชาติเกิดการเชื่อมขวางโมเลกุล (crosslink) จากงานวิจัยของ Kiatkamjornwong และคณะ (2001) ระบุว่า BPO ทำให้ยางธรรมชาติเกิดการเชื่อมขวางกันในการเตรียมโพมแป้ง มันสำปะหลังผสมน้ำยางธรรมชาติ ส่งผลให้ความหนืดของแป้งเพิ่มขึ้น แป้งจึงกลายเป็นโพมได้ยากขึ้น



รูปที่ 4.53 กราฟแสดงอิทธิพลของปริมาณ BPO ต่อความหนาแน่นของโพมแป้งผสมยางธรรมชาติ 15 pph เก็บภายใต้ 40 %RH และ 70 %RH ระยะเวลาในการเก็บ: (a) 2 วัน และ (b) 7 วัน

ผลการทดสอบสมบัติความหนาแน่นของโพมแป้งผสมยางธรรมชาติ 15 pph ประปริมาณ BPO เท่ากับ 0-0.15 pph แสดงในตารางที่ 4.28 และตารางที่ 4.29 ที่ระยะเวลาในการเก็บ 2 วัน พิจารณาภายใต้ 40 %RH พบว่าค่า E เพิ่มขึ้นหลังจากการเติม BPO ในทุกด้วย ค่าสูงสุดปรากฏในตัวอย่างที่มีปริมาณ BPO เท่ากับ 0.025 pph ซึ่งเป็นการเพิ่มจาก 321 MPa เป็น 461 MPa ค่า σ_{max} มีค่าเพิ่มขึ้นหลังการเติม BPO และปริมาณ BPO ที่ให้ค่าสูงสุดคือ 0.05 pph โดยมีค่าเพิ่มขึ้นจาก 3.80 MPa เป็น 5.11 MPa และที่ปริมาณ BPO เท่ากับ 0.025 pph ให้ค่าสูงใกล้เคียงกันด้วย (4.99 MPa) ส่วนค่า ϵ_{max} และ ϵ_b มีค่าใกล้เคียงกัน พิจารณาภายใต้ 70 %RH พบว่าการเติม BPO ทำให้ค่า E เพิ่มขึ้น ยกเว้นตัวอย่างที่มีปริมาณ BPO เท่ากับ 0.10 pph ที่ให้ค่าลดลงเล็กน้อย โดยปริมาณที่ให้ค่า E สูงสุดคือ 0.15 pph ค่าเพิ่มขึ้นจาก 272 MPa เป็น 363 MPa ค่า σ_{max} เพิ่มขึ้นเมื่อเติม BPO ค่าสูงสุดที่ปรากฏในตัวอย่างที่มี BPO

เท่ากับ 0.15 pph ซึ่งเป็นการเพิ่มขึ้นจาก 3.43 MPa เป็น 5.39 MPa ส่วนความเครียดทั้งค่า ε_{max} และค่า ε_b มีค่าใกล้เคียงกัน ที่ระยะเวลาในการเก็บ 7 วัน (ตารางที่ 4.29) พนว่าค่า E เพิ่มขึ้นเมื่อเติม BPO ยกเว้นตัวอย่างที่มี BPO

ตารางที่ 4.28 อิทธิพลของ BPO ต่อสมบัติความทนต่อแรงดึงดูดคงของโพลีเมอร์พอลิเมทิลไพริเมทิลไอกไซด์ 15 pph ระยะเวลาในการเก็บ 2 วัน เก็บภายใน 40 %RH และ 70 %RH

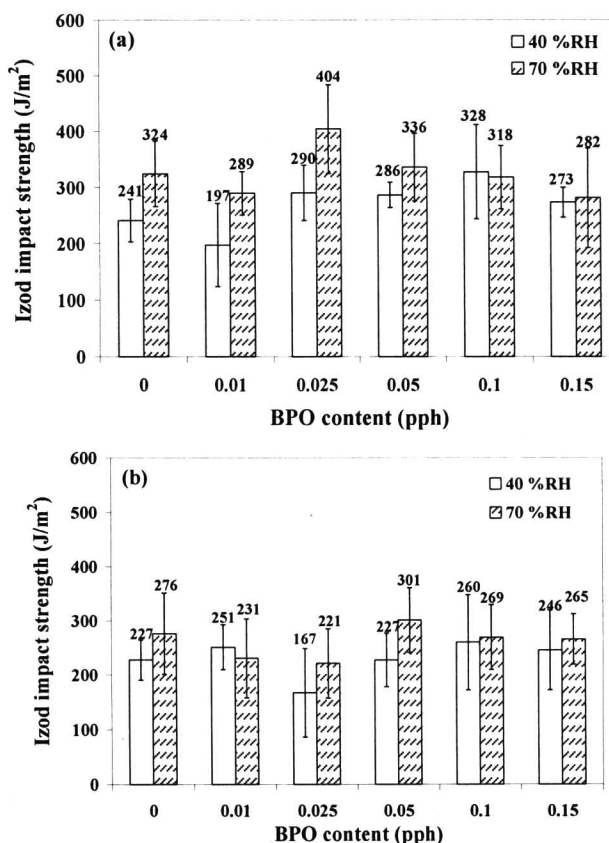
Relative humidity (%)	BPO content (pph)	E (MPa)	σ_{max} (MPa)	ε_{max} (%)	ε_b (%)
40	0	321 ± 45	3.80 ± 0.35	1.43 ± 0.28	1.47 ± 0.28
	0.01	350 ± 65	4.42 ± 1.03	1.50 ± 0.20	1.64 ± 0.26
	0.025	461 ± 86	4.99 ± 0.79	1.27 ± 0.25	1.31 ± 0.27
	0.05	389 ± 53	5.11 ± 0.61	1.66 ± 0.37	1.71 ± 0.37
	0.1	388 ± 61	4.52 ± 0.70	1.40 ± 0.22	1.37 ± 0.18
	0.15	384 ± 80	4.24 ± 0.70	1.26 ± 0.21	1.30 ± 0.21
70	0	272 ± 51	3.43 ± 0.73	1.56 ± 0.19	1.60 ± 0.20
	0.01	298 ± 89	3.92 ± 0.91	1.77 ± 0.23	2.04 ± 0.26
	0.025	336 ± 67	4.72 ± 0.84	1.93 ± 0.23	1.99 ± 0.25
	0.05	350 ± 55	4.95 ± 0.86	1.87 ± 0.14	1.98 ± 0.15
	0.1	264 ± 33	3.82 ± 0.55	1.89 ± 0.15	2.07 ± 0.15
	0.15	363 ± 78	5.39 ± 0.84	1.95 ± 0.28	2.03 ± 0.26

ตารางที่ 4.29 อิทธิพลของ BPO ต่อสมบัติความทนต่อแรงดึงดูดคงของโพลีเมอร์พอลิเมทิลไพริเมทิลไอกไซด์ 15 pph ระยะเวลาในการเก็บ 7 วัน เก็บภายใน 40 %RH และ 70 %RH

Relative humidity (%)	BPO content (pph)	E (MPa)	σ_{max} (MPa)	ε_{max} (%)	ε_b (%)
40	0	339 ± 53	4.49 ± 0.82	1.65 ± 0.13	1.68 ± 0.13
	0.01	323 ± 79	4.17 ± 0.98	1.68 ± 0.14	1.67 ± 0.26
	0.025	360 ± 77	4.34 ± 0.78	1.49 ± 0.12	1.51 ± 0.12
	0.05	335 ± 30	4.49 ± 0.60	1.74 ± 0.18	1.79 ± 0.17
	0.1	371 ± 32	4.93 ± 0.46	1.65 ± 0.22	1.67 ± 0.23
	0.15	381 ± 89	4.81 ± 0.87	1.60 ± 0.25	1.68 ± 0.24
70	0	273 ± 43	3.06 ± 0.64	1.36 ± 0.14	1.47 ± 0.16
	0.01	237 ± 25	2.75 ± 0.34	1.45 ± 0.14	1.86 ± 0.12
	0.025	294 ± 52	4.06 ± 0.64	1.89 ± 0.19	2.05 ± 0.22
	0.05	285 ± 33	3.57 ± 0.46	1.61 ± 0.14	1.70 ± 0.12
	0.1	285 ± 32	3.31 ± 0.23	1.55 ± 0.21	1.90 ± 0.24
	0.15	310 ± 36	4.06 ± 0.48	1.69 ± 0.12	1.82 ± 0.10

เท่ากับ 0.01 pph ที่ให้ค่าลดลงเล็กน้อย โดยค่าสูงสุดปราศจากที่ปริมาณ BPO เท่ากับ 0.15 pph ซึ่งเพิ่มขึ้นจาก 339 MPa เป็น 381 MPa ค่า σ_{max} เพิ่มขึ้นเมื่อเติม BPO แต่ตัวอย่างที่มี BPO เท่ากับ 0.01 pph ให้ค่าลดลงเล็กน้อย ค่า σ_{max} สูงสุดที่ปริมาณ BPO เท่ากับ 0.10 pph โดยค่าเพิ่มขึ้นจาก 4.49 MPa เป็น 4.93 MPa ซึ่งเพิ่มขึ้นเพียงเล็กน้อย ค่า ϵ_{max} และ ϵ_b มีค่าใกล้เคียงกัน พิจารณาภายใต้ 70 %RH พบว่าค่า E มีค่าใกล้เคียงกันเมื่อเติม BPO เพิ่มขึ้น ซึ่งค่าที่ได้อุ่นในช่วง 237-310 MPa ค่า σ_{max} มีค่าเพิ่มขึ้นเมื่อเติม BPO ยกเว้นตัวอย่างที่ BPO เท่ากับ 0.01 pph ที่ให้ค่าลดลงเล็กน้อย ปริมาณ BPO ที่ทำให้ค่าสูงสุด คือ 0.025 pph และ 0.15 pph ทำให้ค่า σ_{max} เพิ่มขึ้นจาก 3.06 MPa เป็น 4.06 MPa ส่วนค่า ϵ_{max} และ ϵ_b มีค่าใกล้เคียงกัน การเติม BPO ทำให้ค่า E และค่า σ_{max} ของโพลิเมร์สูงขึ้น เนื่องจาก BPO ทำให้ยังธรรมชาติเกิดการเชื่อมขวางกัน

รูปที่ 4.54 แสดงอิทธิพลของปริมาณ BPO ต่อความต้านทานต่อแรงกระแทก ที่ระยะเวลาในการเก็บ 2 วัน (รูปที่ 4.54a) พิจารณาภายใต้ 40 %RH พบว่าการเติม BPO ทำให้สมบัติความต้านทานต่อแรงกระแทกมีค่าในช่วง 197-328 J/m² พิจารณาภายใต้ 70 %RH พบว่าที่ BPO เท่ากับ 0.025 pph ทำให้สมบัติความต้านทานต่อแรงกระแทกมีค่าสูงสุดค่าที่ได้ เท่ากับ 404 J/m² รูปที่ 4.54b แสดงสมบัติความต้านทานต่อแรงกระแทกของโพลิเมร์ที่ธรรมชาติ 15 pph ที่ระยะเวลาในการเก็บ 7 วัน พิจารณาภายใต้ 40 %RH และ 70 %RH พบว่าค่าที่ได้อุ่นในช่วง 167-260 J/m² และ 221-301 J/m² ตามลำดับ



รูปที่ 4.54 ภาพแสดงอิทธิพลของ BPO ต่อความต้านทานต่อแรงกระแทกของโพลิเมร์ที่ธรรมชาติ 15 pph เก็บภายใต้ 40 %RH และ 70 %RH ระยะเวลาในการเก็บ: (a) 2 วัน และ (b) 7 วัน

ผลการทดสอบสมบัติเชิงกลของโพฟมีแพ้ผงสมย่างธรรมชาติ 15 pph ที่มีการแปรปริมาณ BPO ระหว่าง 0-0.15 pph พบว่าผลการทดสอบสมบัติความทนต่อแรงดัดโคง (ค่า E และ σ_{max}) สอดคล้องกันกับสมบัติความต้านทานต่อแรงกระแทก โดยที่เมื่อ BPO เพิ่มขึ้นทำให้สมบัติดังกล่าวไม่เปลี่ยนไปมาก เมื่อเพิ่มขึ้น ซึ่งการเพิ่มขึ้นดังกล่าวน่าจะมาจากการเชื่อมขวางกันของยางธรรมชาติ พิจารณาสมบัติความต้านทานต่อแรงกระแทกของโพฟมีแพ้ผงสมย่างธรรมชาติ 15 pph พบว่าการเติม PPS ให้ค่าสูงกว่า BPO เนื่องจาก PPS เป็นสารริเริ่มปฏิกิริยาที่ละเอียดน้ำ้ดี ทำให้สามารถแทรกเข้าไปในภายในโมเลกุลของแพ้ผงมันสำปะหลังและยางธรรมชาติได้ดีกว่า จึงทำให้เกิดการเชื่อมโยงระหว่างเฟสของพอลิเมอร์ทั้งสองชนิดมากกว่า ส่งผลให้สมบัติความต้านทานต่อแรงกระแทกของโพฟมีแพ้ผงสมย่างธรรมชาติที่เติม PPS สูงกว่าโพฟที่เติม BPO ดังแสดงในตารางที่ 4.30

ตารางที่ 4.30 เปรียบเทียบสมบัติความต้านทานต่อแรงกระแทกของโฟมเป้งผสมยางธรรมชาติ 15 pph และปริมาณ PPS และ BPO ระหว่าง 0-0.15 pph ระยะเวลาในการเก็บ 7 วัน ภายใต้ 40 %RH และ 70 %RH

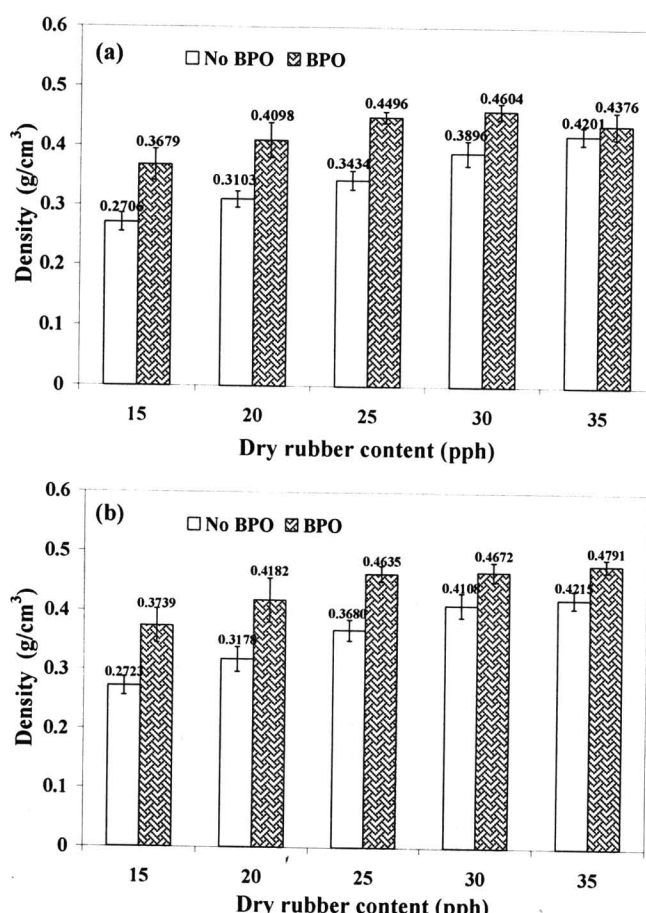
Initiator content (pph)	Impact strength (J/m ²)			
	40 %RH		70 %RH	
	PPS	BPO	PPS	BPO
0.01	303 ± 40	197 ± 42	344 ± 101	289 ± 73
0.025	254 ± 49	277 ± 98	374 ± 95	466 ± 97
0.05	187 ± 37	286 ± 49	324 ± 88	336 ± 60
0.1	199 ± 58	328 ± 88	365 ± 66	318 ± 60
0.15	266 ± 55	273 ± 74	435 ± 51	282 ± 46

4.10.4 การแปรปริมาณยางธรรมชาติที่ปริมาณ BPO คงที่

ผลการทดสอบความหนาแน่นของโพฟมีปั๊บสมย่างธรรมชาติระหว่าง 15-35 pph และเติม BPO ปริมาณ 0.025 pph แสดงในตารางที่ 4.31 ที่ระยะเวลาในการเก็บ 2 วัน ภายใต้ 40 %RH และ 70%RH พบว่าความหนาแน่นมีค่าเพิ่มขึ้นเมื่อยางธรรมชาติเพิ่มขึ้น ซึ่งค่าที่ได้อัญญานิช่วง 0.3602-0.4538 g/cm³ และ 0.3631-0.4608 g/cm³ ตามลำดับ และระยะเวลาในการเก็บ 7 วัน พบว่าค่าความหนาแน่นที่ได้เพิ่มขึ้น ซึ่งมีอัญญานิช่วง 0.3679-0.4376 g/cm³ และ 0.3739-0.4791 g/cm³ ภายใต้ 40 %RH และ 70 %RH ตามลำดับ เมื่อพิจารณาความหนาแน่นของโพฟมีปั๊บสมย่างธรรมชาติที่เติมและไม่เติม BPO ดังแสดงในรูปที่ 4.55 พบว่าโพฟที่เติม BPO มีความหนาแน่นสูงกว่าที่ไม่เติม BPO เนื่องจาก BPO ทำให้ยางธรรมชาติเกิดการเชื่อมขวางกันส่งผลให้ความหนืดของส่วนผสมเพิ่มขึ้น ปั๊บและส่วนผสมจึงกล้ายเป็นโพฟได้ยากขึ้น จึงทำให้ความหนาแน่นเพิ่มขึ้น สมบัติความทนต่อแรงดัดโค้งของโพฟมีปั๊บสมย่างธรรมชาติ 15-35 pph ที่มีการเติม BPO ระยะเวลาในการเก็บ 2 วัน แสดงในตารางที่ 4.32 พิจารณาภายใต้ 40 %RH พบว่าค่า E ที่ปริมาณยางธรรมชาติ 15-35 pph มีแนวโน้มลดลง โดยเมื่อยางธรรมชาติเท่ากับ 35 pph ค่าที่ได้ลดลงจาก 461 MPa เป็น 271 MPa ค่า σ_{max} มีแนวโน้มลดลงเมื่อยางธรรมชาติจาก 4.99 MPa ไปเป็น 3.07 MPa เมื่อเติมยางธรรมชาติเท่ากับ 15-35 pph พิจารณาภายใต้ 70 %RH พบว่าค่า E ลดลงหลังจากเติมยางธรรมชาติในทุกดัวอย่าง โดยค่าที่ได้ลดลงจาก 336 MPa ไปเป็น 177 MPa ค่า σ_{max} ที่ได้มีค่าลดลงจาก 4.72 MPa ไปเป็น 2.82 MPa ส่วนค่า ϵ_{max} และ ϵ_b ที่ปริมาณยางธรรมชาติเท่ากับ 20-30 pph มีค่าเพิ่มขึ้น ค่าที่ได้เท่ากับ 2.58%, 2.47% และ 2.15% และ 2.71%, 3.05% และ 2.60% ตามลำดับ ผลการทดสอบสมบัติความทนต่อแรงดัดโค้งของโพฟมีปั๊บสมย่างธรรมชาติ ที่ปริมาณ 15-35 pph และเติม BPO ที่ระยะเวลาในการเก็บ 7 วัน แสดงในตารางที่ 4.33

ตารางที่ 4.31 ความหนาแน่นของฟอยล์แม่ปั้นผสมยางธรรมชาติที่มี BPO ปริมาณ 0.025 pph ระยะเวลาในการเก็บ 2 วัน และ 7 วัน เก็บภายใต้ 40 %RH และ 70 %RH

Storage time (day)	Dry rubber content (pph)	Density (g/cm ³)	
		40 %RH	70 %RH
2	15	0.3602 ± 0.0147	0.3631 ± 0.0291
	20	0.3907 ± 0.0200	0.3897 ± 0.0329
	25	0.4390 ± 0.0138	0.4493 ± 0.0138
	30	0.4510 ± 0.0104	0.4565 ± 0.0096
	35	0.4538 ± 0.0153	0.4608 ± 0.0151
7	15	0.3679 ± 0.0265	0.3739 ± 0.0288
	20	0.4098 ± 0.0293	0.4182 ± 0.0369
	25	0.4496 ± 0.0096	0.4635 ± 0.0131
	30	0.4604 ± 0.0132	0.4672 ± 0.0161
	35	0.4376 ± 0.0228	0.4791 ± 0.0110



รูปที่ 4.55 กราฟแสดงการเปรียบเทียบความหนาแน่นของฟอยล์แม่ปั้นผสมยางธรรมชาติ ที่ไม่เติม BPO และเติม BPO ระยะเวลาในการเก็บ 7 วัน ภายใต้ความชื้นสัมพัทธ์ต่างกัน: (a) 40 %RH และ (b) 70 %RH

ตารางที่ 4.32 สมบัติความหนืดต่อแรงดึงของฟอยล์พลาสติกที่มี BPO ปริมาณ 0.025 pph ระยะเวลาในการเก็บ 2 วัน เก็บภายในได้ 40 %RH และ 70 %RH

Relative humidity (%)	Dry rubber content (pph)	E (MPa)	σ_{max} (MPa)	ϵ_{max} (%)	ϵ_b (%)
40	15	461 ± 86	4.99 ± 0.79	1.27 ± 0.25	1.31 ± 0.27
	20	337 ± 66	4.28 ± 0.89	1.59 ± 0.16	1.59 ± 0.18
	25	308 ± 37	4.01 ± 0.64	1.66 ± 0.18	1.67 ± 0.17
	30	311 ± 54	3.73 ± 0.63	1.57 ± 0.16	1.64 ± 0.36
	35	271 ± 42	3.07 ± 0.56	1.46 ± 0.14	1.49 ± 0.17
70	15	336 ± 67	4.72 ± 0.84	1.93 ± 0.23	1.99 ± 0.25
	20	218 ± 34	3.55 ± 0.71	2.58 ± 0.24	2.71 ± 0.33
	25	177 ± 61	3.07 ± 0.47	2.47 ± 0.31	3.05 ± 0.23
	30	205 ± 33	2.82 ± 0.53	2.15 ± 0.28	2.60 ± 0.30
	35	247 ± 34	3.00 ± 0.49	1.63 ± 0.15	1.78 ± 0.21

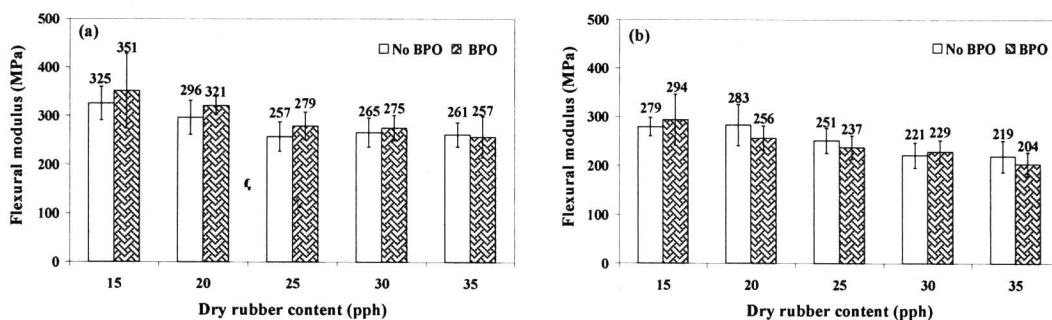
ตารางที่ 4.33 สมบัติความหนืดต่อแรงดึงของฟอยล์พลาสติกที่มี BPO ปริมาณ 0.025 pph ระยะเวลาในการเก็บ 7 วันเก็บภายในได้ 40 %RH และ 70 %RH

Relative humidity (%)	Dry rubber content (pph)	E (MPa)	σ_{max} (MPa)	ϵ_{max} (%)	ϵ_b (%)
40	15	360 ± 77	4.34 ± 0.78	1.49 ± 0.12	1.51 ± 0.12
	20	317 ± 22	4.12 ± 0.52	1.62 ± 0.23	1.63 ± 0.24
	25	293 ± 52	4.06 ± 0.86	1.91 ± 0.24	1.97 ± 0.26
	30	277 ± 51	3.52 ± 0.71	1.70 ± 0.19	1.94 ± 0.33
	35	257 ± 42	3.25 ± 0.48	1.71 ± 0.20	1.82 ± 0.24
70	15	294 ± 52	4.06 ± 0.64	1.89 ± 0.19	2.05 ± 0.22
	20	250 ± 30	2.41 ± 0.41	1.29 ± 0.13	1.64 ± 0.20
	25	241 ± 31	2.45 ± 0.38	1.55 ± 0.17	1.95 ± 0.21
	30	229 ± 35	2.23 ± 0.37	1.41 ± 0.22	1.96 ± 0.29
	35	204 ± 24	2.31 ± 0.33	1.84 ± 0.32	2.80 ± 0.25

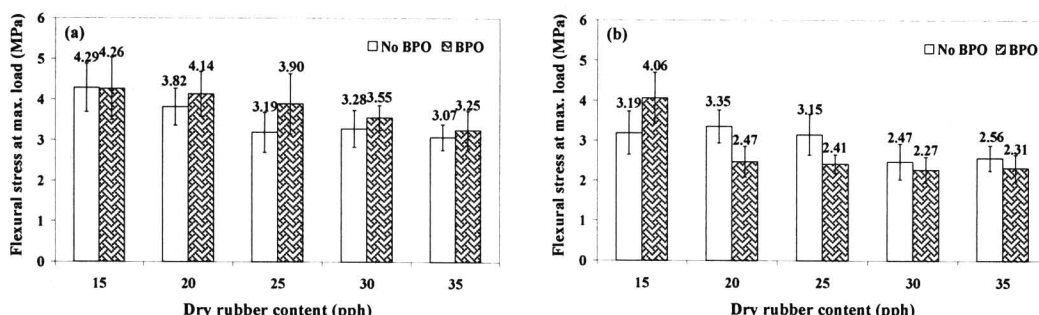
จากตารางที่ 4.33 พิจารณาภายในได้ 40 %RH พบว่าค่า E ที่ปริมาณยางธรรมชาติ 15-35 pph โดยลดลงจาก 306 MPa ไปเป็น 257 MPa ค่า σ_{max} ที่ได้ลดลงจาก 4.34 MPa ไปเป็น 3.25 MPa ส่วนค่า ϵ_{max} และ ϵ_b มีค่าใกล้เคียงกัน และพิจารณาภายใน 70 %RH พบว่าในทุกด้วยอย่างที่ทดลองค่า E ลดลงหลังจากเติมยางธรรมชาติค่าที่ได้ลดลงจาก 294 MPa ไปเป็น 204 MPa ค่า σ_{max} ลดลงจาก 4.06 MPa ไปเป็น 2.23 MPa ที่ปริมาณยางธรรมชาติ 15-35 pph ส่วนค่า ϵ_{max} และ ϵ_b มีค่าใกล้เคียงกัน ฟอยล์พลาสติกที่มีการเติม BPO จะมีค่า E และค่า σ_{max} ลดลงเมื่อ

ปริมาณยางธรรมชาติเพิ่มขึ้น การลดลงของค่าดั้งกล่าวเป็นผลเนื่องมาจากการปริมาณยางธรรมชาติที่เพิ่มขึ้นในขณะที่ปริมาณของ BPO ยังคงเท่าเดิม จึงทำให้ยางธรรมชาติเกิดการเชื่อมขวางกันได้น้อยลงเมื่อปริมาณยางธรรมชาติเพิ่มขึ้น

รูปที่ 4.56a และรูปที่ 4.56b แสดงการเปรียบเทียบค่า E ของโฟมแป้งผสมยางธรรมชาติตั้งแต่ 15-35 pph ของโฟมที่เติมและไม่เติม BPO ที่ระยะเวลาในการเก็บ 7 วัน ภายใต้ 40 %RH และ 70 %RH ตามลำดับ พนว่าโฟมที่เติมและไม่เติม BPO มีค่า E ใกล้เคียงกันแม้ว่าจะมีแนวโน้มลดลงเมื่อปริมาณยางธรรมชาติเพิ่มขึ้น รูปที่ 4.57 และ การเปรียบเทียบค่า σ_{max} ของโฟมที่เติมและไม่เติม BPO พิจารณาภายใต้ 40 %RH (รูปที่ 4.57a) พนว่าค่า σ_{max} ของโฟมที่เติมและไม่เติม BPO มีค่าใกล้เคียงกันแม้ว่าโฟมที่เติม BPO จะมีค่าสูงกว่าโฟมที่ไม่เติม BPO และเมื่อพิจารณาภายใต้ 70 %RH (รูปที่ 4.57b) พนว่าค่า σ_{max} ของโฟมที่เติมและไม่เติม BPO มีค่าใกล้เคียงกัน



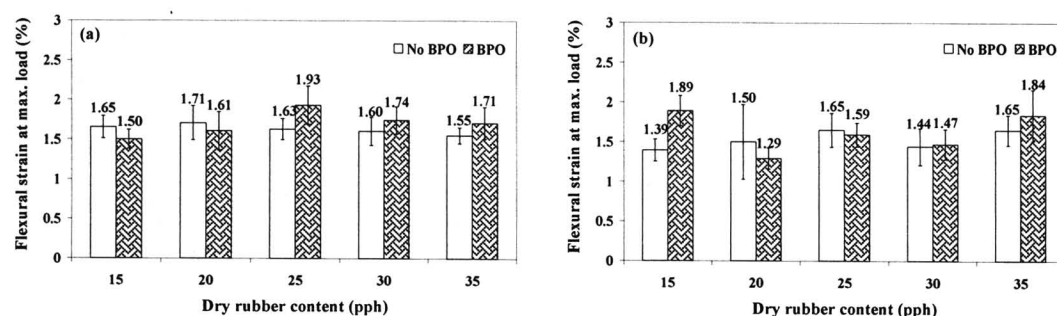
รูปที่ 4.56 กราฟแสดงการเปรียบเทียบค่ามอดูลัสของโฟมแป้งผสมยางธรรมชาติที่ไม่เติม BPO และเติม BPO ระยะเวลาในการเก็บ 7 วัน ภายใต้ความชื้นสัมพัทธ์ต่างกัน: (a) 40 %RH และ (b) 70 %RH



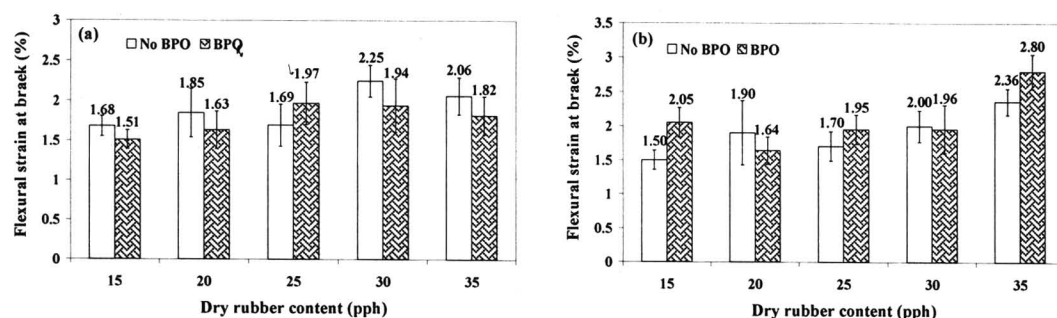
รูปที่ 4.57 กราฟแสดงการเปรียบเทียบค่าความเด่นสูงสุดของโฟมแป้งผสมยางธรรมชาติ ที่ไม่เติม BPO และเติม BPO ระยะเวลาในการเก็บ 7 วัน ภายใต้ความชื้นสัมพัทธ์ต่างกัน: (a) 40 %RH และ (b) 70 %RH

รูปที่ 4.58 แสดงการเปรียบเทียบค่า E_{max} ของโฟมที่เติมและไม่เติม BPO พิจารณาภายใต้ 40 %RH (รูปที่ 4.58a) และ 70 %RH (รูปที่ 4.58b) พนว่าค่า E_b ของโฟมที่เติมและไม่เติม BPO มีค่าใกล้เคียงกัน รูปที่ 4.59 แสดงการเปรียบเทียบค่า E_b ของโฟมที่เติมและไม่เติม BPO พิจารณาภายใต้ 40 %RH (รูปที่ 4.59a) พนว่าค่า E_b ของโฟมที่เติมและไม่เติม BPO มีค่าใกล้เคียงกัน และเมื่อพิจารณาภายใต้ 70 %RH (รูปที่ 4.59b) พนว่าค่า E_b ของโฟมที่เติมและไม่เติม BPO มีค่าใกล้เคียงกันแม้ว่าค่า E_b จะมีแนวโน้มเพิ่มขึ้นเมื่อเติมยางธรรมชาติ โฟมแป้งผสมยางธรรมชาติที่เติม BPO ทำให้ความแข็งแรงลดลงเนื่องจาก BPO ไม่สามารถละลายน้ำอาจมีผลทำให้เกิดการเชื่อมขวางในเฟล็กซ์ของยางธรรมชาติมากกว่าการเชื่อมโดยกันระหว่างแป้งมันสำปะหลังและยางธรรมชาติ ผลการทดสอบสมบัติความต้านทาน

ต่อแรงกระแทกของโพลีเมอร์ที่มีการเติม BPO ปรับปริมาณยางธรรมชาติ 15-35 pph ระยะเวลาในการเก็บ 2 วัน แสดงในตารางที่ 4.34



รูปที่ 4.58 กราฟแสดงการเปรียบเทียบค่าความเครียดสูงสุดของโพลีเมอร์ที่ไม่เติม BPO และเติม BPO ระยะเวลาในการเก็บ 7 วัน ภายใต้ความชื้นสัมพัทธ์ต่างกัน: (a) 40 %RH และ (b) 70 %RH

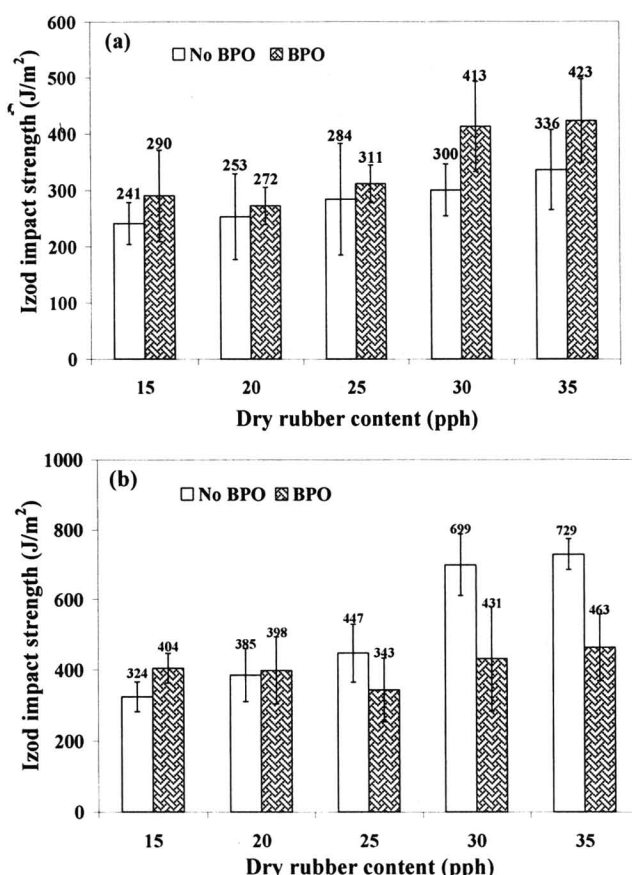


รูปที่ 4.59 กราฟแสดงการเปรียบเทียบเครียด ณ จุดขาดของโพลีเมอร์ที่ไม่เติม BPO และเติม BPO ระยะเวลาในการเก็บ 7 วัน ภายใต้ความชื้นสัมพัทธ์ต่างกัน: (a) 40 %RH และ (b) 70 %RH

ตารางที่ 4.34 ความต้านทานต่อแรงกระแทกของโพลีเมอร์ที่มีการเติม BPO ปริมาณ 0.025 pph ระยะเวลาในการเก็บ 2 วัน และ 7 วัน ภายใต้ 40 %RH และ 70 %RH

Storage time (day)	BPO content (pph)	Impact strength (J/m ²)	
		40 %RH	70 %RH
2	15	167 ± 49	221 ± 79
	20	243 ± 40	350 ± 35
	25	280 ± 50	344 ± 77
	30	365 ± 31	375 ± 44
	35	413 ± 51	434 ± 50
7	15	290 ± 81	404 ± 64
	20	272 ± 33	398 ± 52
	25	311 ± 33	343 ± 77
	30	413 ± 80	431 ± 87
	35	423 ± 74	463 ± 59

พิจารณาภายใต้ 40 %RH พบร่วมสมบัติความต้านทานต่อแรงกระแทกมีค่าเพิ่มขึ้นเมื่อปริมาณยางธรรมชาติเท่ากับ 15-35 pph โดยค่าที่ได้เพิ่มขึ้นจาก 167 J/m^2 เป็น 413 J/m^2 พิจารณาภายใต้ 70 %RH พบร่วมค่าเพิ่มขึ้นจาก 221 J/m^2 เป็น 434 J/m^2 และที่ระยะเวลาในการเก็บ 7 วัน พิจารณาภายใต้ 40 %RH พบร่วมยางธรรมชาติทำให้สมบัติความต้านทานต่อแรงกระแทกมีค่าเพิ่มขึ้น ยกเว้นที่ปริมาณยางธรรมชาติเท่ากับ 25 pph ที่ให้ค่าลดลงเล็กน้อย และค่าที่ได้อัญในช่วง $272-423 \text{ J/m}^2$ พิจารณาภายใต้ 70 %RH พบร่วมสมบัติความต้านทานต่อแรงกระแทกมีค่าเพิ่มขึ้น ยกเว้นที่ยางธรรมชาติเท่ากับ 25 pph ที่ทำให้ค่าลดลง แต่ค่าที่ได้ยังคงอยู่ในช่วงเดียวกันโดยมีค่าอยู่ในช่วง $343-463 \text{ J/m}^2$ การเพิ่มขึ้นของสมบัติความต้านทานต่อแรงกระแทก เนื่องจากยางธรรมชาติที่เติมลงไปในโพฟแมปเป้ทำหน้าที่เป็นสารเพิ่มความเหนียว (toughening agent) ให้แก่แมปเป้ เพราะยางธรรมชาติมีความยืดหยุ่นเจิงสามารถดูดซับแรงกระแทกได้มากกว่าแมปเป้ จึงทำให้สมบัติความต้านทานต่อแรงกระแทกเพิ่มขึ้นเมื่อปริมาณยางธรรมชาติเพิ่มขึ้น รูปที่ 4.60 แสดงการเปรียบเทียบสมบัติความต้านทานต่อแรงกระแทกที่เติมและไม่เติม BPO

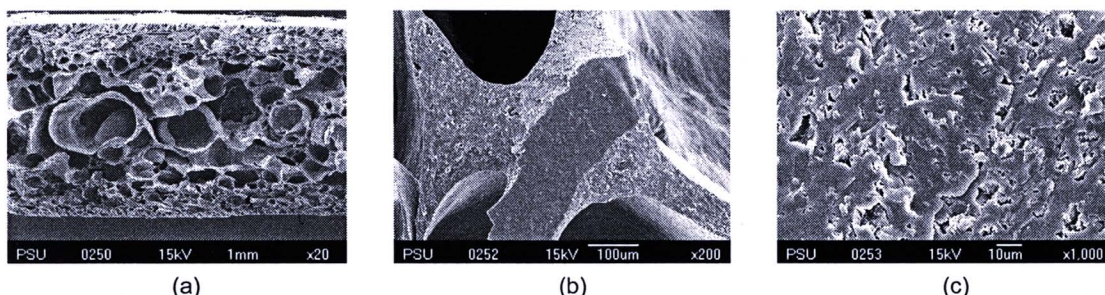


รูปที่ 4.60 กราฟแสดงการเปรียบเทียบเครียด ณ จุดขาดของโพฟแมปเป้สมบัติยางธรรมชาติที่ไม่เติม BPO และเติม BPO ระยะเวลาในการเก็บ 7 วัน ภายใต้ความชื้นสัมพัทธ์ต่างกัน: (a) 40 %RH และ (b) 70 %RH

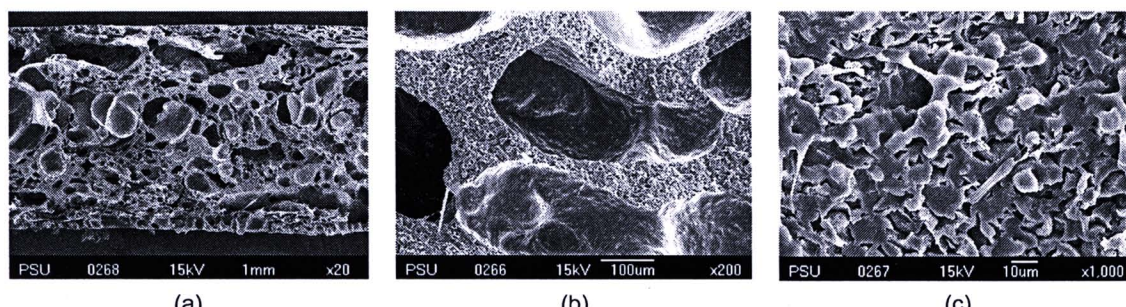
พิจารณาภายใต้ 40 %RH (รูปที่ 4.60a) พบร่วมโพฟแมปเป้ที่เติมและไม่เติม BPO ที่ปริมาณยางธรรมชาติเท่ากับ 15-25 pph มีสมบัติความต้านทานต่อแรงกระแทกใกล้เคียงกัน แต่ที่ 30-35 pph โพฟที่เติม BPO มีค่าสูงกว่าโพฟที่ไม่เติม BPO เล็กน้อย และภายใต้ 70 %RH (รูปที่ 4.60b) พบร่วมโพฟแมปเป้ที่เติมและไม่เติม BPO ที่ปริมาณยางธรรมชาติเท่ากับ 15-25 pph มีสมบัติความต้านทานต่อแรงกระแทกใกล้เคียงกัน แต่ที่ 30-35 pph โพฟที่ไม่เติม BPO มีค่าสูงกว่า

โฟมที่เติม BPO เล็กน้อย การเปลี่ยนแปลงของสมบัติความด้านทานต่อแรงกระแทกของโฟมที่เติมและไม่เติม BPO ที่ความชื้นสัมพัทธ์ต่ำทำให้โฟมแข็งไม่สามารถดูดซับความชื้นจากอากาศได้ จึงทำให้โฟมแข็งที่เติมและไม่เติม BPO มีค่าไกลเดียงกัน แต่การเก็บดัวอย่างภายใต้ความชื้นสัมพัทธ์สูงทำให้โฟมที่ไม่เติม BPO ดูดซับความชื้นจากอากาศได้มากกว่าโฟมที่เติม BPO เพราะโฟมเกิดการเชื่อมโยงกันระหว่างเย็บมันสำปะหลังและยางธรรมชาติ และยางธรรมชาติเกิดการเชื่อมขวางกันเอง จึงทำให้โฟมดูดซับความชื้นได้น้อยกว่าโฟมที่ไม่เติม BPO จึงทำให้โฟมที่เติม BPO มีค่าความด้านทานต่อแรงกระแทกต่ำกว่าโฟมที่ไม่เติม BPO

ลักษณะสัณฐานวิทยาของโฟมแป้งผสมยางธรรมชาติที่เติม BPO ดังแสดงในรูปที่ 4.61a-c และ 4.62a-c ที่มีปริมาณยางธรรมชาติเท่ากับ 15 pph และ 35 pph ตามลำดับ เมื่อพิจารณาการกระจายตัวของยางธรรมชาติ พบร่วมกับปริมาณยางธรรมชาติมากขึ้น เนื้อโฟมมีความขรุขระมากขึ้น (รูป c)



รูปที่ 4.61 ภาพถ่ายจากกล้องจุลทรรศน์อิเล็กตรอนแบบส่องรากดของโฟมแป้งผสมยางธรรมชาติที่มีการเติม 15 pph เติม BPO เท่ากับ 0.025 pph



รูปที่ 4.62 ภาพถ่ายจากกล้องจุลทรรศน์อิเล็กตรอนแบบส่องรากดของโฟมแป้งผสมยางธรรมชาติ 35 pph เติม BPO เท่ากับ 0.025 pph

4.10.5 การเปรียบเทียบการเติม PPS และ BPO ที่มีการแปรงปริมาณยางธรรมชาติ

เพื่อศึกษาอิทธิพลของสารริเริ่มปฏิกิริยาทั้งสองชนิด ทำการเปรียบเทียบระหว่างกันการเติม PPS และ BPO โดยปริมาณของยางธรรมชาติเท่ากับ 15, 20, 25, 30 และ 35 pph ปริมาณของสารริเริ่มปฏิกิริยาคงที่เท่ากับ 0.025 pph ที่ระยะเวลาในการเก็บตัวอย่าง 7 วัน ภายใต้ 40 %RH และ 70 %RH

ตารางที่ 4.35 แสดงการเปรียบเทียบค่าความหนาแน่นของโฟมแป้งผสมยางธรรมชาติ 15-35 pph ระหว่างการเติม PPS และ BPO ที่ระยะเวลาในการเก็บ 7 วัน พิจารณาภายใต้ 40 %RH และ 70 %RH พบร่วมกับปริมาณยางธรรมชาติตั้งแต่ 15-35 pph โฟมที่เติม PPS มีค่าความหนาแน่นต่ำกว่าโฟมที่เติม BPO เนื่องจาก PPS ทำให้น้ำหนักโมเลกุลของยางธรรมชาติลดลงจึงทำให้เกิดเป็นโฟมได้ง่ายกว่าการเติม BPO เพราะ BPO สามารถทำให้ยางธรรมชาติเกิดการเชื่อมขวางกันจึงทำให้ขัดขวางการเกิดเป็นโฟมของแป้ง จึงทำให้มีความหนาแน่นสูงกว่าโฟมที่เติม PPS ตาราง

ที่ 4.36 แสดงการเปรียบเทียบค่า E ของโฟมแป้งผสมยางธรรมชาติ 15-35 pph ระหว่างการเติม PPS และ BPO ที่ระยะเวลาในการเก็บ 7 วัน พิจารณาภายใต้ 40 %RH และ 70 %RH พบว่าที่ปริมาณยางธรรมชาติตั้งแต่ 15-35 pph โฟมที่เติม PPS มีค่ามอดุลัสต่ำกว่าโฟมที่เติม BPO ทุกด้วยอย่าง ตารางที่ 4.37 แสดงการเปรียบเทียบค่าค่า σ_{max} ของ โฟมแป้งผสมยางธรรมชาติ 15-35 pph ระหว่างการเติม PPS และ BPO ที่ระยะเวลาในการเก็บ 7 วัน พิจารณาภายใต้ 40 %RH และ 70 %RH พบว่าในทุกด้วยอย่างโฟมที่เติม PPS ค่าความเด่นสูงสุดน้อยกว่าโฟมที่เติม BPO การที่โฟม PPS มีความแข็งแรง (ค่า E และ σ_{max}) ลดลงเพราการลดลงของน้ำหนักโมเลกุลของยางธรรมชาติ และ BPO ทำให้ ยางธรรมชาติเกิดการซึมขยายกันส่งให้ผลโฟมมีความแข็งแรงสูงกว่าโฟมที่เติม PPS ตารางที่ 4.38 แสดงการ เปรียบเทียบค่า ϵ_{max} ของโฟมที่เติม PPS และเติม BPO ที่ระยะเวลาในการเก็บ 7 วัน พิจารณาภายใต้ 40 %RH และ 70 %RH พบว่าเมื่อยางธรรมชาติเพิ่มขึ้นมีค่า ϵ_{max} ของโฟมที่เติม PPS และ BPO มีค่าใกล้เคียงกัน แม้ว่าโฟมที่เติม PPS จะมีแนวโน้มน้อยกว่าโฟมที่เติม BPO ตารางที่ 4.39 แสดงการเปรียบเทียบค่า ϵ_0 ของโฟมที่เติม PPS และ BPO ที่ระยะเวลาในการเก็บ 7 วัน พิจารณาภายใต้ 40 %RH และ 70 %RH พบว่าเมื่อยางธรรมชาติเพิ่มขึ้นมีค่า ϵ_0 ของโฟม ที่เติม PPS และ BPO มีค่าใกล้เคียงกัน ดังนั้นสารริเริ่มปฏิกริยาหั้งสองชนิดไม่ได้ทำให้ค่าความเครียดของโฟมแป้ง ผสมยางธรรมชาติเปลี่ยนแปลง

ตารางที่ 4.35 ความหนาแน่นของโฟมแป้งผสมยางธรรมชาติที่มีการเติม PPS และ BPO ระยะเวลาในการเก็บ 7 วัน ภายใต้ 40 %RH และ 70 %RH

Dry rubber content (pph)	Density (g/cm^3)			
	40 %RH		70 %RH	
	PPS	BPO	PPS	BPO
15	0.2320 \pm 0.0096	0.3679 \pm 0.0265	0.2393 \pm 0.0132	0.3739 \pm 0.0288
20	0.3110 \pm 0.0295	0.4098 \pm 0.0293	0.3117 \pm 0.0226	0.4182 \pm 0.0369
25	0.3438 \pm 0.0289	0.4496 \pm 0.0096	0.3460 \pm 0.0434	0.4635 \pm 0.0131
30	0.3889 \pm 0.0231	0.4604 \pm 0.0132	0.3901 \pm 0.0250	0.4672 \pm 0.0161
35	0.4000 \pm 0.0185	0.4376 \pm 0.0228	0.4035 \pm 0.0231	0.4791 \pm 0.0110

ตารางที่ 4.36 ค่ามอดุลัสของโฟมแป้งผสมยางธรรมชาติที่มีการเติม PPS และ BPO ระยะเวลาในการเก็บ 7 วัน ภายใต้ 40 %RH และ 70 %RH

Dry rubber content (pph)	E (MPa)			
	40 %RH		70 %RH	
	PPS	BPO	PPS	BPO
15	230 \pm 25	360 \pm 77	164 \pm 15	294 \pm 52
20	292 \pm 30	317 \pm 22	202 \pm 22	250 \pm 30
25	270 \pm 27	293 \pm 52	205 \pm 18	241 \pm 31
30	225 \pm 31	277 \pm 51	154 \pm 22	229 \pm 35
35	180 \pm 18	257 \pm 42	175 \pm 28	204 \pm 24

ตารางที่ 4.37 ค่าความเด่นสูงสุดของฟิล์มแป้งผสมยางธรรมชาติที่มีการเติม PPS และ BPO ระยะเวลาในการเก็บ 7 วัน ภายใต้ 40 %RH และ 70 %RH

Dry rubber content (pph)	σ_{max} (MPa)			
	40 %RH		70 %RH	
	PPS	BPO	PPS	BPO
15	2.96 ± 0.38	4.34 ± 0.78	1.49 ± 0.14	4.06 ± 0.64
20	3.68 ± 0.38	4.12 ± 0.52	2.52 ± 0.33	2.41 ± 0.41
25	3.49 ± 0.40	4.06 ± 0.86	2.54 ± 0.23	2.45 ± 0.38
30	2.79 ± 0.29	3.52 ± 0.71	1.79 ± 0.23	2.23 ± 0.37
35	2.07 ± 0.26	3.25 ± 0.48	1.97 ± 0.39	2.31 ± 0.33

ตารางที่ 4.38 ค่าความเครียดสูงสุดของฟิล์มแป้งผสมยางธรรมชาติที่มีการเติม PPS และ BPO ระยะเวลาในการเก็บ 7 วัน ภายใต้ 40 %RH และ 70 %RH

Dry rubber content (pph)	ϵ_{max} (%)			
	40 %RH		70 %RH	
	PPS	BPO	PPS	BPO
15	1.85 ± 0.25	1.49 ± 0.12	1.13 ± 0.10	1.89 ± 0.19
20	1.60 ± 0.11	1.62 ± 0.23	1.94 ± 0.14	1.29 ± 0.13
25	1.66 ± 0.30	1.91 ± 0.24	1.91 ± 0.19	1.55 ± 0.17
30	1.62 ± 0.21	1.70 ± 0.19	1.81 ± 0.19	1.41 ± 0.22
35	1.83 ± 0.21	1.71 ± 0.20	1.52 ± 0.20	1.84 ± 0.32

ตารางที่ 4.39 ค่าความเครียด ณ จุดขาดของฟิล์มแป้งผสมยางธรรมชาติที่มีการเติม PPS และ BPO ระยะเวลาในการเก็บ 7 วัน ภายใต้ 40 %RH และ 70 %RH

Dry rubber content (pph)	ϵ_b (%)			
	40 %RH		70 %RH	
	PPS	BPO	PPS	BPO
15	1.91 ± 0.39	1.51 ± 0.12	1.36 ± 0.21	2.05 ± 0.22
20	1.69 ± 0.21	1.63 ± 0.24	2.29 ± 0.21	1.64 ± 0.20
25	1.80 ± 0.36	1.97 ± 0.26	2.32 ± 0.18	1.95 ± 0.21
30	1.79 ± 0.22	1.94 ± 0.33	2.92 ± 0.52	1.96 ± 0.29
35	2.66 ± 0.28	1.82 ± 0.24	2.12 ± 0.25	2.80 ± 0.25

ตารางที่ 4.40 แสดงการเปรียบเทียบค่าความต้านทานต่อแรงกระแทกของฟิล์มที่เติม PPS และ BPO ที่ระยะเวลาในการเก็บ 7 วัน พิจารณาภายใต้ 40 %RH พนว่าทุกตัวอย่างของฟิล์มที่เติม PPS จะมีสมบัติความต้านทานต่อแรงกระแทกสูงกว่าฟิล์มที่เติม BPO แม้ว่าค่าที่ได้จะใกล้เคียงกัน และพิจารณาภายใต้ 70 %RH พนว่าฟิล์มที่เติม

PPS มีสมบัติความด้านทานต่อแรงกระแทกสูงกว่าโฟมที่เติม BPO เพราะว่า PPS เป็นสารเริ่มปฏิกิริยาที่ละลายน้ำได้ จึงทำให้แทรกตัวเข้าไปในโมเลกุลของแป้งได้มากกว่า BPO จึงทำให้เกิดการเชื่อมโยงกันระหว่างโมเลกุลของแป้งและยางธรรมชาติมากกว่า BPO

ตารางที่ 4.40 สมบัติความด้านทานต่อแรงกระแทกของโฟมแป้งผสมยางธรรมชาติที่มีการเติม PPS และ BPO ระยะเวลาในการเก็บ 7 วัน ภายใต้ 40 %RH และ 70 %RH

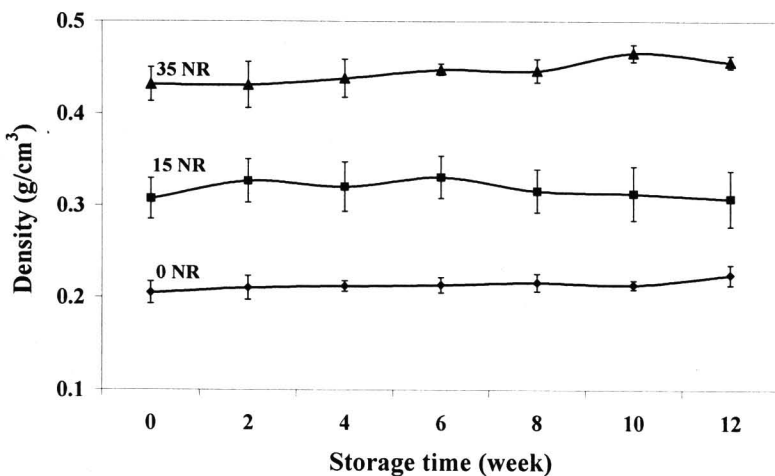
Dry rubber content (pph)	Impact strength (J/m^2)			
	40 %RH		70 %RH	
	PPS	BPO	PPS	BPO
15	254 ± 49	290 ± 81	374 ± 95	404 ± 64
20	299 ± 79	272 ± 33	494 ± 90	398 ± 52
25	375 ± 98	311 ± 33	701 ± 148	343 ± 77
30	549 ± 103	413 ± 80	745 ± 94	431 ± 87
35	502 ± 54	423 ± 74	850 ± 107	463 ± 59

4.11 อิทธิพลของการเก็บโฟมแป้งผสมยางธรรมชาติ

ศึกษาอิทธิพลของการเก็บโฟมแป้งผสมยางธรรมชาติ 0, 15 และ 35 pph ต่อความหนาแน่นและสมบัติเชิงกล ที่ทำการเก็บเป็นระยะเวลา 12 สัปดาห์ ภายใต้ 70 %RH ทดสอบสมบัติดังกล่าวทุกสองสัปดาห์ เนื่องจาก การนำตัวอย่างไปใช้งานจริงไม่สามารถควบคุมความชื้นสัมพัทธิ์ในขณะใช้งานได้ ดังนั้นจึงทำการทดลองซุญน้ำเพื่อ ต้องการทดสอบสมบัติต่างๆ ที่มีการเปลี่ยนแปลงไปเมื่อระยะเวลาในการเก็บเพิ่มขึ้น ผลการทดสอบการเก็บโฟมแป้ง ผสมยางธรรมชาติ 0-35 pph เป็นระยะเวลา 12 สัปดาห์ แสดงในตารางที่ 4.41 และรูปที่ 4.63

ตารางที่ 4.41 ความหนาแน่นของโฟมแป้งผสมยางธรรมชาติ แปรปรวนยางธรรมชาติระหว่าง 0-35 pph เก็บ ภายใต้ 70 %RH เป็นระยะเวลา 12 สัปดาห์

Storage time (สัปดาห์)	Density (g/cm^3)		
	Dry rubber content (pph)		
	0	15	35
0	0.2047 ± 0.0120	0.3072 ± 0.0224	0.4315 ± 0.0184
2	0.2099 ± 0.0130	0.3264 ± 0.0236	0.4308 ± 0.0249
4	0.2117 ± 0.0057	0.3203 ± 0.0270	0.4379 ± 0.0206
6	0.2130 ± 0.0085	0.3306 ± 0.0231	0.4473 ± 0.0062
8	0.2156 ± 0.0095	0.3157 ± 0.0235	0.4461 ± 0.0127
10	0.2131 ± 0.0049	0.3129 ± 0.0293	0.4656 ± 0.0093
12	0.2239 ± 0.0111	0.3074 ± 0.0304	0.4558 ± 0.0068



รูปที่ 4.63 ความหนาแน่นของฟอยล์พลาสติกธรรมชาติ แบบปูนยางธรรมชาติ ปริมาณยางธรรมชาติระหว่าง 0-35 pph เก็บภายใต้ 70 %RH เป็นระยะเวลา 12 สัปดาห์

พบว่าความหนาแน่นมีแนวโน้มเพิ่มขึ้นเล็กน้อยเมื่อเวลาในการเก็บนานขึ้นและเกิดขึ้นกับทุกตัวอย่าง การเพิ่มขึ้นของความหนาแน่นมีผลเนื่องมาจากแป้งเป็นโพลิเมอร์ที่มีความชื้นต่ำ สามารถดูดซับความชื้นได้ เพราะไม่เลกุงของแป้งประกอบไปด้วยหมู่ไฮดรอกซิลเป็นจำนวน 4 หมู่ ภายในหน่วยกลุ่มไฮดรอกซิลเชื่อมต่อ กันด้วยพันธะกลุ่มไฮดรอกซิล ซึ่งกลีเซอรอลมีหมู่ไฮดรอกซิลอยู่จำนวน 3 หมู่ ซึ่งหมู่ไฮดรอกซิลดังกล่าวมีความสามารถในการดูดซับความชื้นในอากาศได้สูง (Danjaji et al., 2001) ดังนั้นมีระยะเวลาในการเก็บนานขึ้น จึงทำให้ความหนาแน่นของฟอยล์เพิ่มขึ้น การ

ตารางที่ 4.42 แสดงเบอร์เช็นต์การเปลี่ยนแปลงความหนาแน่นของฟอยล์พลาสติกธรรมชาติที่ทำการเก็บเป็นเวลา 12 สัปดาห์ ภายใต้ 70 %RH คำนวนโดยใช้สมการที่ 4.1

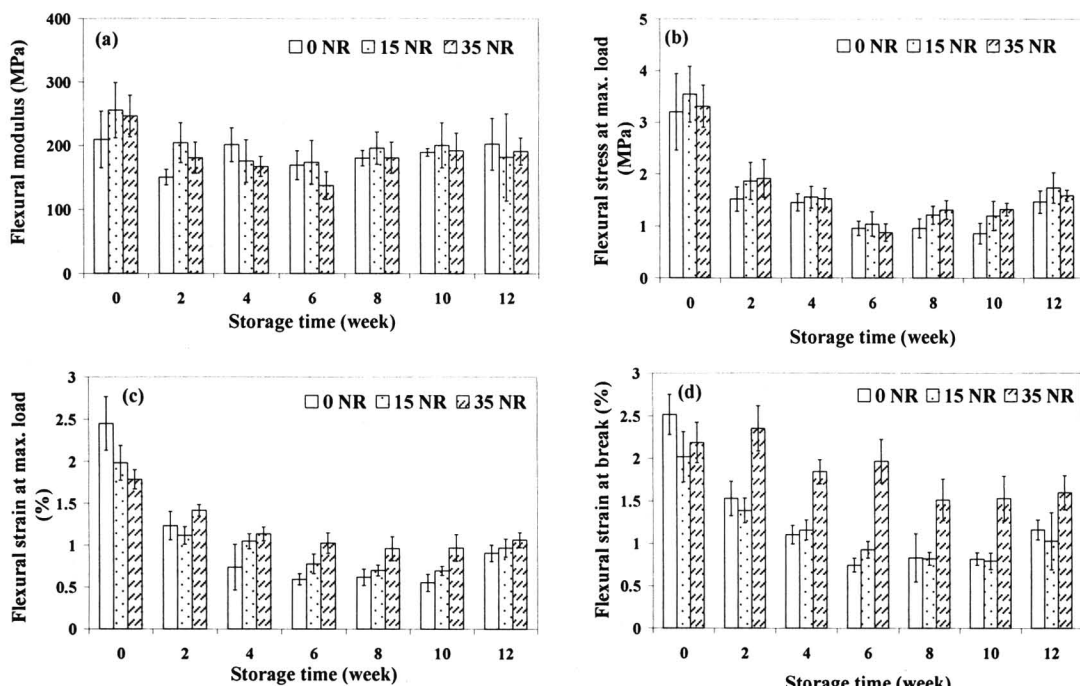
$$\text{Change in properties (\%)} = \frac{D_0 - D}{D_0} \quad (4.1)$$

โดยที่ D_0 คือ ระยะเวลาในการเก็บตัวอย่างเท่ากับ 0 สัปดาห์ และ D คือ ระยะเวลาในการเก็บตัวอย่างที่เวลาต่างๆ

ตารางที่ 4.42 เบอร์เช็นต์การเปลี่ยนแปลงความหนาแน่นของฟอยล์พลาสติกธรรมชาติ แบบปูนยางธรรมชาติ 0-35 pph เก็บเป็นระยะเวลา 12 สัปดาห์ ภายใต้ 70 %RH

Storage time (week)	Change in properties (%)		
	Dry rubber content (pph)		
	0	15	35
2	-3	-6	0
4	-3	-6	-1
6	-4	-8	-4
8	-5	-3	-3
10	-4	-2	-8
12	-9	0	-6

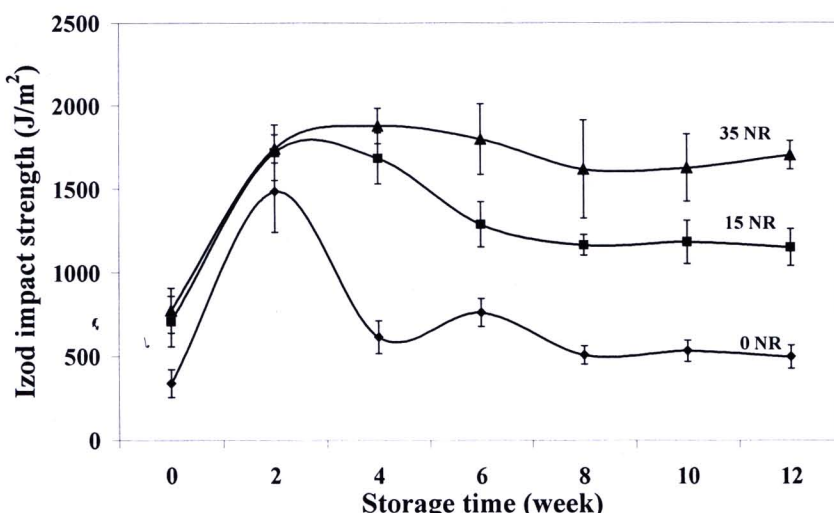
รูปที่ 4.64 แสดงผลการทดสอบสมบัติความทนต่อแรงดัดโค้งของโพฟมแป้งผสมยางธรรมชาติ 0-35 pph เก็บเป็นเวลา 12 สัปดาห์ ภายใต้ 70 %RH พบรวมค่า E (รูปที่ 4.64a) ในสัปดาห์แรกโพฟมแป้งทุกตัวอย่างมีค่าสูงสุด และที่ปริมาณยางธรรมชาติต่างกันมีค่าใกล้เคียงกัน เมื่อระยะเวลาในการเก็บเพิ่มขึ้นเป็น 12 สัปดาห์ ทำให้ค่า E ของทุกตัวอย่างลดลง รูปที่ 4.64b แสดงค่า σ_{max} พบรวมค่า σ_{max} ที่ไม่เดิมยางธรรมชาติมีค่าสูงกว่าทุกตัวอย่าง แต่มีระยะเวลาผ่านไปในสัปดาห์ที่ 4 ทำให้โพฟมแป้งผสมยางธรรมชาติ 35 pph มีค่าสูงกว่าตัวอย่างที่มียางธรรมชาติ 0-15 pph แต่ค่าที่ได้ยังคงใกล้เคียงกัน และโพฟมแป้งผสมยางธรรมชาติ 35 pph มีค่า ϵ_{max} ลดลงน้อยกว่าที่สัดส่วนอื่นๆ เนื่องจากแป้งดูดซับความชื้นจากอากาศทำให้ความแข็งแรงลดลง เพราะน้ำจะทำหน้าที่เป็นพลาสติไซเซอร์ให้แป้ง ส่วนค่า ϵ_b แสดงในรูปที่ 4.64d พบรวมในสัปดาห์แรกโพฟมแป้งผสมยางธรรมชาติทุกตัวอย่างมีค่าใกล้เคียงกัน แต่จะสังเกตได้ว่าเมื่อระยะเวลาในการเก็บนานเท่ากับ 2 สัปดาห์ โพฟมแป้งผสมยางธรรมชาติ 35 pph จะมีค่าสูงสุด เมื่อเปรียบเทียบโพฟมแป้งผสมยางธรรมชาติ 0 และ 15 pph การที่โพฟมแป้งผสมยางธรรมชาติ 35 pph มีค่า ϵ_b สูงกว่าตัวอย่างอื่นๆ เพราะว่ายางธรรมชาติที่อยู่ในแป้งจะทำให้แป้งดูดซับความชื้นได้น้อยลง และยางธรรมชาติน้ำที่เป็นสารเพิ่มความแข็งแรงและช่วยทำให้แป้งมีความยืดหยุ่นได้มากขึ้นดังนั้นระยะเวลาในการเก็บตัวอย่างเป็นเวลา 12 สัปดาห์ทำให้สมบัติความทนต่อแรงดัดโค้ง (ค่า E, σ_{max} , ϵ_{max} และ ϵ_b) ของโพฟมแป้งผสมยางธรรมชาติลดลง



รูปที่ 4.64 กราฟแสดงการเปรียบเทียบความต้านทานต่อแรงกระแทกของโพฟมแป้งผสมยางธรรมชาติ เก็บภายใต้ 70 %RH เป็นระยะเวลา 12 สัปดาห์ โดยที่ (a) E, (b) σ_{max} , (c) ϵ_{max} และ (d) ϵ_b

รูปที่ 4.65 แสดงสมบัติความต้านทานต่อแรงกระแทกของโพฟมแป้งผสมยางธรรมชาติที่ระยะเวลา 0-12 สัปดาห์ พบรวมโพฟมแป้งผสมยางธรรมชาติทุกตัวอย่างมีค่าสูงสุดเมื่อระยะเวลาในการเก็บเท่ากับ 2 สัปดาห์ แต่หลังจากสัปดาห์ที่ 2 โพฟมแป้งผสมยางธรรมชาติ 15-35 pph จะมีแนวโน้มคงที่เมื่อระยะเวลาในการเก็บนานขึ้น ส่วนโพฟมแป้งที่

ไม่เดิมยางธรรมชาติจะมีค่าต่ำกว่าโพมแป้งผสมยางธรรมชาติ 15-35 pph และมีค่าลดลงเมื่อเวลาในการเก็บนานขึ้น การเปลี่ยนแปลงที่เกิดขึ้นดังกล่าว เป็นเพราะความแข็งแรงของโพมแป้งผสมยางธรรมชาติขึ้นอยู่กับแป้งมากกว่าส่วนที่เป็นยาง เพราะแป้งดูดซับความชื้นไว้ภายในโมเลกุล ดังนั้นน้ำจึงทำหน้าที่เป็นพลาสติไซเซอร์โดยจะเข้าไปแทรกในโมเลกุลของแป้ง ทำให้แรงที่ยึดเกาะกันระหว่างโมเลกุลอ่อนตัวลง (กล้านรงค์ และเกี้ยวกุล, 2546) จึงทำให้แป้งมีความแข็งแรงลดลง ตารางที่ 4.43 แสดงค่าการเปลี่ยนแปลงสมบัติความด้านทานทันต่อแรงกระแทกของโพมแป้งผสมยางธรรมชาติที่ทำการเก็บเป็นระยะเวลา 12 สัปดาห์ ภายใต้ 70 %RH



รูปที่ 4.65 สมบัติความด้านทานทันต่อแรงกระแทกของโพมแป้งผสมยางธรรมชาติ เก็บเป็นระยะเวลา 12 สัปดาห์ เก็บภายใต้ 70 %RH

ตารางที่ 4.43 เบอร์เซ็นต์การเปลี่ยนแปลงสมบัติความด้านทานทันต่อแรงกระแทกของโพมแป้งผสมยางธรรมชาติ เก็บเป็นระยะเวลา 12 สัปดาห์ เก็บภายใต้ 70 %RH

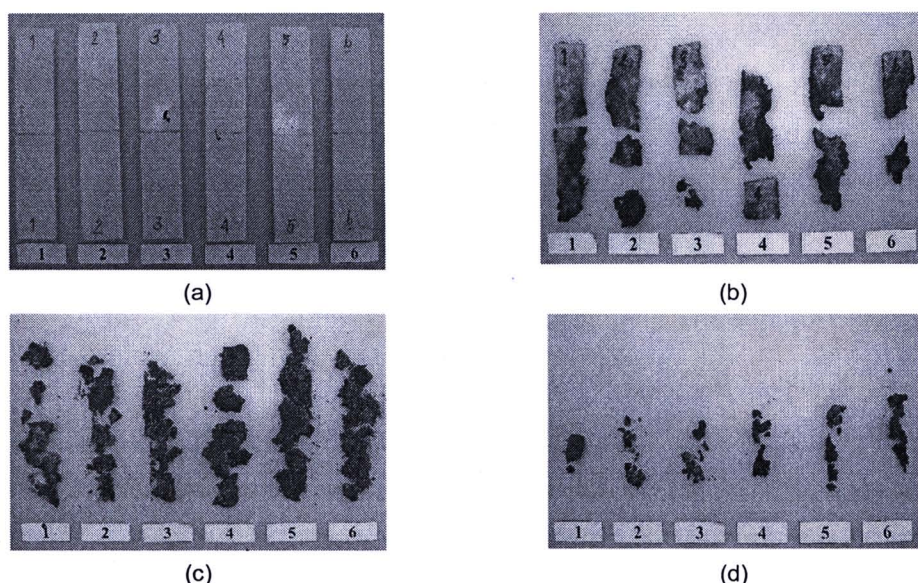
Storage time (week)	Change in properties (%)		
	Dry rubber content (pph)		
	0	15	35
2	-339	-143	-125
4	-82	-138	-143
6	-51	-82	-133
8	-51	-64	-109
10	-58	-67	-110
12	-48	-63	-120

4.12 ผลการทดสอบความสามารถในการย่อยสลาย

ศึกษาอิทธิพลของปริมาณยางธรรมชาติ และสารวิเริ่มปฏิกิริยาที่มีต่อการย่อยสลายทางชีวภาพโดยการผั้งดิน ใช้โพมแป้งผสมยางธรรมชาติ 0, 15 และ 35 pph และโพมแป้งผสมยางธรรมชาติ 15 pph ที่มี PPS เท่ากับ 0.025 pph โดยทั่วไปนิยมทำการวัดน้ำหนักที่เปลี่ยนไป (weight loss measurement) หลังการทดสอบผั้งดินที่ระยะเวลาต่างๆ

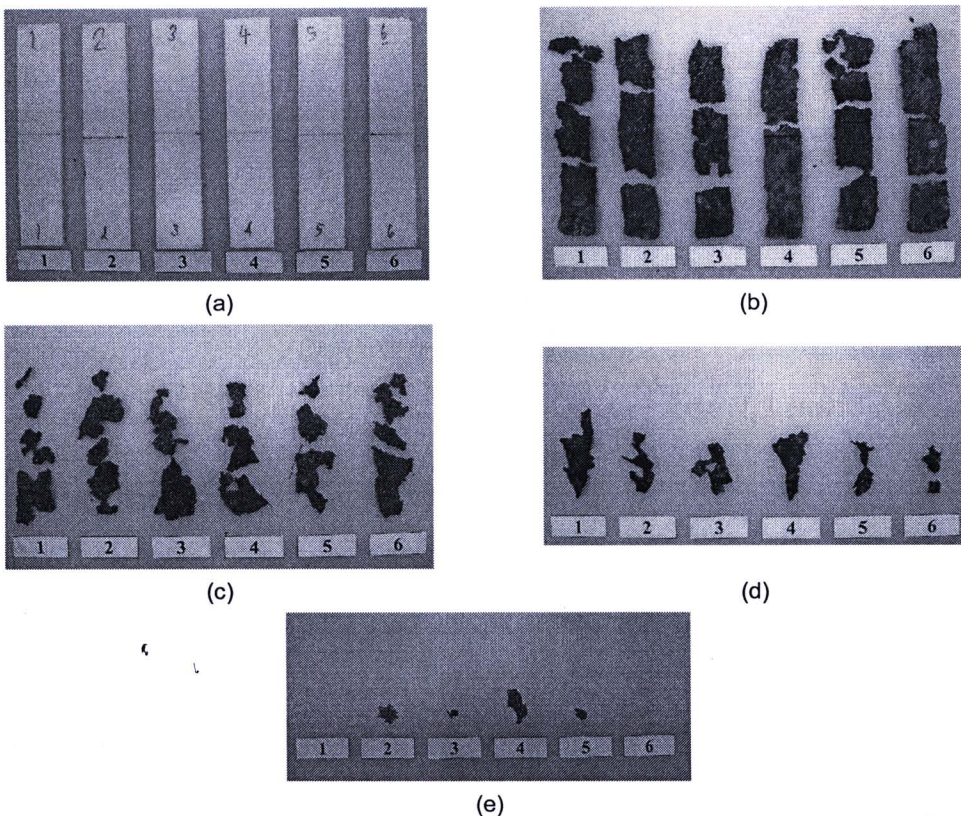
เพรารักษ์นตอนของการย่อยสลายทางชีวภาพด้วยจุลินทรีย์ จะทำให้วัสดุเกิดการเปลี่ยนแปลงทางเคมีหรือทางกายภาพ ทำให้พอลิเมอร์เกิดการสูญเสียหนักหรือเกิดการเปลี่ยนแปลงเป็นแร่ธาตุ (ธนาวดี, 2549) การเปลี่ยนแปลงลักษณะทางกายภาพดังกล่าว เป็นวิธีการตรวจสอบทางอ้อมที่ทำให้ทราบถึงระดับการถูกย่อยสลายของพอลิเมอร์ชนิดนั้นๆ แต่การทดลองในโครงการวิจัยนี้ไม่สามารถหาหนักของโฟมหลังผ่านดินได้ เพราะการจำจัดดินที่เก็บบนชั้นทดสอบออกให้สมบูรณ์นั้นไม่สามารถทำได้โดยการใช้แปรงขัด จำเป็นจะต้องใช้น้ำล้างออก ซึ่งการใช้น้ำจะทำให้แบ่งบางส่วนหลุดออกไปขณะทำการล้าง เนื่องจากแบ่งไว้ต่อหน้าเป็นอย่างมาก ดังนั้นจึงทำการวัดการเปลี่ยนแปลงด้วยการสังเกตลักษณะการเปลี่ยนทางกายภาพและปริมาณชั้นทดสอบที่เหลืออยู่

รูปที่ 4.66 แสดงลักษณะการเปลี่ยนแปลงของโฟมแบ่งที่ไม่สมยังธรรมชาติ ที่ผ่านดินเป็นเวลา 0-6 สัปดาห์ พน ว่าโฟมแบ่งมีการเปลี่ยนแปลงมากขึ้นเมื่อเวลาในการผ่านดินนานขึ้น เมื่อทำการผ่านดินต่อไปถึงสัปดาห์ที่ 8 ไม่สามารถหาชั้นทดสอบได้แสดงว่าชั้นทดสอบได้ถูกย่อยสลายจนมีขนาดเล็กมากๆ



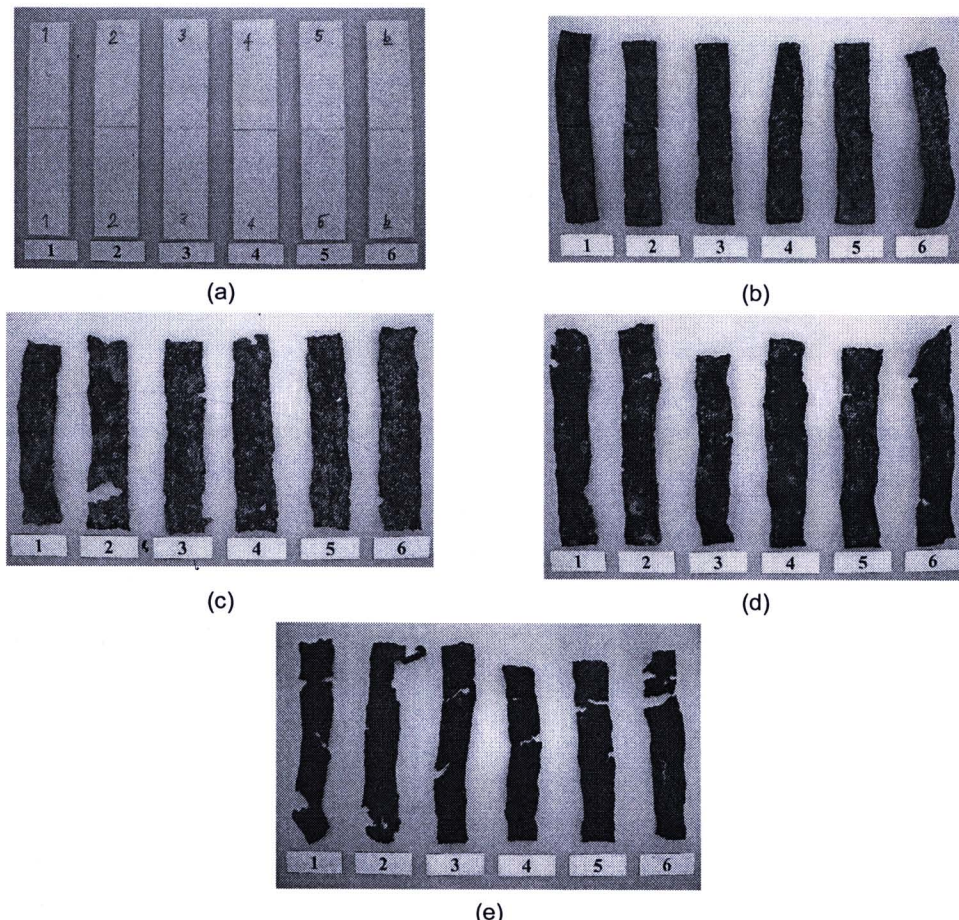
รูปที่ 4.66 ภาพถ่ายของโฟมแบ่ง หลังผ่านดินเป็นระยะเวลา (a) 0 สัปดาห์, (b) 2 สัปดาห์, (c) 4 สัปดาห์ และ (d) 6 สัปดาห์

รูปที่ 4.67 และ รูปที่ 4.68 แสดงผลการทดสอบการย่อยสลายของโฟมแบ่งสมยังธรรมชาติปริมาณ 15 pph และ 35 pph ตามลำดับ โดยผ่านดินเป็นระยะเวลาตั้งแต่ 0-16 สัปดาห์ ตัวอย่างชุดนี้ไม่มีการผสม PPS จะเห็นได้ว่า ปริมาณยังธรรมชาติที่แตกต่างกันทำให้การย่อยสลายเกิดขึ้นได้ไม่เท่ากัน ปริมาณยังธรรมชาติเพิ่มขึ้นการย่อยสลายเกิดได้ยากขึ้น ชั้นทดสอบมีการขาดออกจากกัน มีขนาดเล็กลง และผิวน้ำของชั้นทดสอบมีความเสียหายเกิดขึ้น เมื่อระยะเวลาในการทดสอบนานขึ้น ซึ่งลักษณะการเปลี่ยนแปลงเกิดขึ้นโดยกระบวนการของจุลินทรีย์ที่มีในธรรมชาติ (Shah et al., 2008) โฟมแบ่งสมยังธรรมชาติ 15 pph มีขนาดตัวอย่างเหลือน้อยมากหรือหายไปในสัปดาห์ที่ 16 ในขณะที่โฟมแบ่งสมยังธรรมชาติปริมาณ 35 pph มีการเปลี่ยนแปลงไม่มากนักในช่วงเวลา 16 สัปดาห์ รูปที่ 4.69 แสดงผิวน้ำของชั้นทดสอบของโฟมแบ่งสมยังธรรมชาติ 35 pph ที่มีระยะเวลาในการทดสอบเท่ากับ 12 และ 16 สัปดาห์ตามลำดับ



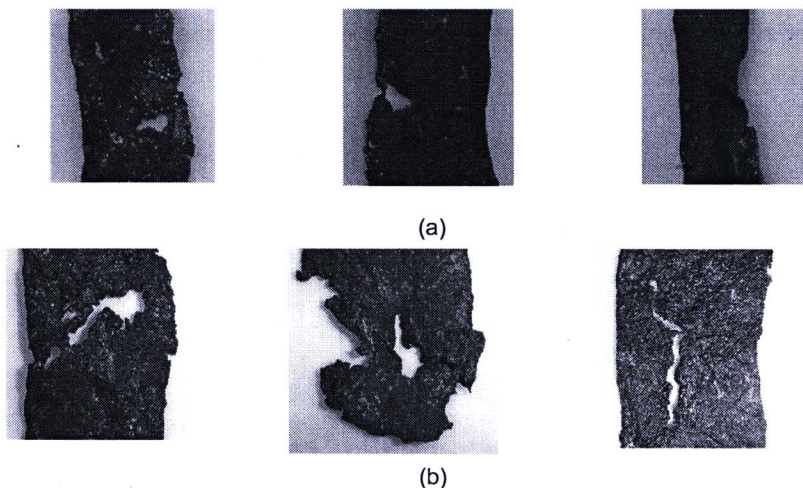
รูปที่ 4.67 ภาพถ่ายของโฟมแป้งผสมยางธรรมชาติ 15 rph หลังผังดินเป็นระยะเวลา (a) 0 สัปดาห์, (b) 4 สัปดาห์, (c) 8 สัปดาห์, (d) 12 สัปดาห์ และ (e) 16 สัปดาห์

การย่อยสลายทางชีวภาพของแป้งเกิดขึ้นได้ เนื่องจากในธรรมชาติแป้งเป็นอาหารที่ดีของจุลินทรีย์ และ โครงสร้างไม่ сложของแป้งมีความเหมาะสมต่อการย่อยสลายโดยเอ็นไซม์ของจุลินทรีย์ที่มีอยู่ในธรรมชาติ หากแป้งมี โครงสร้างเป็นกึงก้านจะช่วยทำให้การย่อยสลายเกิดได้เร็วขึ้น (ธนาวดี, 2549) เพราะการย่อยสลายจะเกิดขึ้นกับส่วนที่ เป็นอสังฐานก่อนส่วนที่เป็นเหล็ก (Ikada, 1999) จุลินทรีย์ในธรรมชาติมีอยู่ทั่วไป และมีความหลากหลายขึ้นอยู่กับ สภาพแวดล้อม เช่น ความชื้น น้ำ และสารอาหาร จุลินทรีย์แต่ละชนิดสามารถสังเคราะห์เอนไซม์ที่มีความจำเพาะ และ เหมาะสมต่อการย่อยสลายของพอลิเมอร์แต่ละชนิด การเจริญเติบโตได้ดีของจุลินทรีย์จะทำให้การย่อยสลายเกิดได้ รวดเร็วขึ้น (Senner *et al.*, 2007) พอลิเมอร์แต่ละชนิดมีลักษณะโครงสร้างที่แตกต่างกัน ดังนั้นจำเป็นต้องใช้เอนไซม์ ในการย่อยสลายที่แตกต่างกัน ซึ่งจุลินทรีย์แต่ละชนิดสังเคราะห์เอนไซม์ได้ไม่เหมือนกัน กระบวนการย่อยสลายได้ทาง ชีวภาพของพอลิเมอร์จึงไม่ได้อาศัยการทำงานของจุลินทรีย์เพียงชนิดเดียว พอลิเมอร์บางชนิดจำเป็นต้องใช้จุลินทรีย์ หลายตัวในการทำให้เกิดการย่อยสลาย โดยส่วนใหญ่จะใช้วิธีการทดสอบเคลียร์โซน เพื่อต้องการทราบชนิดของจุลิน ทรีย์ที่สามารถย่อยสลายพอลิเมอร์ชนิดนั้นๆ ได้ (Shah *et al.*, 2008) สำหรับพอลิเมอร์ในธรรมชาติ เช่น พอลิแซคคา ไรด์ และโปรตีนสามารถย่อยสลายทางชีวภาพได้ง่าย เนื่องจากจุลินทรีย์ในธรรมชาติเป็นจำนวนมากสามารถสังเคราะห์ เอนไซม์ที่ย่อยสลายพอลิเมอร์เหล่านี้ได้ (ธนาวดี, 2549) การย่อยสลายทางชีวภาพของแป้งมันสำปะหลังและยาง ธรรมชาติน่าจะแตกต่างกัน เนื่องจากโครงสร้างทางเคมีและองค์ประกอบอื่นๆ ต่างกัน การวิเคราะห์กลไกการย่อยสลาย ทางชีวภาพและการตรวจหาเอนไซม์หรือจุลินทรีย์ที่ย่อยสลายแป้งและยางธรรมชาติ ไม่ได้อยู่ในขอบข่ายของการวิจัยนี้ กระบวนการย่อยสลายทางชีวภาพของแป้งมันสำปะหลังเป็นที่เผยแพร่กันแล้ว ส่วนการย่อยสลายทางชีวภาพของยาง ธรรมชาติอาจมีข้อมูลไม่มากนัก ซึ่งโครงการวิจัยนี้ได้ขยายผลการทดลอง โดยส่งตัวอย่างโฟมแป้งที่ผสมยางธรรมชาติ เหล่านี้ให้กับนักวิจัยสาขาจุลชีววิทยา เพื่อศึกษาการย่อยสลายโดยการฟังดิน

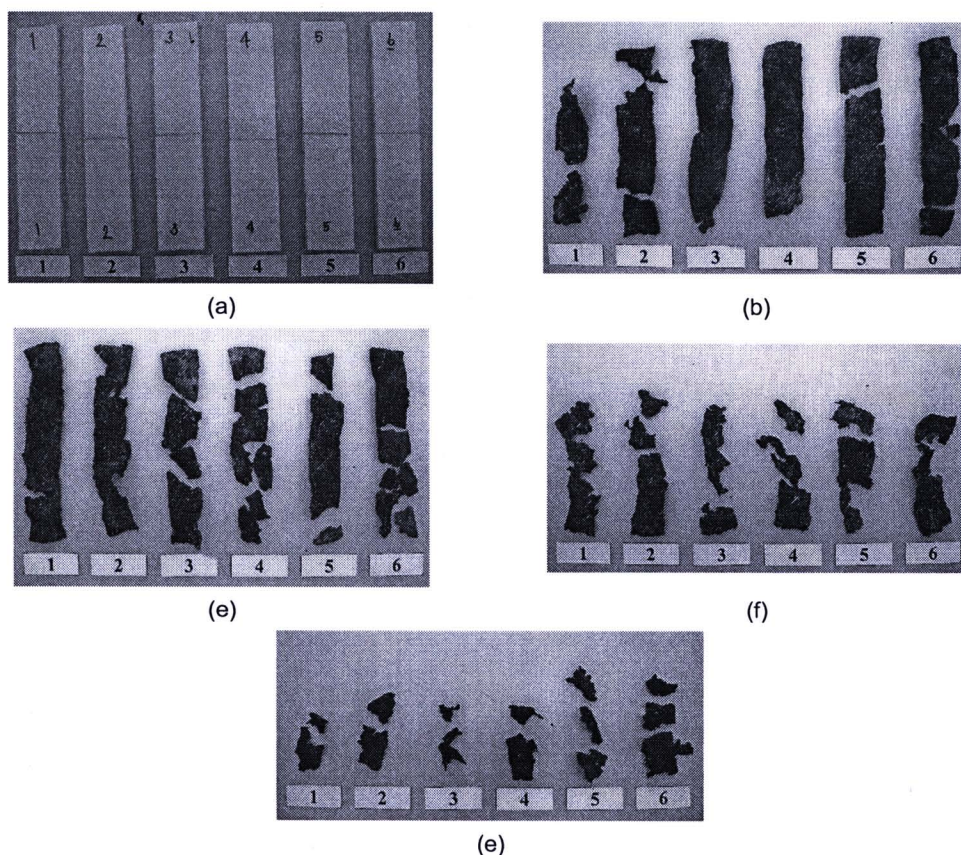


รูปที่ 4.68 ภาพถ่ายของโพฟเมปงผสมยางธรรมชาติ 35 pph หลังผังดินเป็นระยะเวลา (a) 0 สัปดาห์, (b) 4 สัปดาห์, (c) 8 สัปดาห์, (d) 12 สัปดาห์ และ (e) 16 สัปดาห์

รูปที่ 4.70 แสดงผลการทดสอบการย่อยสลายทางชีวภาพด้วยการผังดินของโพฟเมปงผสมยางธรรมชาติ 15 pph ที่มีการเติม PPS ที่ระยะเวลา 0-16 สัปดาห์ ตามลำดับ พบว่าชั้นทดสอบมีการย่อยสลายเพิ่มขึ้นเมื่อระยะเวลาในการทดสอบนานขึ้น เกิดการขาดออกจากการกัดของชั้นทดสอบและการเปลี่ยนแปลงที่ผิวน้ำ เมื่อพิจารณาเปรียบเทียบระหว่างโพฟที่เติมและไม่เติม PPS พบว่าโพฟที่เติม PPS มีการเปลี่ยนแปลงน้อยกว่าโพฟที่ไม่เติม PPS ซึ่งผลจากการย่อยสลายสามารถยืนยันว่ามีการเชื่อมโยงกันระหว่างโมเลกุลของเมปงมันสำปะหลังและยางธรรมชาติเกิดขึ้น การเชื่อมโยงดังกล่าวจะทำให้ช่องว่างระหว่างเฟสของเมปงมันสำปะหลังและยางธรรมชาติลดลง ทำให้น้ำเข้าไปแทรกในช่องว่างระหว่างเฟสและในโมเลกุลของเมปงได้ยากขึ้น เมื่อน้ำไม่สามารถเข้าไปแทรกในโมเลกุลของเมปงมันสำปะหลังได้ทำให้ความสามารถในการย่อยสลายลดลง เพราะน้ำมีความสำคัญต่อการเจริญเติบโตและการดำรงชีวิตของจุลทรรศ์ นอกจากน้ำแล้วความชื้นเป็นปัจจัยสำคัญที่ช่วยให้เกิดการย่อยสลายด้วยปฏิกิริยาไฮโดรไลซิส ซึ่งนำไปสู่กระบวนการย่อยสลายทางชีวภาพ เพราะน้ำช่วยละลายสารประกอบแร่ธาตุซึ่งให้เป็นอาหาร เป็นที่อยู่อาศัย และยังช่วยในการเคลื่อนที่ของจุลทรรศ์ หากบริเวณที่จุลทรรศ์อาศัยอยู่มีน้ำในปริมาณน้อยจะส่งผลให้การเจริญเติบโตและการขยายพันธุ์ของจุลทรรศ์ลดลง จึงทำให้ประสิทธิภาพของการย่อยสลายลดลง



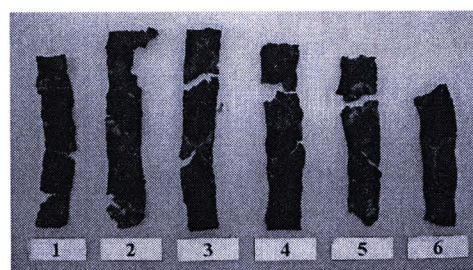
รูปที่ 4.69 ภาพถ่ายขยายพิวหน้าของฟ้มแปงผਸຍາງຮຣມชาດີ 35 pph ທັງຝັ້ນເປັນຮະຍະເວລາ (a) 12 ສັປດາຫຼື
ແລະ (b) 16 ສັປດາຫຼື



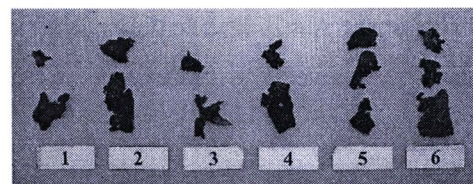
รูปที่ 4.70 ภาพถ่ายຂອງຟມແປງຜສຍາງຮຣມชาດີ 15 pph ທີ່ມີ PPS ເທົກນ 0.025 pph ທັງຝັ້ນເປັນຮະຍະເວລາ
(a) 0 ສັປດາຫຼື, (b) 4 ສັປດາຫຼື, (c) 8 ສັປດາຫຼື, (d) 12 ສັປດາຫຼື ແລະ (e) 16 ສັປດາຫຼື

ໄດ້ຈຳເນີນການທດລອງຝັ້ນຕ້ວຍຢ່າງຟມທີ່ຜສຍາງຮຣມชาດີ 30 pph ແລະ ໂຟມທີ່ມີ PPS ຕ້ອໄປອົກຈນເຖິງສັປດາຫຼື 20 ພບວ່າປຣມຍາງຮຣມชาດີ 30 pph ຍັງກໍາໄຫ້ຫັ້ນຕ້ວຍຢ່າງຄງຽປ່າງເດີມອູ້ໆ ແຕ່ມີການຈຶກຂາດມາກື້ນ ດັ່ງແສດງໃນຮູບທີ່ 4.71 ແຕ່ໄດ້ຍ້ວ່າໄປ ຮະຍະເວລາໃນກາຍ່ອຍສລາຍທາງໜົວກາພຂອງພອລິເມອຣ໌ທີ່ຈັດອູ້ໆໃນກຸລຸ່ມຍ່ອຍສລາຍໄດ້ທາງໜົວກາພນັ້ນ ຈະ

ใช้เวลาการทดสอบนานกว่า 6 เดือน (24 สัปดาห์) และการย่อยสลายอย่างสมบูรณ์อาจเกิดขึ้นภายใน 1 ปี ส่วนฟومที่มีการเติม PPS นั้น การย่อยสลายทางชีวภาพเกิดมากขึ้นเมื่อผังดินต่อไปจนถึงสัปดาห์ที่ 20 (รูปที่ 4.72)



รูปที่ 4.71 ภาพถ่ายหลังการผังดินเป็นเวลา 20 สัปดาห์ของฟومแป้งผสมยางธรรมชาติ 30 pph



รูปที่ 4.72 ภาพถ่ายหลังการผังดินเป็นเวลา 20 สัปดาห์ของฟومแป้งผสมยางธรรมชาติ 15 pph และ PPS 0.025 pph